

# **SKRIPSI**

**APLIKASI PENGIRIM DATA WEB ONLINE  
PENGUKUR KADAR POLUSI DI JALAN RAYA  
MENGGUNAKAN MIKROKONTROLLER  
AT89S52 DAN SMS GATE WAY**



**Disusun Oleh :**

**NANANG SETIYA BUDI**

**NIM: 05. 12. 219**

**MALANG**

**JURUSAN TEKNIK ELEKTRO S-1  
KONSENTRASI TEKNIK ELEKTRONIKA  
FAKULTAS TEKNOLOGI INDUSTRI  
INSTITUT TEKNOLOGI NASIONAL MALANG  
MARET 2010**

ଶ୍ରୀ କମଳାଚାର୍ଯ୍ୟ

ପ୍ରଦୀପ ପାତ୍ର ପାତ୍ର ପାତ୍ର ପାତ୍ର  
ପାତ୍ର ପାତ୍ର ପାତ୍ର ପାତ୍ର ପାତ୍ର ପାତ୍ର

ପାତ୍ର ପାତ୍ର ପାତ୍ର ପାତ୍ର ପାତ୍ର ପାତ୍ର

ପାତ୍ର ପାତ୍ର ପାତ୍ର ପାତ୍ର ପାତ୍ର

ପାତ୍ର ପାତ୍ର ପାତ୍ର ପାତ୍ର

ପାତ୍ର ପାତ୍ର ପାତ୍ର ପାତ୍ର

ପାତ୍ର ପାତ୍ର ପାତ୍ର ପାତ୍ର

ପାତ୍ର ପାତ୍ର ପାତ୍ର ପାତ୍ର

ପାତ୍ର ପାତ୍ର ପାତ୍ର

## LEMBAR PERSETUJUAN

### APLIKASI PENGIRIM DATA WEB ONLINE PENGUKUR KADAR POLUSI DIJALAN RAYA MENGGUNAKAN MIKROKONTROLLER AT89S52 DAN SMS GATE WAY

## SKRIPSI

*Disusun dan diajukan sebagai salah satu syarat untuk memperoleh gelar  
Sarjana Teknik Elektronika Strata Satu (S-1)*

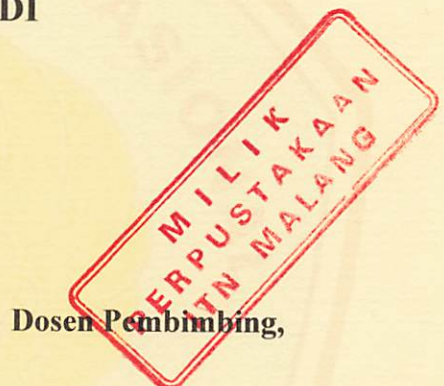
Disusun Oleh :

**NANANG SETIYA BUDI**

**05.12.219**

Diperiksa dan disetujui :

Mengetahui :



Dosen Pembimbing,

(Joseph Dedy Irawan, ST. MT.)

NIP. 132315178

JURUSAN TEKNIK ELEKTRO S-1  
KONSENTRASI TEKNIK ELEKTRONIKA  
FAKULTAS TEKNOLOGI INDUSTRI  
INSTITUT TEKNOLOGI NASIONAL MALANG  
MARET 2010



INSTITUT TEKNOLOGI NASIONAL  
FAKULTAS TEKNOLOGI INDUSTRI  
JURUSAN TEKNIK ELEKTRO  
JL.Raya Karanglo Km 2  
MALANG

**BERITA ACARA UJIAN SKRIPSI  
FAKULTAS TEKNOLOGI INDUSTRI**

Nama : NANANG SETIYA BUDI  
Nim : 05.12.219  
Jurusan : Teknik Elektro  
Kosentrasi : Teknik Elektronika S-1  
Masa Bimbingan : 01 Desember 2009 s/d 01 Juni 2010  
Judul Skripsi : Aplikasi pengirim data web online pengukur kadar polusi di jalan raya menggunakan mikrokontroller AT89S52 dan SMS gate way.

Dipertahankan dihadapan Team Penguji Skripsi Jenjang Strata Satu ( S-1 ) pada :

Hari : Selasa  
Tanggal : 09 Februari 2010  
Nilai : 84,6 (A) *Sy*



(Ir. Sidik Noertjahjono, MT)  
NIP. Y. 102 870 0163

**Panitia Majelis Penguji :**

Sekretaris

(Ir. F. Yudi Limpraptono, MT)  
NIP. Y. 103 950 0274

**Anggota penguji :**

Penguji pertama

(Ir. F. Yudi Limpraptono, MT)  
NIP. Y. 103 950 0274

Penguji kedua

(Ir. TH. Mimien Mustikawati, MT)  
NIP. P. 103 000 0352

# LEMBAR PERSEMBAHAN



Gelar sarjana ini khusus Ku persembahkan kepada :

*Abah dan Ibu H. Moh. Mukmin dan Hj. Siti Kokhaniyah, Kakakku berdua Nur Wahyuniyah dan Nur Wahyu Dewi Kusrini sekeluarga, kedua ponakanku Ana dan Akbar yang tersayang, terimakasih kuucapkan atas semua kasih sayang, doa, perhatian, dan nasehat serta pengorbadan dukungan moril maupun spiritual yang tak henti-hentinya tercurahkan kepada Ku. Begitu besar jasa yang engkau berikan sehingga tak mungkin tuk bisa sepenuh membalaunya.*

*Yang ku sayang Fitri Kristinah yang selalu memberikan semangat dan peringatan serta ocehan-ocehan sehingga dapat memperoleh gelar ini*



wisuda periode oktober 2009; Fitri kristina, Ssi

## Ucapkan Terima kasih Kepada

Keluarga besar KSR PMI Unit ITN Malang yang telah memberikan banyak pelajaran dan pengalaman sehingga dapat menjadikan aku yang bukan apa-apa menjadi orang yang berguna dan pekerja keras. Semoga KSR PMI Unit ITN Malang selalu menciptakan generasi - generasi yang peduli terhadap sesama.



Buat Pembimbing Skripsiku bapak Joseph Dedi Irawan, ST. MT yang dengan sabar dan telaten membimbingku menyelesaikan laporan skripsi ini. Dan terima kasih atas bantuannya ketika seminar hasil kemarin.

Buat dosen - dosen ITN, Bu Siswi Astuti, Pak Taufik, Pak Aryuanto, Pak Yudi, Pak Yusuf, Pak Komang, Pak Sidik, Pak Ibrahim, Pak Sumanto serta dosen - dosen semuanya.

Mas Yudi sawo jajar, yang telah membantu terselesainya hardware dan software sehingga gelar ini dapat aku raih. Semoga Mas sekeluarga selalu sehat selalu dan dilimpahkan rahmat oleh-Nya.

Buat arek - arek asistan laboratorium kendali industry, Guruh, Andry, Heri, Viki, Rini, Reni, Darwis dan arek baru yang tidak tau namanya. Semoga kalian semua mendapatkan ilmu yang bermanfaat.

Buat arek kos SUTERDAM ( Sunan Ampel Terus Kedalam), Rony, Ditoek, zain, Riski, Dika, Enong, Wahyu, kuriman, Deni, Bul - Bul, bapak dan ibu bandi dan arek - arek yang lainnya. Terima kasih atas dukungannya. Kalau ada waktu aku pasti akan main - main ke SUTERDAM.

Buat Arek - arek Elektro S-1 angkatan 2005 ( Ponda, Elsa, Pakde Pras, Tombez bayu, Zona, Gopal, agung, Nasrudin, Ari meruke, Suryo, Rafi, Rizal Bli, Yuda, Arik Mario Band, Fauzi Gendut, Miki, Drajat, Braman, Heru PKN, semuanya ).



Yang telah memberikan dukungan dan ejekan serta pengalaman jalan-jalan di Malang Raya. Kapan-kapan ayo kumpul dan reuni serta menapak tegas perjalanan kita selama menjadi mahasiswa ITN. Makasih atas kekompakkan dan dukungan selama ini dalam memperjuangkan sarjana S-1, semoga persabatan kita selalu terjaga.

Perjalanan ini bukanlah yang terakhir  
Perjalanan baru dimulai dengan babak baru  
Terjangan dan hadapi semua lika-liku kehidupan  
Dengan senyum dan semangat

Malang, 02 maret 2010

NANANG SETIYA BUDI

## **ABSTRAKSI**

### **APLIKASI WEB ONLINE PENGUKUR KADAR POLUSI DI JALAN RAYA MENGGUNAKAN MIKROKONTROLLER AT89S52 DAN SMS GATE WAY**

**(Nanang Setiya Budi, 05.12.219, Jurusan Teknik ElektroS-1/Elektronika)**  
**(Dosen Pembimbing : Joseph Dedy Irawan, ST. MT)**

Dari tahun ke tahun tingkat polusi udara semakin meningkat tajam dan semakin membahayakan kesehatan makhluk hidup terutama kesehatan manusia, ini ditandai dengan semakin panasnya suhu bumi sekarang dan mencairnya es dikutub utara dan selatan (*global warming*). Sehingga diperlukan alat pemantau kadar polusi agar masyarakat bisa mengetahui dan menghentikan kebiasaan menciptakan polusi udara.

Garis besar prinsip kerjanya adalah kadar polusi gas karbon dioksida dideteksi oleh sensor gas karbon dioksida yaitu sensor TGS 4161 dan outputan sensor tersebut akan dikondisikan sinyalnya oleh op-amp sehingga stabil sinyalnya. Karena sinyal yang dihasilkan oleh sensor TGS 4161 masih berupa sinyal analog maka akan dikonversikan menjadi sinyal digital oleh ADC, ADC yang kami pakai adalah ADC PCF 8591. Setelah sinyal berubah menjadi sinyal digital maka akan diolah/diproses oleh mikrokontroller AT89S52 dan akan ditampilkan ke display dot matriks. Untuk jam dan tanggal digital ditampilkan oleh display seven segmen dari hasil proses mikrokontroller AT89S52 dan RTC DS 1307. Alat ini juga sebagai pengirim data tentang kadar polusi udara ke web online melalui komunikasi AT command dengan SMS gate way. Sehingga kadar polusi bisa ditampilkan ke display dialat tersebut dan web dan semua orang dapat melihatnya di web.

Alat ini menggunakan mikrokontroller AT89S52 sebagai basisnya dan perangkat pendukungnya meliputi : Sensor gas karbon dioksida (TGS 4161), Rangkaian ADC, RTC sebagai informasi jam/tanggal dan display seven segmen & dot matriks. Serta menggunakan handphone sebagai komunikasi dengan web.

**Kata kunci : mikrokontroller AT89S52, TGS 4161 dan RTC serta karbon dioksida**

## KATA PENGANTAR

Segala puji dan syukur kami panjatkan kehadirat Allah SWT atas limpahan rahmat dan hidayah-Nya sehingga penulis dapat menyelesaikan laporan skripsi ini dengan judul, *aplikasi pengirim data web online pengukur kadar polusi di jalan raya menggunakan mikrokontroller AT89S52 dan SMS gate way.*

Skripsi ini merupakan salah satu syarat yang harus ditempuh dalam menyelesaikan program studi (S-1) Jurusan Teknik Elektro Konsentrasi Elektronika di Institut Teknologi Nasional Malang. Dalam penyusunan skripsi ini penulis tidak lepas dari bantuan dari berbagai banyak pihak, oleh karena itu pada kesempatan ini penulis ingin mengucapkan banyak terima kasih kepada:

1. Bapak Prof. Dr. Ir. Eng. Abraham Lomi, MSEE selaku Rektor ITN Malang.
2. Bapak Ir. Sidik Noertjahjono, MT selaku Dekan Fakultas Teknologi Industri ITN Malang.
3. Bapak Ir. F Yudi Limpratono, MT selaku ketua jurusan Teknik Elektro S-1.
4. Bapak Joseph Dedy Irawan, ST. MT selaku dosen Pembimbing atas bantuan, arahan dan bimbingan dalam penyusunan skripsi ini.
5. Bapak dan Ibu dosen Teknik Elektro yang telah banyak memberi saran dan kritik.
6. Abah, ibu dan mbak - mbakku yang selalu berdoa dan memberi dukungan moral dalam penyusunan skripsi ini
7. Teman – teman seangkatan jurusan Teknik Elektro S-1 angkatan 2005 yang senantiasa memberi motivasi serta semangat.
8. Rekan – rekan mahasiswa dan semuanya yang telah membantu untuk sampai terselesaikannya skripsi ini.

Penyusun menyadari bahwa skripsi ini masih terdapat kekurangan. Oleh karena itu, penyusun mengharapkan saran dan kritik yang bersifat membangun dari pembaca. dan semoga skripsi ini bermanfaat bagi mahasiswa Institut Teknologi Nasional Malang.

Malang, Maret 2010

Penyusun

## DAFTAR ISI

	Halaman
<b>LEMBAR PERSETUJUAN.....</b>	<b>I</b>
<b>ABSTRAK .....</b>	<b>ii</b>
<b>KATA PENGANTAR.....</b>	<b>iv</b>
<b>DAFTAR ISI.....</b>	<b>vi</b>
<b>DAFTAR TABEL .....</b>	<b>xi</b>
<b>DAFTAR GAMBAR.....</b>	<b>xiii</b>
<b>DAFTAR GRAFIK .....</b>	<b>xiv</b>

### **BAB I PENDAHULUAN**

1.1. Latar Belakang .....	1
1.2. Rumusan Masalah .....	2
1.3. Tujuan Masalah.....	3
1.4. Batasan Masalah.....	3
1.5. Metodologi Perencanaan.....	3
1.6. Sistematika Perencanaan .....	4

### **BAB II LANDASAN TEORI**

2.1. Gas beracun.....	6
2.1.1 Gas karbon diolsida (CO <sub>2</sub> ) .....	6
2.2. Mikrokontroler AT 89S52 .....	11
2.2.1. Fitur mikrokontroler AT 89S52 .....	11
2.2.2. Organisasi Memori.....	16
2.2.3. Special Fungsi Register.....	16
2.4.3.1. Accumulator.....	17
2.4.3.2. Register B.....	17
2.4.3.3. Register Port.....	17

2.4.3.4. Register Timer.....	17
2.4.3.5. Register Control .....	18
2.4.3.6. Program Status Word.....	20
2.4.3.7. Stack Pointer .....	21
2.4.3.8. Data Pointer.....	21
2.4.3.9. Serial Data Buffer .....	21
2.4.4. Mode Pengalamatan .....	21
2.4.5. Set Intruksi .....	23
<b>2.3 Sensor Gas Karbon Dioksida (<i>TGS 4161</i>) .....</b>	<b>26</b>
2.4 Display 7 segmen.....	28
2.5 Display Dot Matriks.....	30
2.5.1 Dekode matriks LED.....	30
2.6 Shift register 8 bit IC 74HCT164.....	31
2.7 RTC (Real Time Clock) DS1307.....	33
2.7.1. Fungsi kaki-kaki (pin) RTC DS1307 .....	34
2.7.2. Cara kerja RTC DS1307.....	34
2.8. Pengkondisi sinyal.....	35
2.8.1. Penguat non inverting.....	37
2.8.2. Penguat inverting.....	37
2.8.3. Penguat differensial.....	38
2.8.4 Penguat instrumentasi.....	39
2.8.5. Integrator.....	39
2.8.6. Differensiator.....	40
<b>2.9. Transistor .....</b>	<b>41</b>

2.10. Dioda .....	41
2.11. ADC PCF 8591.....	43
2.12. Hp Siemens.....	44
2.12.1. Pin out Hp Siemens.....	44
2.12.2. Kabel data .....	45
2.12.3. SMS .....	46
2.12.4. PDU .....	46

### **BAB III PERENCANAAN DAN PEMBUATAN ALAT**

3.1. Perancangan sistem .....	49
3.2. Prinsip kerja .....	51
3.3. Perencanaan sensor .....	51
3.3.1. Sensor gas karbon dioksida (TGS 4161).....	51
3.4. Perancangan rangkaian ADC PCF 8591 .....	52
3.5. Perancangan rangkaian mikrokontroller AT89S52.....	54
3.6. Perancangan rangkaian RTC DS 1307.....	55
3.7. Perancangan rangkaian komunikasi serial handpone.....	56
3.8. Perancangan rangkaian 7-segmen.....	56
3.9. Perancangan rangkaian dot matriks .....	57
3.10. flowchart .....	59

### **BAB IV PENGUJIAN ALAT**

4.1. Tujuan .....	60
4.2. Pengujian perangkat keras .....	60
4.2.1. Pengujian sensor TGS 4161 .....	61
2.4.3.2 Tujuan . .....	61
2.4.3.2 Prosedur pengujian.....	61

2.4.3.3	Hasil pengujian.....	67
4.2.2.	Pengujian ADC PCF 8591 .....	68
4.2.2.1	Tujuan .....	68
4.2.2.2	Alat-alat Yang Digunakan.....	68
4.2.2.3.	Prosedur Pengujian .....	68
4.2.2.4.	Hasil Pengujian .....	69
4.2.3.	Pengujian RTC DS 1307.....	70
4.2.3.1.	Tujuan.....	70
4.2.3.2	Alat-alat Yang Digunakan.....	70
4.2.3.3.	Langkah Pengujian .....	70
4.2.3.4.	Hasil Pengujian.....	71
4.2.4.	Pengujian handphone .....	71
4.2.4.1.	Tujuan.....	71
4.2.4.2.	Alat-alat Yang Digunakan.....	71
4.2.4.3	Langkah Pengujian .....	72
4.2.4.4.	Hasil Pengujian.....	72
4.2.5.	Pengujian 7-segmen .....	74
4.2.5.1.	Tujuan.....	74
4.2.5.2.	Alat-alat Yang Digunakan.....	74
4.2.5.3.	Langkah Pengujian .....	74
4.2.5.4.	Hasil Pengujian.....	74
4.2.6.	Pengujian system secara keseluruhan .....	75
4.2.6.1.	Hasil pengujian .....	76

## **BAB V PENUTUP**

5.1. Kesimpulan ..... 77

5.2. Saran..... 78

**DAFTAR PUSTAKA..... 79**

**LAMPIRAN.....**

## DAFTAR TABEL

	Halaman
Tabel 2-1. Fungsi khusus port 1 pada AT89S52 .....	14
Tabel 2-2. Fungsi khusus port 3 pada AT89S52 .....	15
Tabel 2-3. Register IP pada mikrokontroler AT89S52 .....	18
Tabel 2-4. Register IE pada mikrokontroler AT89S52 .....	19
Tabel 2-5. Display 7-segment.....	29
Tabel 2-6. Pin-pin IC 74HCT164 .....	32
Tabel 2-7. Pinout hp siemens .....	45
Tabel 2-8. Kabel data siemens.....	48
Tabel 3-1. Hubungan antara ADC PCF 8591 dengan AT89S52.....	53
Tabel 4-1. Data hasil perhitungan $\Delta EMF$ .....	62
Tabel 4-2. Data hasil perhitungan tegangan keluaran sensor yang telah dikuatkan oleh op-amp.....	64
Tabel 4-3. Data hasil pengukuran tegangan keluaran sensor yang telah dikuatkan oleh op-amp.....	66
Table 4-4. Perbandingan data hasil perhitungan dan pengukuran tegangan keluaran sensor yang telah dikuatkan oleh op-amp .....	67
Tabel 4-5. Hasil pembacaan dan perhitungan ADC PCF 8591 .....	69
Tabel 4-6. Hasil pengujian waktu pada jam digital dengan waktu pada alat .....	71
Tabel 4-7. Hasil pengujian tanggal pada jam digital dengan tanggal pada alat ....	71
Tabel 4-8. Data hasil pengujian SMS gate way .....	73
Tabel 4-9. Hasil pengujian waktu pada jam digital dengan waktu pada alat .....	74
Tabel 4-10. Hasil pengujian tanggal pada jam digital dengan tanggal pada alat ....	75
Tabel 4-11. Hasil pengujian keseluruhan alat.....	76

## DAFTAR GAMBAR

	Halaman
Gambar 2-1. Diagram blok mikrokontroller AT89S52.....	12
Gambar 2-2. Mikrokontroller Atmel AT89S52 .....	13
Gambar 2-3. Rangkaian osilator.....	15
Gambar 2-4. Struktur memori program dan data .....	16
Gambar 2-5. Register IP pada mikrokontroler AT89S52 .....	18
Gambar 2-6. Register IE pada mikrokontroler AT89S52 .....	19
Gambar 2-7. Register PSW dalam mikrokontroler AT89S52.....	20
Gambar 2-8. Sensor TGS 4161/sensor CO <sub>2</sub> .....	27
Gambar 2-9. Basic measuring circuit.....	28
Gambar 2-10. Display 7-semen.....	29
Gambar 2-11. Display dot matriks 5x7 titik.....	30
Gambar 2-12. Dekode LED matriks dalam tampilan karakter.....	31
Gambar 2-13. IC 74HCT164.....	32
Gambar 2-14. Pin-pin RTC DS1307 .....	34
Gambar 2-15. Simbol Op-amp.....	35
Gambar 2.16. Rangkaian penguat non inverting.....	37
Gambar 2-17. Rangkaian penguat inverting .....	38
Gambar 2-18. Rangkaian penguat diferensial .....	38
Gambar 2-19. Rangkaian penguat instrumentasi .....	39
Gambar 2-20. Rangkaian integrator .....	40
Gambar 2-21. Rangkaian diferensiator .....	40
Gambar 2-22. Transistor .....	41
Gambar 2-23. Dioda.....	42

Gambar 2-24. Kurva dioda.....	42
Gambar 2-25. Pin-pin PCF 8591 .....	43
Gambar 3-1. Blok diagram perencanaan.....	49
Gambar 3-2. Rangkaian skematik TGS4161 .....	51
Gambar 3-3. Rangkaian skematik PCF 8591 .....	53
Gambar 3-3. Rangkaian skematik mikrokontroller AT89S52 .....	54
Gambar 3-4. Rangkaian skematik RTC DS 1307 .....	55
Gambar 3-5. Rangkaian komunikasi hp dengan AT89S52 .....	56
Gambar 3-6. Rangkaian skematik 7-segmen.....	57
Gambar 3-7. Rangkaian skematik dot matriks .....	58
Gambar 4-1. Hasil pengukuran tegangan keluaran sensor .....	65
Gambar 4-2. Hasil pengukuran tegangan keluaran sensor .....	65
Gambar 4-3. Setting jam digital .....	72
Gambar 4-4. SMS meminta data sensor TGS 4161 .....	72
Gambar 4-5. Pesan balasan dari alat .....	73

## **DAFTAR GRAFIK**

### **Halaman**

Grafik 2-1. Sensitivity characteristics TGS 4161 .....	27
Grafik 4-1. Hasil perhitungan antara PPM dan Vout.....	64
Grafik 4-2 hasil pengukuran antara PPM dan Vout.....	66

## BAB I

### PENDAHULUAN

#### 1.1 Latar Belakang Permasalahan

Masalah pencemaran lingkungan bukanlah hal yang baru lagi dan telah menjadi isu dimana-mana. Sepintas masalah lingkungan sederhana saja, seperti sampah, limba industry, pencemaran udara, dan sebagainya. Akan tetapi bila ditinjau lebih dalam permasalahannya tidak sesederhana itu. Permasalahan lingkungan seperti bagian dari pandangan hidup, sebuah reaksi krisis atas pemujaan teknologi, pengurasan energi, sikap hidup komsutif dan usaha mengejar pertumbuhan di atas segala hal (*Eksekutif*, Nomor 01 Edisi Maret 1986 dalam Syamsul 2000:1). Hal ini ditunjang kenyataan bahwa himbauan ini pertama kali terdengar dinegara-negara maju, yang sudah lebih dulu mengalami pahit getirnya teknologi tinggi, revolusi industri maupun urbanisasi.

Kebisingan jutaan mobil, mesin-mesin industri yang membakar minyak dan mengeluarkan CO<sub>2</sub>, hutan terbakar melepas CO<sub>2</sub>, pembusukan limbah pertanian juga memproduksi gas karbon dioksida, dan pemukiman-pemukiman orang modern banyak menyerap energi alam juga merupakan penyumbang pencemaran lingkungan. Masalah ini menambah panjang daftar permasalahan alam yang sudah muncul seperti fenomena “bumi makin panas”. Ini muncul akibat penambahan gas-gas atmosfer, terutama CO<sub>2</sub> yang menyerap panas matahari meskipun secara tidak langsung.

Dimalang kendaraan bermotor merupakan salah satu faktor terbesar yang menyumbangkan banyak polusi udara dikota tersebut, apalagi malang dikenal sebagai kota pelajar maka semakin banyak orang yang datang ke malang untuk

menimbah ilmu maka sumbangan polusi udara oleh kendaraan bermotor yang mereka bawa ke malang semakin besar pula.

Kendaraan bermotor sangat mempengaruhi masalah polusi udara. Setiap kendaraan bermotor mengeluarkan karbon dioksida, yang sifatnya sangat merugikan bagi kesehatan manusia. Semakin banyak kadar karbon dioksida dalam tubuh maka akan mempengaruhi kesehatan manusia, sehingga otak akan kekurangan oksigen yang membuat fungsi otak akan terganggu. Dan, apabila otak tidak berfungsi seperti yang semestinya maka organ-organ yang lain juga akan terganggu kinerjanya sehingga tubuh akan menjadi kurang sehat.

Oleh karena bahayanya masalah diatas, maka kita akan membuat sebuah alat yang dapat memantau berapa kadar polusi udara. Khususnya, karbon dioksida yang ada di jalan raya sehingga orang dapat mengetahui seberapa besar kadar polusi karbon dioksida yang ada disekitar kita.

## 1.2 Rumusan Masalah Penelitian

Berdasarkan latar belakang tersebut, dapat dirumuskan rumusan masalah sebagai berikut :

1. Bagaimana merancang dan membuat identifikasi karbon dioksida dengan sensor TGS 4161 menggunakan mikrokontroler AT89S52.
2. Bagaimana cara menampilkan hasil identifikasi karbon dioksida ke display.
3. Bagaimana agar mikrokontroler AT89S52 dapat mengirimkan SMS agar dapat ditampilkan pada web.
4. Bagaimana cara menampilkan jam digital menggunakan mikrokontroler AT89S52 ke display.

### **1.3 Tujuan**

Adapun tujuan yang ingin dicapai dalam perancangan dan pembuatan alat ini sebagai berikut :

1. Memberikan informasi kepada masyarakat tentang kadar polusi yang terkandung dalam udara.
2. Memberikan informasi kepada masyarakat pengguna jalan raya tentang waktu dan tanggal.
3. Memberikan data ke web tentang kadar polusi sebagai data base melalui handphone.

### **1.4 Batasan Masalah.**

Untuk mencapai tujuan penyelesaian skripsi ini secara maksimal, maka diperlukan batasan masalah yang diharapkan agar permasalahan tidak meluas dan tetap terfokus pada tujuan utama. Adapun batasan-batasan masalah pada skripsi ini yaitu :

1. Membahas sampai pengiriman data pada web online.
2. Menggunakan mikrokontroller AT98S52.
3. Menggunakan dot matrik dan seven segmen.
4. Menggunakan sensor karbon dioksida TGS 4161.
5. Handphone siemen C35.
6. Hanya membahas polusi udara gas karbon dioksida.

### **1.5 Metodologi pembahasan.**

Untuk dapat menyelesaikan skripsi ini, maka dapat mengambil metode-metode untuk menyelesaikan pemecahan masalah pada skripsi ini, meliputi:

a. Studi literatur

Mempelajari teori-teori yang terkait melalui literatur yang telah ada, yang berhubungan dengan pembahasan masalah.

b. Perencanaan dan pembuatan alat

Membuat diagram blok rangkaian yang sesuai dengan rencana kerja, yang kemudian direalisasikan dengan masalah perencanaan dan pembuatan berdasarkan diagram blok rangkaian yang telah disusun.

c. Studi analisa alat

Dimaksudkan untuk melakukan analisa dan pengujian alat yang telah dirancang apakah sesuai antara fungsi dengan kerja yang diharapkan.

d. Pengambilan Kesimpulan

Dilakukan setelah mendapatkan hasil dari perancangan dan pengujian alat. Jika hasil yang diperoleh telah sesuai dengan spesifikasi yang ditentukan saat dilakukan perancangan, berarti alat tersebut telah dianggap selesai dan sesuai dengan harapan.

e. Penyusunan buku laporan

Bertujuan untuk menyusun data laporan yang berpedoman pada alat yang telah selesai dibuat beserta kesimpulan dan cara kerja alat.

## 1.6 Sistematika

Pembahasan dalam Skripsi ini akan diuraikan dalam lima bab, yang penjabarannya adalah sebagai berikut :

### Bab I : PENDAHULUAN

Membahas tentang latar belakang, rumusan masalah, tujuan, metodologi pembahasan dan sistematika pembahasan yang akan dipaparkan dalam skripsi ini.

**Bab II : LANDASAN TEORI**

Membahas tentang berbagai macam teori yang mendukung dalam menjalankan waktu digital dan sensor gas karbon dioksida dapat bekerja menggunakan AT89LS52 sehingga dapat ditampilkan pada display serta dikirimkan ke web server melalui sms.

**Bab III : PERENCANAAN DAN PEMBUATAN ALAT**

Membahas tentang proses kerja sensor gas karbon dioksida dan waktu digital menggunakan mikrokontroler AT89LS52 serta dapat mengirimkan data ke web server melalui sms

**Bab IV : PENGUJIAN SISTEM**

Membahas tentang pengujian waktu digital, sensor gas karbon dioksida apakah berjalan dengan menggunakan mikrokontroler AT89LS52 dan dapat ditampilkan ke display yaitu dapat menampilkan kondisi kadar polusi rendah, sedang atau, tinggi sesuai dengan kondisi udara yang ada. Serta menguji apakah sms yang dikirimkan ke handphone bisa diterima oleh PC sehingga dapat dikirimkan ke web server yang telah ditentukan.

**Bab V : PENUTUP**

Merupakan bagian akhir dari laporan skripsi yang terdiri dari kesimpulan dan saran.

## **BAB II**

### **LANDASAN TEORI**

Landasan teori sangat membantu untuk dapat memahami suatu sistem. Disamping itu dapat juga dijadikan acuan didalam merencanakan suatu sistem. Dengan pertimbangan hal-hal tersebut, maka landasan teori merupakan bagian yang harus dipahami untuk pembahasan selanjutnya.

Pada bab ini akan diuraikan mengenai penggunaan teknologi mikrokontroler AT89S52 beserta piranti penunjang lainya. Dimana teknologi AT89S52 sendiri merupakan pengembangan teknologi mikroprosesor dan mikrokontroler sebelumnya. Disini akan diuraikan mengenai segala aspek komponen perangkat keras yang akan dibuat.

#### **2.1 Gas Beracun**

##### **2.1.1 Gas Karbon Dioksida ( $CO_2$ )**

*Karbon dioksida* atau zat asam arang adalah sejenis senyawa kimia yang terdiri dari dua atom *oksigen* yang teikat secara *kovalen* dengan sebuah atom *karbon*. *Karbon dioksida* dihasilkan oleh semua heawan, tumbuh-tumbuhan, fungi dan *mikroorganisme* pada *proses respirasi* dan digunakan pada tumbuhan pada *proses fotosintesis*.

Pada abad ke-17, seorang kimiawan *Fleming, Jan Baptist Van Helmont*, menemukan bahwa arang yang dibakar pada bejana tertutup akan menghasilkan abu yang massanya daripada massa arang semula. Dia berkesimpulan bahwa sebagian arang tersebut telah ditransmutasikan menjadi zat yang tidak terlihat, yang kemudian dinamakan zat tersebut sebagai “gas” atau *spiritus sylvestre* ( Bahasa Indonesia: arwah liar )

Sifat-sifat *karbon dioksida* dipelajari lebih lanjut pada tahun 1750 oleh fisikawan Skotlandia *Joseph Black*. Dia menemukan bahwa batu kapur (kalsium karbonat) dapat dibakar atau diberikan asam dan menghasilkan gas yang dia namakan sebagai "*fixed air*". Dia juga menemukan bahwa gas ini lebih berat daripada udara dan ketika digelembungkan dalam *larutan kapur (kalsium hidroksida)* akan mengendapkan kalsium karbonat. Dia menggunakan fenomena ini untuk mengilustrasikan bahwa *karbon dioksida* dihasilkan dari pernafasan hewan dan *fermentasi mikrob*. Pada tahun 1772, seorang kimiawan Inggris *Joseph Priestley* mempublikasikan sebuah jurnal yang berjudul *Impregnating Water with Fixed Air*. Dalam jurnal tersebut, dia menjelaskan proses penetesan asam sulfat atau minyak vitriol seperti yang Priestley sebut ke kapur untuk menghasilkan *karbon dioksida* dan memaksa gas itu untuk larut dengan mengguncangkan semangkuk air yang berkонтак dengan gas.

*Karbon dioksida* secara garis besar dihasilkan dari enam proses:

1. Sebagai hasil samping dari pengilangan *ammonia* dan *hidrogen*, di mana *metana* dikonversikan menjadi  $CO_2$ .
2. Dari pembakaran kayu dan bahan bakar fosil;
3. Sebagai hasil samping dari *fermentasi* gula pada proses peragian bir, wiski, dan minuman beralkohol lainnya.
4. Dari proses penguraian termal batu kapur,  $CaCO_3$
5. Sebagai produk samping dari pembuatan natrium fosfat
6. Secara langsung di ambil dari mata air yang karbon dioksidanya dihasilkan dari pengasaman air pada batu kapur atau dolomit.

Kandungan *karbon dioksida* di udara segar bervariasi antara 0,03% (300ppm) sampai dengan 0,06% (600 ppm) bergantung pada lokasi.

Menurut *Otoritas Keselamatan Maritim Australia*, "Paparan berkepanjangan terhadap *konsentrasi karbon dioksida* yang sedang dapat menyebabkan *asidosis* dan efek-efek merugikan pada *metabolisme* kalsium *fosforus* yang menyebabkan peningkatan endapan kalsium pada jaringan lunak. *Karbon dioksida* beracun kepada jantung dan menyebabkan menurunnya gaya *kontraktil*. Pada konsentrasi tiga persen berdasarkan volume di udara, ia bersifat *narkotik* ringan dan menyebabkan peningkatan tekanan darah dan denyut nadi, dan menyebabkan penurunan daya dengar. Pada konsentrasi sekitar lima persen berdasarkan volume, ia menyebabkan *stimulasi* pusat pernafasan, pusing-pusing, kebingungan, dan kesulitan pernafasan yang diikuti sakit kepala dan sesak nafas. Pada konsentrasi delapan persen, ia menyebabkan sakit kepala, keringatan, penglihatan buram, tremor, dan kehilangan kesadaran setelah paparan selama lima sampai sepuluh menit."

Oleh karena bahaya kesehatan yang diasosiasikan dengan paparan karbon dioksida, *Administrasi Kesehatan dan Keselamatan Kerja Amerika Serikat* menyatakan bahwa paparan rata-rata untuk orang dewasa yang sehat selama waktu kerja 8 jam sehari tidak boleh melebihi 5.000 ppm (0,5%). Batas aman maksimum untuk balita, anak-anak, orang tua, dan individu dengan masalah kesehatan *kardiopulmonari* (jatung dan paru-paru) secara signifikan lebih kecil. Untuk paparan dalam jangka waktu pendek (di bawah 10 menit), batasan dari *Institut Nasional untuk Kesehatan dan Keamanan Kerja Amerika Serikat (NIOSH)* adalah 30.000 ppm (3%). NIOSH juga menyatakan bahwa konsentrasi *karbon dioksida* yang melebihi 4% adalah langsung berbahaya bagi keselamatan jiwa dan kesehatan.

Adaptasi terhadap peningkatan kadar *karbon dioksida* dapat terjadi pada manusia. *Inhalasi karbon dioksida* yang berkelanjutan dapat ditoleransi pada konsentrasi inspirasi tiga persen paling sedikit selama satu bulan dan empat persen konsentrasi insipirasi selama lebih dari satu minggu. Diajukan juga bahwa konsentrasi insipirasi sebesar 2,0 persen dapat digunakan untuk ruangan tertutup (seperti kapal selam) oleh karena adaptasi ini bersifat *fisiologis* dan *reversibel*. Penurunan kinerja atau pada aktivitas fisik yang normal tidak terjadi pada tingkat konsentrasi ini.

Gambaran-gambaran ini berlaku untuk *karbon dioksida* murni. Dalam ruangan tertutup yang dipenuhi orang, konsentrasi *karbon dioksida* akan mencapai tingkat yang lebih tinggi daripada konsentrasi di udara bebas. Konsentrasi yang lebih besar dari *1.000 ppm* akan menyebabkan ketidaknyamanan terhadap 20% penghuni dan ketidaknyamanan ini akan meningkat seiring dengan meningkatnya konsentrasi *karbon dioksida*. Ketidaknyamanan ini diakibatkan oleh gas-gas yang dikeluarkan sewaktu pernafasan dan keringatan manusia, bukan oleh karbon dioksida. Pada konsentrasi *2.000 ppm*, mayoritas penghuni akan merasakan ketidaknyamanan yang signifikan dan banyak yang akan mual-mual dan sakit kepala. Konsentrasi *karbon dioksida* antara *300 ppm* sampai dengan *2.500 ppm* digunakan sebagai indikator kualitas udara dalam ruangan.

Keracunan *karbon dioksida* akut dikenal sebagai lembap hitam. Para penambang biasanya akan membawa sesangkar burung kenari ketika mereka sedang bekerja untuk memperingati mereka ketika kadar *karbon dioksida* mencapai tingkat yang berbahaya. Burung kenari akan terlebih dahulu mati sebelum kadar *karbon dioksida* mencapai tingkat yang berbahaya untuk manusia. *Karbon dioksida* menyebabkan kematian yang luas di Danau Nyos di Kamerun pada tahun 1996.

Karbon dioksida yang lebih berat yang dikeluarkan mendorong *oksigen* keluar, menyebabkan kematian hampir 2000 orang.

Hemoglobin, molekul pengangkut oksigen yang utama pada sel darah merah, mengangkut baik *oksigen* maupun *karbon dioksida*. Namun *karbon dioksida* yang diangkut *hemoglobin* tidak terikat pada tempat yang sama dengan *oksigen*. Ia bergabung dengan gugus terminal-N pada empat rantai *globin*. Namun, karena efek alosterik pada molekul *hemoglobin*, pengikatan *karbon dioksida* mengurangi jumlah *oksigen* yang dapat diikat. Penurunan pengikatan *karbon dioksida* oleh karena peningkatan kadar *oksigen* dikenal sebagai efek Haldane dan penting dalam *trasportasi karbon dioksida* dari jaringan ke paru-paru. Sebaliknya, peningkatan tekanan parsial  $CO_2$  atau penurunan  $pH$  akan menyebabkan pelepasan *oksigen* dari *hemoglobin*, dikenal sebagai efek Bohr.

$CO_2$  diangkut di darah dengan tiga cara yang berbeda:

- Kebanyakan (sekitar 70% - 80%) dikonversikan menjadi *ion bikarbonat*  $HCO_3^-$  oleh enzim *karbonat anhidrase* di sel-sel darah merah dengan reaksi



- 5% - 10% larut di plasma
- 5% - 10% diikat oleh hemoglobin sebagai senyawa karbamino

*Karbon dioksida* adalah salah satu *mediator autoregulasi* setempat suplai darah. Apabila kadar *karbon dioksida* tinggi, kapiler akan mengembang untuk mengijinkan arus darah yang lebih besar ke jaringan yang dituju.

*Ion bikarbonat* sangatlah penting dalam meregulasi *pH* darah. Laju pernafasan seseorang dipengaruhi oleh kadar *karbon dioksida* dalam darahnya. Pernafasan yang terlalu lambat akan menyebabkan asidosis pernafasan, sedangkan pernafasan yang terlalu cepat akan menimbulkan hiperventilasi yang bisa menyebabkan alkalosis pernafasan.

Walaupun tubuh memerlukan *oksigen* untuk *metabolisme*, kadar *oksigen* yang rendah tidak akan menstimulasi pernafasan. Sebaliknya pernafasan distimulasi oleh kadar *karbon dioksida* yang tinggi. Akibatnya, bernafas pada udara bertekanan rendah atau campuran gas tanpa *oksigen* (seperti *nitrogen* murni) dapat menyebabkan kehilangan kesadaran. Hal ini sangatlah berbahaya bagi pilot tempur. Ini juga adalah alasan mengapa penumpang pesawat diinstruksikan untuk memakai masker *oksigen* ke dirinya sendiri terlebih dahulu sebelum membantu orang lain ketika tekanan kabin berkurang, jika tidak maka terjadi resiko tidak sadarkan diri.

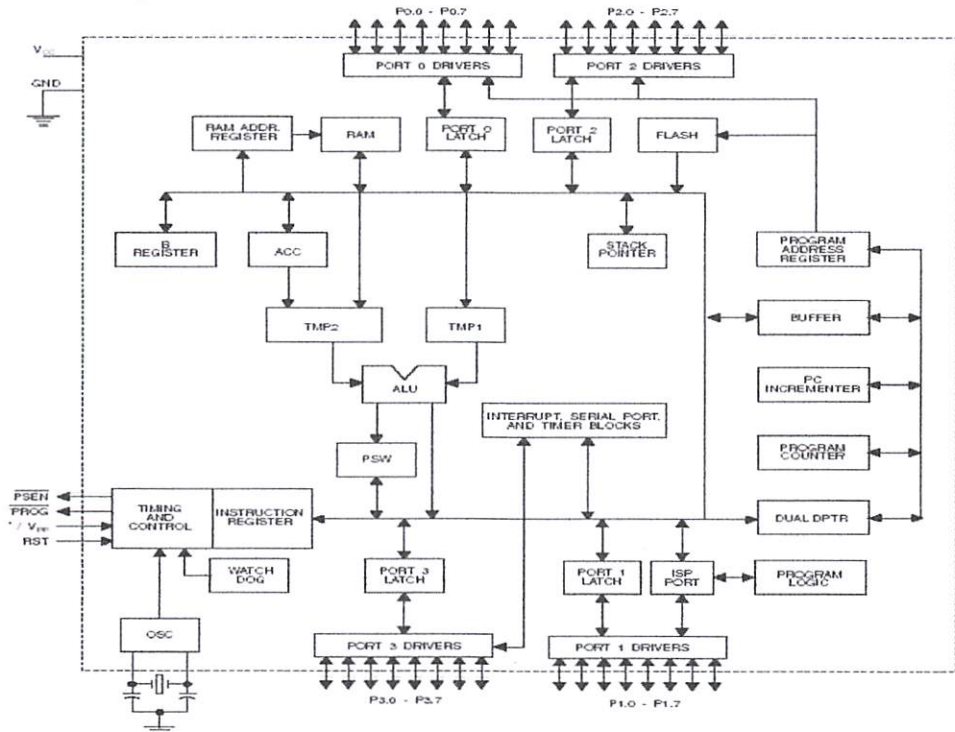
Menurut salah satu kajian dari Departemen Pertanian Amerika Serikat, pernafasan orang pada umumnya menghasilkan kira-kira 450 liter (sekitar 900 gram) *karbon dioksida* perhari.

## 2.2. Mikrokontroler AT89S52

### 2.2.1. Fitur mikrokontroler AT89S52

Mikrokontroler AT89S52 merupakan salah satu keluarga MCS-51 keluaran Atmel yang mempunyai 40 kaki, 32 kaki diantaranya digunakan sebagai port paralel. Satu port paralel terdiri dari 8 kaki dengan demikian 32 kaki membentuk 4 buah port paralel, yang masing-masing dikenal dengan port 0, port 1, port 2, port 3. Jenis mikrokontroler ini pada prinsipnya dapat digunakan untuk mengolah data per bit ataupun data 8 bit secara bersamaan.

Sebuah mikrokontroler dapat bekerja bila dalam mikrokontroler tersebut terdapat sebuah program yang berisi instruksi-instruksi yang akan digunakan untuk menjalankan sistem mikrokontroler tersebut. Pada prinsipnya program pada mikrokontroler dijalankan secara bertahap, jadi dalam program itu sendiri terdapat beberapa set instruksi dan tiap instruksi itu dijalankan secara bertahap atau berurutan.



**Gambar 2-1. Diagram Blok mikrokontroler AT89S52**  
Sumber : [Datasheet mikrokontroler AT89S52](#)

Beberapa spesifikasi yang dimiliki oleh mikrokontroler AT89S52 adalah sebagai berikut :

- Kompatibel dengan semua produk MCS-51
- 8K byte ISP *flash memory*
- 3 level program memori *lock*
- 256 byte RAM *internal*
- Jalur I/O dua arah 32 buah
- 3 buah *timer/counter* 16-bit
- *Programmable UART* (serial port)

- Programmable watchdog timer
- Dual data pointer
- Frekuensi kerja 0 sampai 33 MHz
- Tegangan operasi 4,0 Volt sampai 5,5 Volt

(T2) P1.0	1	40	VCC
(T2 EX) P1.1	2	39	P0.0 (AD0)
P1.2	3	38	P0.1 (AD1)
P1.3	4	37	P0.2 (AD2)
P1.4	5	36	P0.3 (AD3)
(MOSI) P1.5	6	35	P0.4 (AD4)
(MISO) P1.6	7	34	P0.5 (AD5)
(SCK) P1.7	8	33	P0.6 (AD6)
RST	9	32	P0.7 (AD7)
(RXD) P3.0	10	31	E <sub>A</sub> /VPP
(TXD) P3.1	11	30	ALE/PROG
(INT0) P3.2	12	29	PSEN
(INT1) P3.3	13	28	P2.7 (A15)
(T0) P3.4	14	27	P2.6 (A14)
(T1) P3.5	15	26	P2.5 (A13)
(WR) P3.6	16	25	P2.4 (A12)
(RD) P3.7	17	24	P2.3 (A11)
XTAL2	18	23	P2.2 (A10)
XTAL1	19	22	P2.1 (A9)
GND	20	21	P2.0 (A8)

**Gambar 2-2.** Mikrokontroler Atmel AT89S52  
Sumber : [Datasheet mikrokontroller AT89S52](#)

Semua pin pada mikrokontroler Atmel AT89S52 adalah sama dengan mikrokontroler MCS-51. Penjelasan untuk masing-masing pin dari mikrokontroler adalah sebagai berikut :

- **VCC** digunakan sebagai catu daya
- **Gnd** digunakan sebagai ground
- **Port 0 (P0)** merupakan port paralel 8-bit dua arah dan memiliki alamat 80H. Posisi *low significant* bit (LSB) terletak pada pin 39 dan *most significant* (MSB) terletak pada pin 32.
- **Port 1 (P1)** merupakan port paralel 8-bit dua arah dan memiliki alamat 90H. Posisi LSB terletak pada pin 1 dan LSB terletak pada pin 8.

Penyangga keluaran port 1 mampu memberikan menyerap arus empat masukan TTL (sekitar 1,6 mA). Port ini mempunyai beberapa fungsi khusus ditunjukkan pada tabel dibawah ini :

**Tabel 2-1.** Fungsi khusus port 1 pada AT89S52

Pin-pin pada port 1	Fungsi pengganti
P1.0	T2 (masukan luar untuk timer/counter 2)
P1.1	T2 EX (timer/counter 2 capture/ reload triger dan control arah)
P1.2	-
P1.3	-
P1.4	-
P1.5	MOSI (Master Data Output, Slave Data Input untuk kanal SPI)
P1.6	MISO (Master Data Input, Slave Data Output untuk kanal SPI)
P1.7	SCK (Master clock output, Slave clock input untuk kanal SPI)

Sumber : [Datasheet mikrokontroller AT89S52](#)

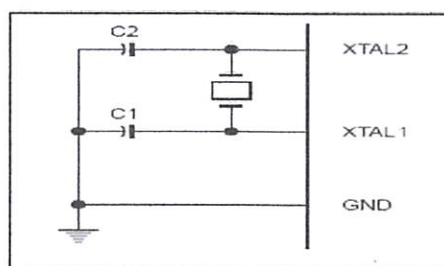
- **Port 2 (P2)** merupakan port paralel 8-bit dua arah dan memiliki alamat A0H. Posisi *low significant* bit (LSB) terletak pada pin 21 dan *most significant* (MSB) terletak pada pin 28. Penyangga keluaran port 2 mampu memberikan menyerap arus empat masukan TTL (sekitar 1,6 mA).
- **Port 3 (P3)** merupakan port paralel 8-bit dua arah dan memiliki alamat B0H. Posisi LSB terletak pada pin 10 dan LSB terletak pada pin 17. Penyangga keluaran port 3 mampu memberikan menyerap arus empat masukan TTL (sekitar 1,6 mA). Port ini mempunyai beberapa fungsi khusus ditunjukkan pada tabel dibawah ini :

**Tabel 2-2.** Fungsi khusus port 3 pada AT89S52

Pin-pin pada port 3	Fungsi pengganti
P3.0	RXD (port input serial)
P3.1	TXD (port output serial)
P3.2	INT0 (interrupt eksternal 0)
P3.3	INT1 (interrupt eksternal 1)
P3.4	T0 (input eksternal timer 0)
P3.5	T1 (input eksternal timer 1)
P3.6	WR (perintah write pada memori eksternal)
P3.7	RD (perintah read pada memori eksternal)

Sumber : [Datasheet mikrokontroller AT89S52](#)

- **RST** (reset) pada kondisi high akan aktif selama dua siklus.
- **ALE/PROG** atau *Address Latch Enable* menghasilkan pulsa-pulsa untuk mengancing byte rendah (*low byte*) alamat selama pengaksesan memori eksternal.
- **EA/Vpp** atau *External Access Enable* pada kondisi low maka mikrokontroler menjalankan instruksi-instruksi yang ada pada memori internal.
- **XTAL 1** sebagai masukan dari rangkaian osilator.
- **XTAL 2** sebagai keluaran dari rangkaian osilator.

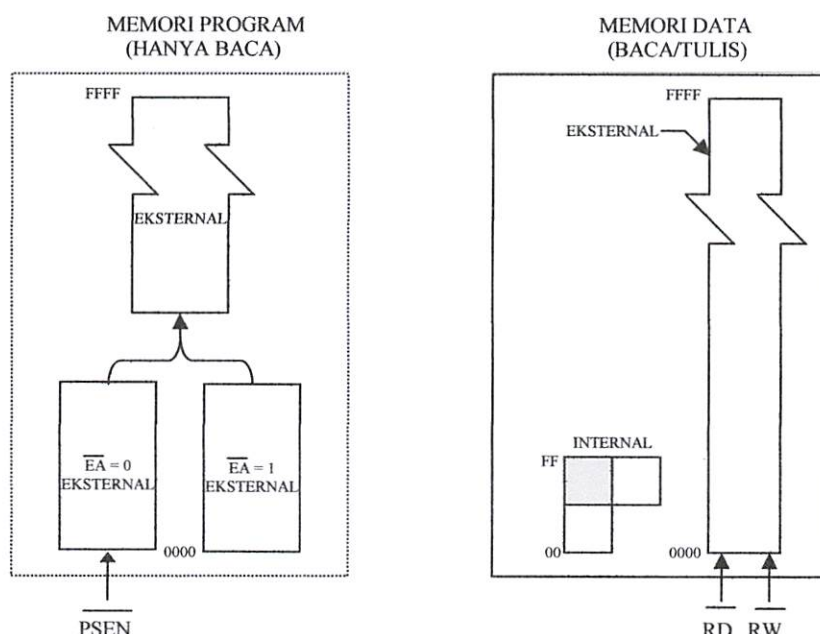


**Gambar 2-3.** Rangkaian osilator  
Sumber : [Datasheet mikrokontroller AT89S52](#)

### 2.2.2. Organisasi memori

Mikrokontroler AT89S52 mengimplementasikan ruang memori yang terpisah antara program dan data. Kapasitas memori internal 8 Kb, tetapi keduanya dapat diperluas dengan memori *eksternal* sampai 64 Kb memori program dan 64 Kb memori data. Memori *eksternal* ini dapat diaktifkan dengan sinyal PSEN, sedangkan pin EA dinolkkan ke ground, maka akan menghasilkan sinyal *Write* (WR) dan *read* (RD).

Namun AT89S52 telah memiliki ROM *internal* sebanyak 8 Kb yang dipakai sebagai memori program serta RAM *internal* sebanyak 256 byte yang digunakan sebagai memori data. Penunjukkan alamat kedua memori ini dihasilkan melalui register *Data Pointer* (DPTR).



**Gambar 2-4.** Struktur memori program dan data  
Sumber : [Datasheet mikrokontroller AT89S52](#)

### 2.2.3. Special Function register (SFR)

*Special Function Register* atau SFR adalah register-register yang mempunyai fungsi khusus, di antaranya ada yang digunakan untuk mengatur input output data dari mikrokontroler. Misalnya register P0, P1, P2, dan P3 digunakan sebagai register

untuk menampung data input/output. Selain itu juga digunakan untuk mengatur dan memantau kondisi UART, yaitu pada register SCON. Register yang mengatur kerja *timer* adalah TCON.

#### **2.2.3.1. Accumulator**

*Accumulator* menempati lokasi E0H merupakan register yang berfungsi menyimpan data sementara dalam program. Register accumulator ini sering digunakan dalam proses operasi aritmatika, logika, pengambilan dan penerimaan data.

#### **2.2.3.2. Register B**

Register B menempati lokasi F0H digunakan untuk operasi perkalian dan pembagian untuk instruksi lain dapat diperlakukan sebagai register *scratch pad* (Papan coret-coret).

#### **2.2.3.3. Register Port**

Register ini terdapat 4 buah yaitu register P0, P1, P2, dan P3 masing-masing menempati lokasi 80H, 90H, A0H, dan B0H digunakan sebagai sarana input/output untuk menyimpan data dari atau ke masing-masing port 0, port 1, port 2, dan port 3.

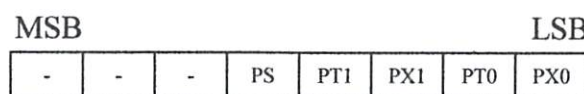
#### **2.2.3.4. Register Timer**

Mikrokontroler AT89S52 mempunyai tiga buah 16-bit timer , yaitu timer 0, timer 1, dan timer 2. Timer 0 dibentuk oleh register TH0 dan TL0 di lokasi 8CH dan 8AH. Timer 1 dibentuk oleh register TH1 dan TL1 di lokasi 8DH dan 8BH. Timer 2 dibentuk oleh register TH2 dan TL2 di lokasi CDH dan CCH. Perilaku dari register TH0, TH1, TH2, TL0, TL1, dan TL2 diatur oleh register TMOD dan register TCON.

### 2.2.3.5. Register Control

Ada beberapa register yang berisi bit-bit kontrol dan status untuk sistem interupsi, pencacah atau pewaktu, dan port serial antara lain :

- Register IP (*Interrupt Priority*) digunakan untuk mengatur prioritas dari masing-masing interupsi. Tingkat prioritas semua sumber *interrupt* dapat diprogram sendiri-sendiri dengan *set* atau *clear* bit pada (*Interrupt Priority*). Jika dua permintaan interupsi dengan tingkat prioritas yang berbeda diterima secara bersamaan, permintaan interupsi dengan prioritas tertinggi yang akan dilayani. Jika permintaan interupsi dengan prioritas yang sama diterima bersamaan, akan dilakukan polling untuk menentukan mana yang akan dilayani. Bit-bit pada IP adalah sebagai berikut:



Priority bit = 1 menandakan prioritas tinggi (*high priority*)

Priority bit = 0 menandakan prioritas rendah (*low priority*)

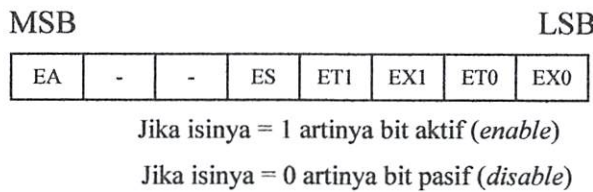
**Gambar 2-5.** Register IP pada mikrokontroler AT89S52  
Sumber : [Datasheet mikrokontroller AT89S52](#)

**Tabel 2-3.** Register IP pada mikrokontroler AT89S52

Simbol	Posisi	Fungsi
-	IP.7	Cadangan
-	IP.6	Cadangan
-	IP.5	Cadangan
PS	IP.4	Bit interupsi port serial
PT1	IP.3	Bit interupsi timer 1 overflow
PX1	IP.2	Bit interupsi eksternal 1
PT0	IP.1	Bit interupsi timer 0 overflow
PX0	IP.0	Bit interupsi eksternal 0

Sumber : [Datasheet mikrokontroller AT89S52](#)

- Register IE (*Interrupt Enable*) digunakan untuk mengaktifkan atau menonaktifkan sarana interupsi. IE.0 sampai IE.6 mengatur masing-masing sumber interupsi, sedangkan IE.7 mengatur interupsi secara keseluruhan. Jika IE.7 bernilai 0 maka sistem interupsi akan non aktif atau keadaan dari IE.0 sampai IE.6 tidak diperhatikan. Masing-masing sumber interupsi dapat diaktifkan dan dimatiakan secara individual atau me-nol-kan bit-bit IE (*interrupt Enable*) dalam SFR. Register IE ini juga mengandung sebuah bit untuk aktivasi interupsi secara global, yang dapat digunakan untuk mengaktifkan dan mematikan interupsi secara keseluruhan.



**Gambar 2-6.** Register IE pada mikrokontroler AT89S52  
Sumber : [Datasheet mikrokontroller AT89S52](#)

**Tabel 2-4.** Register IE pada mikrokontroler AT89S52

Simbol	Posisi	Fungsi
EA	IE.7	Untuk menghidupkan (IE=1) dan mematikan (IE=0)
-	IE.6	Cadangan
-	IE.5	Cadangan
ES	IE.4	Bit interupsi port serial
ET1	IE.3	Bit interupsi timer 1 overflow
EX1	IE.2	Bit interupsi eksternal 1
ET0	IE.1	Bit interupsi timer 0 overflow
EX0	IE.0	Bit interupsi eksternal 0

Sumber : [Datasheet mikrokontroller AT89S52](#)

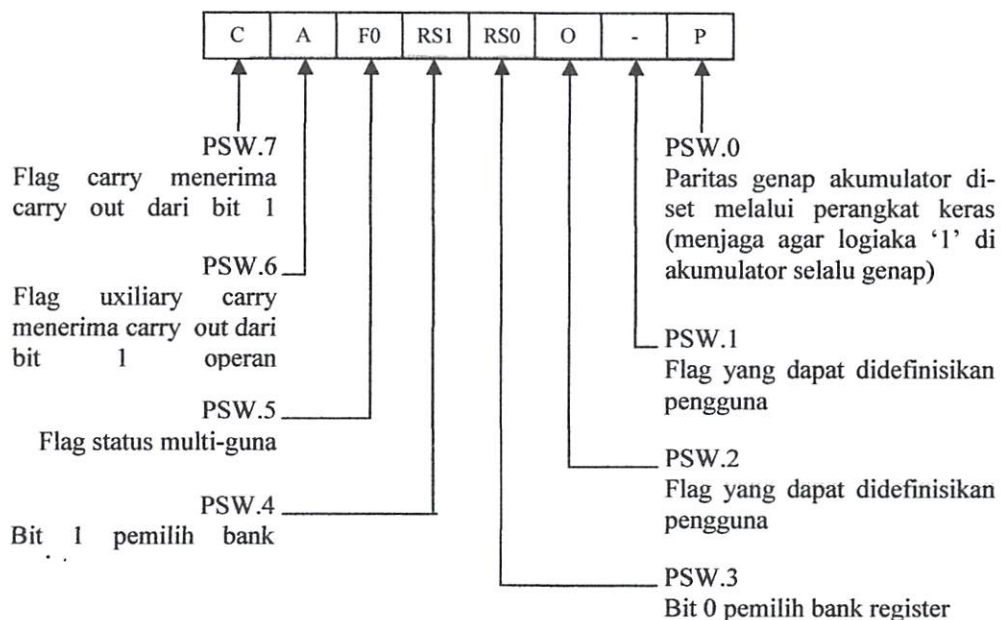
- Register TMOD (*Timer Mode*) digunakan untuk mengatur mode kerja timer. Dengan mengatur mode kerja timer untuk diatur menjadi timer 16-bit, timer13-bit, atau timer 8-bit. Selain itu register ini juga dapat mengatur agar

proses pencacah timer dapat dikendalikan melalui sinyal dari luar mikrokontroler.

- Register TCON (*Timer Control*) digunakan untuk memulai atau menghentikan proses pencacah timer, mengatur sinyal interupsi dari INT0 atau INT1.
- Register SCON (*Serial Control*) digunakan untuk mengatur perilaku dari UART yang diantaranya memantau proses pengiriman dan penerimaan data seri.
- Register PCON (*Power Control*) digunakan untuk mengatur pemakaian daya pada IC.

#### 2.2.3.6. Program Status Word

Register *Program Status Word* (PSW) menempati lokasi D0H ini berisi informasi status program yang mana masing-masing bit menunjukkan kondisi *Central Processing Unit* (CPU) setelah operasi dijalankan. Terdiri atas beberapa bit sebagai berikut:



Gambar 2-7. Register PSW dalam mikrokontroler AT89S52

Sumber : [Datasheet mikrokontroller AT89S52](#)

#### **2.2.3.7. Stack Pointer**

Register *Stack Pointer* (SP) menempati lokasi 81H merupakan register 8-bit yang terletak pada alamat 81H yang mempunyai fungsi untuk menyimpan data pada saat terjadi interrupt.

#### **2.2.3.8. Data Pointer**

Register *Data Pointer* (DPTR) merupakan register 16-bit atau sebagai dua register 8-bit yang terpisah yaitu data pointer high byte (DPH) dan data pointer low byte (DPL) yang masing-masing menempati lokasi 83H dan 82H.

#### **2.2.3.9. Serial Data Buffer**

*Serial Data Buffer* (SBUF) terletak pada lokasi 99H yang dibagi menjadi dua register terpisah, yaitu penyangga pengirim atau *transmit buffer* dan penerima atau *receive buffer*. Pada saat data disalin ke SBUF, maka data sesungguhnya dikirim ke penyangga pengirim dan sekaligus mengawali transmisi data serial. Sedangkan pada saat data disalin dari SBUF, maka sebenarnya data tersebut berasal dari penyangga penerima.

### **2.2.4. Mode Pengalamatan**

Data atau operan bisa berada ditempat yang berbeda sehingga dikenal beberapa cara untuk mengakses data tersebut yang dinamakan sebagai mode pengalamatan (*addressing mode*).

#### **1. Pengalamatan langsung (*Direct Addressing*)**

Dalam pengalamatan langsung, operan-operan ditentukan berdasarkan alamat 8-bit dalam suatu instruksi. Hanya RAM data internal dan SFR yang bisa diakses secara langsung.

## **2. Pengalamatan tak langsung (*Indirect Addressing*)**

Dalam pengalamatan tak langsung, instruksi menentukan suatu register yang digunakan untuk menyimpan alamat operan. Baik RAM internal maupun eksternal dapat diakses secara tak langsung.

Register alamat untuk alamat-alamat 8-bit bisa menggunakan *stack pointer* atau R0 atau R1 dari bank register yang dipilih. Sedangkan untuk alamat 16-bit hanya bisa menggunakan register pointer 16-bit atau DPTR.

## **3. Instruksi-instruksi register**

Bank-bank register yang masing-masing R0 hingga R7 atau 8 register dapat diakses melalui instruksi yang OP-kodenya mengandung 3-bit spesifikasi register (000 untuk R0, 001 untuk R1 hingga 111 untuk R7). Pengaksesan register dengan cara demikian bisa menghemat penggunaan kode instruksi, karena tidak memerlukan sebuah byte untuk alamat. Saat instruksi tersebut dijalankan satu dari delapan register pada bank yang terpilih yang diakses.

## **4. Instruksi-instruksi register khusus**

Beberapa instruksi hanya dikhkususkan untuk suatu register tertentu. Misalnya suatu instruksi yang hanya bekerja pada akumulator saja, sehingga tidak memerlukan alamat byte untuk menunjuk ke akumulator tersebut. Dalam hal ini op-kodenya sendiri telah mengandung penunjuk ke register yang benar. Instruksi yang mengacu akumulator sebagai A akan dikodekan dengan op-kode spesifik akumulator.

## **5. Konstanta langsung (*Immediate Constants*)**

Nilai dari suatu konstanta dapat segera menyatu dengan op-kode dalam memori program. Misalnya instruksi : MOV A,#100, yang akan menyimpan

konstanta 100 (desimal) ke dalam akumulator. Bilangan yang sama tersebut bisa juga dituliskan dengan format heksa sebagai 64H.

## 6. Pengalamatan terindeks (*Indexed Addressing*)

Memori program hanya dapat diakses melalui pengalamatan terindeks. Mode pengalamatan ini ditunjukan untuk membaca tabel (look-up tables) yang tersimpan dalam memori program. Sebuah register dasar 16-bit menunjuk ke awal atau dasar tabel dan akumulator di-set dengan angka indek tabel yang akan diakses. Alamat dari entri tabel dalam memori program dibentuk dengan menjumlahkan data akumulator dengan penunjuk awal tabel.

Type lain dari pengalamatan terindeks digunakan dalam interuksi-interuksi “lompat bersyarat”. Dalam hal ini alamat tujuan dari interuksi lompat (*jump*) dihitung sebagai jumlah penunjuk dasar (*base pointer*) dengan data akumulator.

### 2.2.5. Set instruksi

Secara keseluruhan MCS51 mempunyai 255 macam instruksi, yang dibentuk dengan mengkombinasikan dan operan. Instruksi tersebut dikelompokkan menjadi berikut :

#### 1. Kelompok penyalin data

Instruksi dasar untuk kelompok ini adalah MOV, singkatan dari move yang artinya memindahkan, meskipun demikian lebih tepat dikatakan instruksi ini mempunyai arti menyalin data. Misalnya, instruksi-instruksi berikut ini :

MOV A, 20H ; salin isi lokasi memori 20H ke akumulator A

MOV A, @R1 ; salin isi lokasi yang ditunjuk R1 ke A

MOV A, P1 ; salin isi latch port 1 ke A

MOV P3, A ; salin isi A ke latch port 3

Untuk pemakaian pada memori program , instruksi ini ditulis menjadi MOVC, hanya ada 2 jenis instruksi yang menggunakanya yaitu :

MOVC A, @A+DPTR ; DPTR sebagai register tak langsung

MOVC A, @ A+PC ; PC sebagai register tak langsung

Selain itu masih dikenal pula instruksi MOVX yang digunakan untuk mengakses memori data eksternal. Hanya ada 6 macam instruksi yang memakai MOVX, antara lain :

MOVX A,@DPTR ; salin data eksternal pada lokasi DPTR ke A

MOVX A,@R0 ; salin data eksternal pada lokasi R0 ke A

MOVX A,@R1 ; salin data eksternal pada lokasi R1 ke A

MOVX @DPTR, A ; salin data eksternal dari A ke lokasi DPTR

MOVX @R0, A ; salin data eksternal dari A ke lokasi R0

MOVX @R1,A ; salin data eksternal dari A ke lokasi R1

## 2. Kelompok instruksi aritmatik

Instruksi-instruksi dalam aritmatik ini selalu melibatkan akumulator, hanya beberapa yang juga melibatkan register lainnya. Instruksi yang termasuk dalam kelompok ini, antara lain :

### A. Instruksi ADD dan ADDC

Isi akumulator A ditambahkan dengan suatu bilangan (1 byte), maka hasil penjumlahannya akan ditampung kembali dalam akumulator. Dalam operasi ini bit *Carry* berfungsi sebagai penampung limpahan hasil penjumlahan. Jika hasil penjumlahan tersebut melimpah maka bit *Carry* akan bernilai ‘1’ jika tidak *Carry* akan selalu bernilai ‘0’.

## B. Instruksi SUBB

Isi akumulator dikurangi dengan bilangan (1 byte) beserta dengan nilai bit *Carry*, hasil pengurangan akan ditampung kembali dalam akumulator. Dalam hal ini bit *Carry* juga berfungsi sebagai penampung limpahan dari hasil pengurangan. Jika hasil pengurangan tersebut melimpah maka bit *Carry* akan bernilai ‘1’ jika tidak akan bernilai ‘0’.

## C. Instruksi DA A

Instruksi DA A (*Decimal Adjust*) dipakai setelah instruksi ADD, ADDC atau SUBB, digunakan untuk merubah nilai biner8-bit yang tersimpan dalam akumulator menjadi 2 digit bilangan dalam format BCD (*Binary Code Decimal*).

## D. Instruksi MUL AB

Bilangan biner 8-bit dalam akumulator A dikalikan dengan bilangan biner 8-bit dalam register B. Hasil perkalian berupa bilangan biner 16-bit, 8-bit bilangan biner yang bagian atas (*high byte*) disimpan di register B. Sedangkan 8-bit lainnya (*low byte*) disimpan di akumulator A.

## E. Instruksi DIV AB

Bilangan biner 8-bit dalam akumulator A dibagi dengan bilangan biner 8-bit dalam register B. Hasil perkalian berupa bilangan biner 16-bit, 8-bit bilangan biner yang bagian atas (*high byte*) disimpan di register B. Sedangkan 8-bit lainnya (*low byte*) disimpan di akumulator A.

## F. Instruksi DEC dan INC

Intruksi DEC digunakan untuk menurunkan satu nilai (1 byte). Jika nilai awal adalah 00H, maka setelah dilaksanakan instruksi ini hasilnya adalah FFh. Tidak ada flag yang terpengaruh. Sedangkan instruksi INC digunakan untuk

menaikkan nilai (1 byte). Jika nilai awalnya adalah FFH maka setelah dilaksanakan instruksi ini menjadi 00H.

#### G. Instruksi INC DPTR

Instruksi penaikan (*increment*) yang bekerja pada data 16-bit yaitu DPTR. Yaitu menaikkan penunjuk data sebesar 1. suatu limpahan dari byte rendah (*low order*) dari DPTR atau DPL akan menaikkan byte tinggi (*high order*) yaitu yang tersimpan dalam DPH sebesar 1.

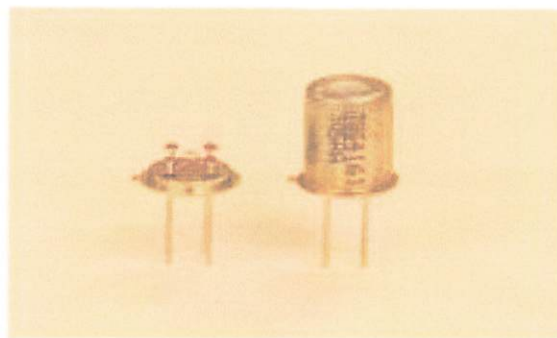
### 3. Kelompok instruksi logika

Kelompok instruksi ini dipakai untuk melakukan operasi logika, yaitu operasi AND (instruksi ANL), operasi OR (Instrukai ORL), operasi exlusive OR (instruksi XRL), operasi clear (instruksi CLR), instruksi negasi atau komplemen (instruksi CPL), operasi pergeseran kanan atau kiri (instruksi RR, RRC, RL dan RLC) serta operasi pertukaran data (instruksi SWAP).

#### 2.3 Sensor Gas Karbon Dioksida (*TGS 4161*)

Sensor yang digunakan untuk mendeteksi *karbon dioksida* adalah *TGS 4161*. Sensor ini dapat mendeteksi karbon dioksida dari *350-8.000 ppm* dalam udara sehingga sensor ini sangat sensitif sekali dan sangat mendukung untuk mendeteksi karbon dioksida di dalam ruangan.

Sensor ini menggunakan unsur *solid elektrolid* yang dibentuk diantara dua *electrodes* yang kemudian bersamaan dicetak *heater (RuO<sub>2</sub>) substrate*. Dengan perubahan pada *electromotive force (EMF)* yang dihasilkan dua *electrodes* memungkinkan untuk mengukur konsentrasi gas *karbon dioksida*.



**Gambar 2-8.** Sensor TGS 4161 / Sensor CO<sub>2</sub>  
Sumber : [Datasheet TGS 4161](#)

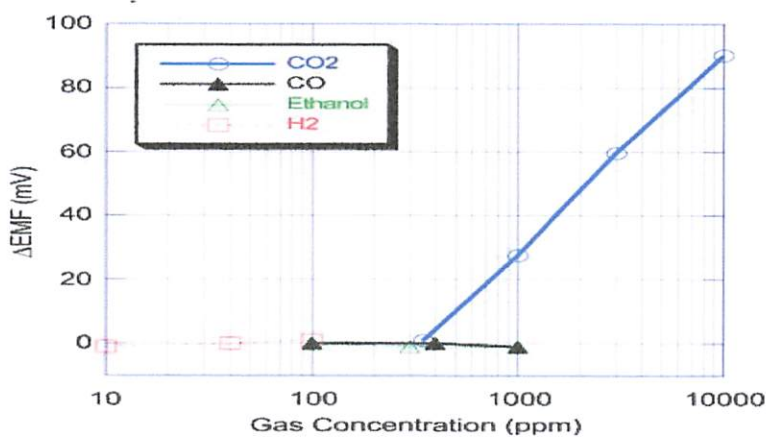
Grafik di bawah ini merupakan ciri khas dari sensitivitas sensor. *Y-axis* yang diindikasikan  $\Delta EMF$  yang didefinisikan sebagai berikut :

$$\Delta EMF = EMF_1 - EMF_2$$

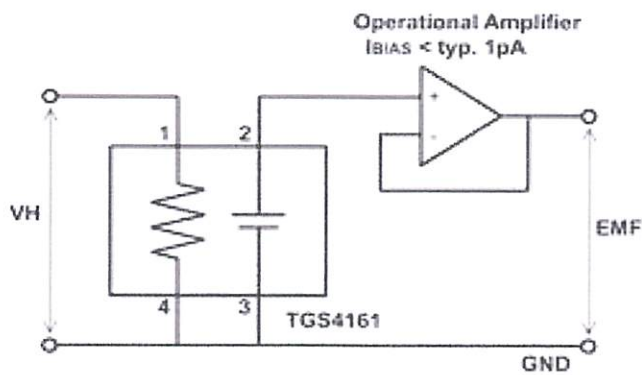
dimana

$$EMF_1 = EMF \text{ di } 350 \text{ ppm } CO_2$$

$$EMF_2 = EMF \text{ gas yang terdapat dalam konsentrasi}$$



**Grafik 2-1.** Sensitivity characteristics TGS 4161  
Sumber : [Datasheet TGS 4161](#)



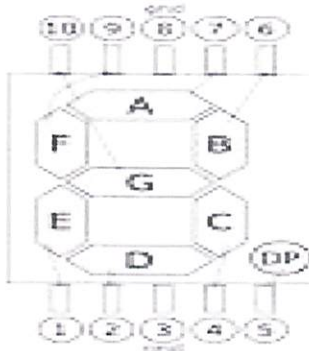
**Gambar 2-9.** Basic measuring circuit

Sumber : [Datasheet TGS 4161](#)

Sensor membutuhkan masukan *heater voltage* ( $V_H$ ). *Heater voltage* adalah aplikasi yang terintegrasi pada heater yang berfungsi untuk mempertahankan deteksi secara spesifik pada suhu,yang dimana optimal untuk mendeteksi. *Electromotive Force* ( $EMF$ ) sensor harus diukur dengan menggunakan impedansi tinggi ( $>100G\Omega$ ) *Op-Amp* dengan *current bias*  $< 1 pA$ . Sensor ini menggunakan bahan electrolyte yang membuat sensor ini berfungsi seperti baterai.

## 2.4 Display 7 segmen.

Display 7 segmen merupakan display yang terbentuk oleh 7 buah LED (ditambah 1 LED untuk menampilkan titik) yang dirangkai untuk menampilkan bilangan heksadesimal. Kedelapan LED tersebut bias dirangkai membentuk rangkaian common anoda atau common katoda. Pada skripsi ini yang dipakai adalah 7 segmen common anoda karena jenis ini bias langsung dihubungkan dengan port mikrokontroller melalui sebuah transistor. Gambar 2.3 memperlihatkan konfigurasi segmen dan rangkaian ekuivalen 7 segmen jenis common anoda.



**Gambar 2-10.** Display 7 segmen

Sumber : [Teknik antarmuka + pemprograman mikrokontroller AT89S52, 2008](#)

Display 7 segmen, seperti ditunjukkan oleh gambar 2.3, terdiri atas segmen-semen yang diberi nama segmen A,B,C,D,E,F dan,G serta DP untuk menampilkan tanda titik. Dengan mengatur segmen-semen mana yang menyala, display 7 segmen bias menampilkan bilangan heksadesimal (0,1,2,3,...,A,B,C,D,E,F). Tabel 2.1 memperlihatkan segmen mana saja yang harus dinyalakan untuk menampilkan bilangan heksadesimal ini, ON berarti nyala dan OFF berarti mati.

**Tabel 2-5** Display 7 segmen

Angka	Segmen						
	A	B	C	D	E	F	G
0	ON	ON	ON	ON	ON	ON	ON
1		ON	ON				
2	ON	ON		ON	ON		ON
3	ON	ON	ON	ON			ON
4		ON	ON			ON	ON
5	ON		ON	ON		ON	ON
6	ON		ON	ON	ON	ON	ON
7	ON	ON	ON				
8	ON	ON	ON	ON	ON	ON	ON
9	ON	ON	ON	ON		ON	ON
A	ON	ON	ON		ON	ON	ON
D			ON	ON	ON	ON	ON
C	ON			ON	ON	ON	
D		ON	ON	ON	ON		ON
E	ON			ON	ON	ON	ON
F	ON				ON	ON	ON

Sumber : [Teknik antarmuka + pemprograman mikrokontroller AT89S52, 2008](#)

## 2.5 Display Dot Matriks.

Tampilan matriks titik (*dot matriks*) terdiri dari sejumlah LED yang disusun pada baris dan kolom. Susunan yang terdapat dipasaran adalah matriks 5x7 titik, 5x8 titik, 16x16 titik dan masih banyak lagi. Pada tampilan ini yang digunakan adalah tampilan 5x7 titik, seperti digambarkan dalam gambar 2.9 dibawah ini.



**Gambar 2-11..** Display dot matriks 5x7 titik.

Sumber [Teknik antarmuka + pemrograman mikrokontroller AT89S52, 2008](#)

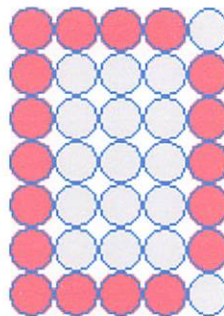
Matrik 5x7 titik mampu menyajikan karakter alfanumerik yang lengkap. Proses pembangkitan karakter antara lain melibatkan proses *scanning* baris atau kolom, memilih LED yang tepat pada baris (kolom), dan menyalakannya. Proses ini diulang untuk baris atau kolom berikutnya. Setelah semua baris atau kolom yang dipilih dengan urutan tertentu, proses diatas diulang mulai dari baris paling atas atau kolom pertama.

Jika frekuensi *scanning*nya cukup cepat (sekitar 100Hz), maka akan didapatkan karakter bebas kedip. Jika matrik *discan* dari kiri kekanan, kolom demi kolom, disebut *vertical scanning*. Jika dilakukan baris demi baris, disebut *horizontal scanning*.

### 2.5.1 Dekode matriks LED

Untuk menyalakan angka decimal dengan pembacaan matriks titik, LED yang dibutuhkan tidak dinyalakan serentak. Biasanya LED diaktifkan baris demi baris secara cepat. Sebagai contoh pada gambar 2.10 dimulai dengan mentanahkan

(ground) baris pertama dan memasang tegangan pada kolom vertical yang sesuai. Setelah suatu perangkat singkat, baris kedua digroundkan dan tegangan dipasang pada kolom-kolom tertentu, hal ini akan dilanjutkan pada baris-baris berikutnya dan akan diulang lagi. Bila proses ini diulang secara cepat, suatu alfanumerik akan tertampil tanpa kedipan.



**Gambar 2-12.** Dekode LED matriks dalam tampilan karakter.

Sumber : [Teknik antarmuka + pemrograman mikrokontroller AT89S52](#), 2008

Rangkaian yang menjalankan matriks LED cukup rumit karena harus melakukan proses *scanning* baris-baris horizontal dan pada saat yang sama memasang tegangan pada kolom yang sesuai. Secara umum pencacahan lingkar (*ring counter*) melakukan *scan* pada baris horizontal, sedangkan memori berisi data kolom LED yang menyala memberikan tegangan pada kolom-kolom vertical.

## 2.6. Shift register 8 bit IC 74HCT164.

IC 74HCT164 merupakan *shift register* dengan input-input serial yang mana mempunyai susunan output yang pararel pada setiap tingkatnya. *Shift register* 8 bit ini digunakan untuk proses *scan* data kolom pada LED dot matriks. Keluaran dari tiap-tiap pin dihubungkan ketiap-tiap kolom dot matriks. Untuk konfigurasi dari kaki-kaki IC 74HCT164 dapat diliat pada gambar 2.11.



**Gambar 2-13.** IC 74HCT164  
Sumber : Datasheet 74HCT164

**Tabel 2-6.** Pin-pin IC 74HCT164

Simbol	Pin	Diskripsi
DSA	1	Data input
DSB	2	Data input
Q0	3	Output
Q1	4	Output
Q2	5	Output
Q3	6	Output
GND	7	Ground
CP	8	Clock (low to high)
MR	9	Reset
Q4	10	Output
Q5	11	Output
Q6	12	Output
Q7	13	Output
VCC	14	Tegangan supplay

Sumber : Datasheet 74HCT164

## 2.7. RTC (Real Time Clock) DS1307

*Real Time clock* (RTC) merupakan alat pencatat sekaligus pemberi informasi waktu, RTC yang kami gunakan disini merupakan RTC serial tipe DS1307. Chip DS1307 buatan *Dallas semiconductor* merupakan alat pencatat waktu yang baik, dalam chip itu tersimpan batteray *Litium* sehingga pencatatan waktu tidak terhenti jika catu daya alat pemakaian terhenti dan proses dapat mengambil kapanpun hasil kerjanya tanpa harus mengatur. Waktu dicatat mulai dari detik, menit, jam, hari, bulan, tahun bahkan sampai abad, dan penanggalannya dirancang bisa bekerja tanpa salah sampai tahun 2099. Pencatatan jam bisa dilakukan dalam format 24 jam perhari atau 12 jam AM/PM.

DS1307 memiliki built-in yang berfungsi sebagai sirkuit yang mendeteksi gangguan listrik dan secara otomatis beralih ke baterai pasokan. Karakteristik dari DS1307 adalah sebagai berikut :

1. RTC menyimpan data-data detik, menit, jam, tanggal, bulan, hari dalam seminggu, dan tahun valid hingga 2100.
2. 56-byte, baterai cadangan, RAM nonvolatile (NV) RAM untuk penyimpanan.
3. Antarmuka serial *two-wire*(I<sub>2</sub>C).
4. Sinyal keluaran berupa gelombang kotak terprogram (*programmable squarewave*).
5. Deteksi otomatis kegagalan daya (*power-fail*) dan rangkaian switch.
6. Konsumsi daya kurang dari 500nA menggunakan mode baterai cadangan dengan operasional osilator.
7. Tersedia fitur industry dengan ketahanan suhu: -40°C hingga +85°C.
8. Tersedia dalam kemasa 8-pin DIP atau SOIC.

### 2.7.1. Fungsi kaki-kaki (pin) RTC DS1307 :

1. SCL (*Serial Clock Input*).

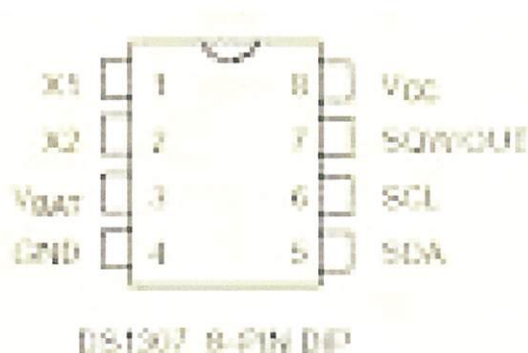
SCL digunakan untuk singkronisasi pertukaran data pada *serial interface*.

2. SDA (*Serial Data Input/Output*)

SDA merupakan pin input/output untuk 2 kabel serial *interface*.

3. SQW/OUT (*Square Wave/Output Driver*)

Ketika *enable*, SQWE diset ke "1". SQW/OUT akan berfungsi ketika diberi tegangan Vcc atau Vbat. SQW/OUT ini juga membutuhkan resistor *pull-up eksternal*. Berikut ini adalah gambar kaki-kaki RTC DS1307 :



Gambar 2-14. pin-pin RTC DS1307

Sumber : [www.dalsemi.com](http://www.dalsemi.com)

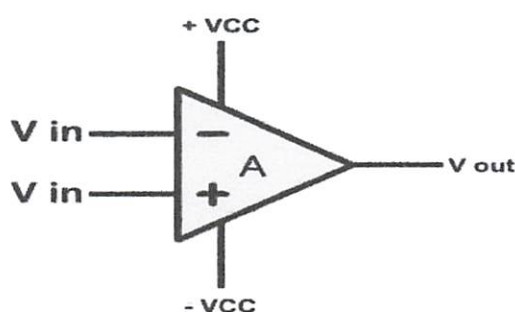
### 2.7.2. Cara kerja RTC DS1307.

DS1307 bekerja sebagai *slave* pada serial bus. Akses yang ada pada saat ada kondisi START dan tersedia identifikasi yang ada pada register alamat. Selanjutnya register-register dapat diakses secara berurutan sampai suatu kondisi STOP terjadi.

Saat Vcc lebih kecil dari  $1,25 \times V_{bat}$ , DS1307 akan mengakhiri suatu akses yang sedang terjadi dan *mereset address counter*. Input yang masuk tidak akan diakses untuk mencegah kesalahan penulisan data. Saat Vcc lebih kecil dari  $V_{bat}$ , DS1307 akan *switch* ke mode baterai arus rendah. Ketika *power-up* DS1307 akan *switch* dari baterai ke Vcc saat Vcc lebih besar dari  $V_{bat}+0,2V$  dan akan mengakses input yang masuk ketika Vcc lebih besar  $1,25 \times V_{bat}$ .

## 2.8. Pengkondisi sinyal

Di dalam sistem kontrol sering kali keluaran dari sensor nilainya tidak sesuai yang diharapkan yaitu nilainya mudah untuk diolah. Oleh karena itu perlu adanya pengolah sinyal agar sinyal keluaran dari sensor dapat kita olah terlebih dahulu agar keluarannya seperti yang diharapkan. Penguat operasional atau sering disebut *op-amp* (*operasional amplifier*) merupakan komponen elektronika yang berfungsi untuk memperkuat sinyal arus searah (*DC*) maupun arus bolak-balik (*AC*). Pada prinsipnya penguat operasional hanya bekerja sebagai penguat sinyal bukan penguat daya. Penguat operasional terdiri atas transistor, resistor dan kapasitor yang dirangkai dan dikemas dalam rangkaian terpadu (*integrated circuit*). Simbol *op-amp* ditunjukkan pada gambar di bawah ini.  $V_{in}$  merupakan masukan sinyal,  $V_{out}$  keluaran sinyal,  $A$  besar penguatan dan  $VCC$  sumber tegangan.



Gambar 2-15. Simbol Op-Amp

Sumber : <http://franzaditya.blogspot.com/2009/02/penguat-operasional-op-amp.html>

Karakteristik *op-amp* ideal adalah kondisi *op-amp* sesuai dengan teori. Karakteristik *op-amp* ideal adalah sebagai berikut:

1. Faktor penguat tidak terhingga.
2. Tidak memiliki *offset*, maksudnya adalah apabila masukan nol maka keluaran juga nol.
3. *Impedansi* masukan tidak terhingga.
4. *Impedansi* keluaran nol.
5. Lebar *bandwidth* tidak terhingga.
6. *Rise time* nol.
7. Tidak mudah terpengaruh oleh perubahan tegangan sumber maupun perubahan suhu.

Pada kenyataannya dalam pembuatan *op-amp* memiliki keterbatasan sehingga tidak ada *op-amp* yang ideal. *Op-amp* yang ada hanyalah *op-amp* yang mendekati ideal karena karakteristik *op-amp* adalah sebagai berikut :

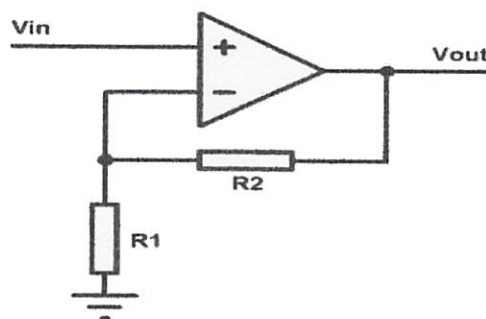
1. Faktor penguat terbatas kurang lebih 100.000 kali
2. Terdapat *offset* dimana saat masukan bernilai nol tegangan keluaran tidak nol.
3. *Impedansi* masukan cukup tinggi namun terbatas sampai kira-kira ratusan kilo *ohm* saja.
4. *Impedansi* keluaran rendah namun terbatas puluhan sampai ratusan *ohm*.
5. *Rise time* tidak nol.
6. Kerja *op-amp* terpengaruh perubahan sumber tegangan dan perubahan pada suhu.

Dalam penggunaannya *op-amp* dibagi menjadi dua jenis yaitu penguat linier dan penguat tidak linier. Penguat linier merupakan penguat yang tetap mempertahankan bentuk sinyal masukan, yang termasuk dalam penguat ini antara lain penguat *non inverting*, penguat *inverting*, penjumlah, penguat *diferensial* dan penguat *instrumentasi*. Sedangkan penguat tidak linier merupakan penguat yang bentuk sinyal keluarannya tidak sama dengan bentuk sinyal masukannya, diantaranya *komparator*, *integrator*, *diferensiator*, pengubah bentuk gelombang dan pembangkit gelombang. Untuk menangani penguatan dari sensor biasanya digunakan penguat linier yang tidak mengubah bentuk sinyal namun hanya memperkuat sinyal saja.

### 2.8.1 Penguat Non Inverting

Merupakan penguat yang berfungsi memperkuat sinyal masukan tanpa membalik sinyal masukan. Rangkaian penguat dan rumusnya adalah sebagai berikut:

$$V_{out} = \left( \frac{R_2}{R_1} + 1 \right) \cdot V_{in}$$



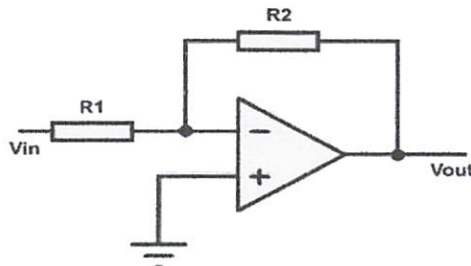
**Gambar 2-16.** Rangkaian Penguat Non Inverting

Sumber : <http://franzaditya.blogspot.com/2009/02/penguat-operasional-op-amp.html>

### 2.8.2 Penguat Inverting

Rangkaian penguat ini berfungsi untuk memperkuat sinyal masukan dan menggeser sinyal keluaran sebesar  $180^{\circ}$  sehingga masukan yang positif akan

menghasilkan keluaran negatif, demikian juga dengan masukan negatif akan menghasilkan keluaran positif. rangkaian dan rumusnya adalah sebagai berikut:



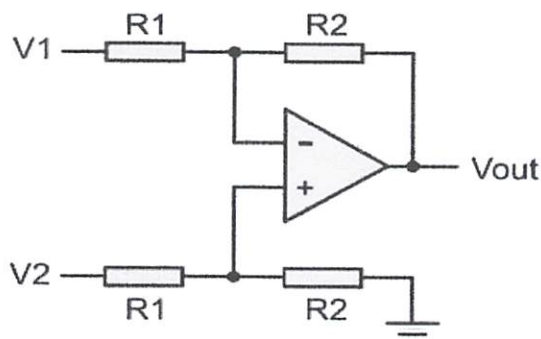
**Gambar 2-17.** Rangkaian Penguat Inverting

Sumber : <http://franzaditya.blogspot.com/2009/02/penguat-operasional-op-amp.html>

### 2.8.3 Penguat Diferensial

Penguat ini mampu memperkuat sinyal kecil yang berada dalam sinyal yang jauh lebih besar. Keluaran dari penguat ini sebanding dengan perbedaan tegangan kedua masukannya. Rangkaian penguat ini digambarkan dan dirumuskan sebagai berikut:

$$V_{out} = \left( \frac{R2}{R1} \right) \cdot (V2 - V1)$$



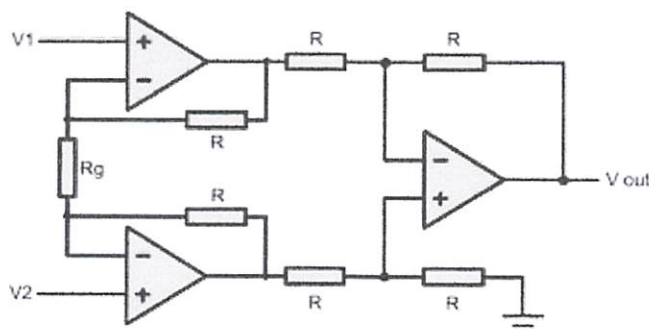
**Gambar 2-18..** Rangkaian Penguat Diferensial

Sumber : <http://franzaditya.blogspot.com/2009/02/penguat-operasional-op-amp.html>

#### 2.8.4 Penguat Instrumentasi

Penguat ini merupakan penguat serba guna dan bermanfaat yang terdiri atas tiga op-amp dan tujuh buah tahanan. Rangkaian ini tersusun atas rangkaian penguat differensial dan penguat penyanga. Untuk mengatur penguatan yang diinginkan diatur dengan mengubah-ubah nilai  $R_g$ . Rumusan dan gambar dari penguat *instrumentasi* adalah sebagai berikut :

$$V_{out} = (v_2 - v_1) \cdot \left( 1 + \left( \frac{2 \cdot R_1}{R_g} \right) \right)$$



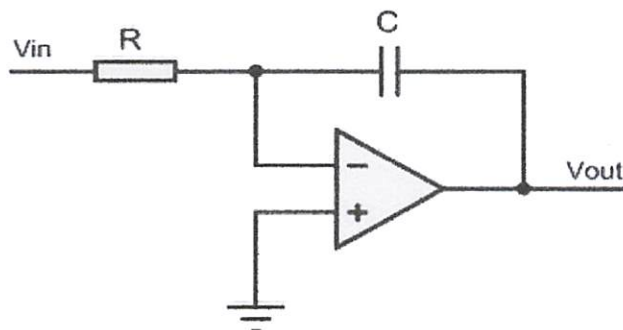
Gambar 2-19.. Rangkaian Penguat Instrumentasi

Sumber : <http://franzaditya.blogspot.com/2009/02/penguat-operasional-op-amp.html>

#### 2.8.5 Integrator

Merupakan penguat tidak linier yang berfungsi sebagai operator integrasi secara matematik, keluaran dari rangkaian ini menghasilkan tegangan keluaran yang sebanding dengan integrasi masukannya. Rangkaian dan rumus dari *integrator* dapat dilihat di bawah ini:

$$V_{out} = \frac{1}{R \cdot C} \cdot \int V_{in} \cdot dt$$



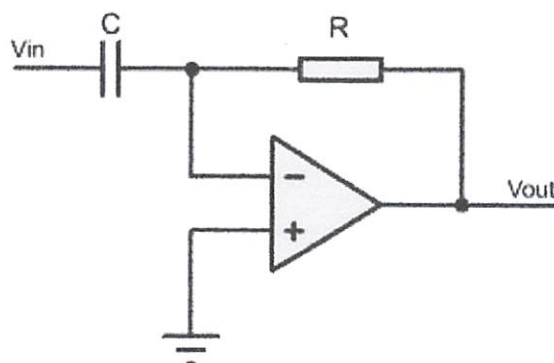
**Gambar 2-20.** Rangkaian Integrator

Sumber : <http://franzaditya.blogspot.com/2009/02/penguat-operasional-op-amp.html>

### 2.8.6 Diferensiator

Penguat *diferensiator* ini menyediakan operasi matematik dan menghasilkan tegangan keluaran yang sebanding dengan kemiringan tegangan masukannya. Biasanya rangkaian ini digunakan untuk menghasilkan keluaran persegi dari masukan lereng.

$$V_{out} = R \cdot C \cdot \frac{d(V_{in})}{dt}$$

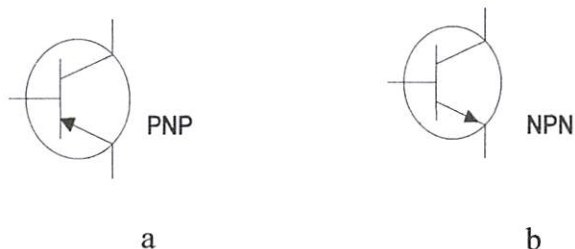


**Gambar 2-21.** Rangkaian Diferensiator

Sumber : <http://franzaditya.blogspot.com/2009/02/penguat-operasional-op-amp.html>

## 2.9 Transistor

Transistor merupakan salah satu semi konduktor yang dapat dipergunakan untuk perataan arus, menahan sebagian arus, menguatkan arus, membangkitkan frekwensi rendah maupun frekwensi tinggi. Transistor di buat dari bahan semikonduktor, yaitu silikon dan germanium. Transistor yang banyak di gunakan dalam teknik elektronika antara lain transistor PNP ( positive-Negative-Positive) dan transistor NPN ( Negative-Positive-Negative ).

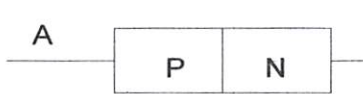


**Gambar 2-22.** a. Transistor PNP      b. Transistor NPN  
Sumber : [Teknik dasar-dasar elektronika, 1983](#)

## 2.10 Dioda

Dioda semikonduktor adalah komponen elektronika yang terdiri atas pertemuan tipe P dan semikonduktor N ( P – N junction ). Elektroda yang di hubungkan dengan tipe P disebut anoda, sedangkan yang dihubungkan dengan tipe N disebut katoda.

Dioda dapat berfungsi sebagai saklar elektronik karena dioda hanya akan melewatkkan arus dalam satu arah saja dan simbol dioda pada gambar berikut :  
Anoda ( A ) dan Katoda ( K )



a



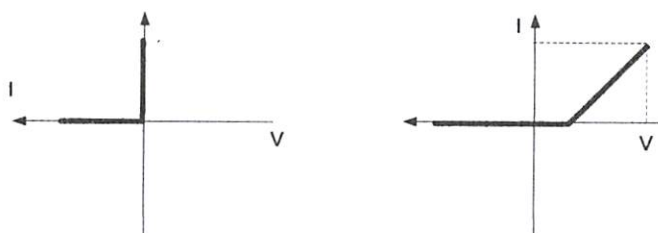
b

**Gambar 2-23 a kontrolksi Dioda**

Sumber : [Teknik dasar-dasar elektronika, 1983](#)

**Gambar 2.23 b syimbol dioda**

Dioda akan mengalirkan arus ( terjadi konduksi ) bila diberi bias maju, yaitu anoda mendapatkan tegangan positif dan katoda mendapat tegangan negatif, sebaliknya jika diberi reverse bias, maka dioda akan mempuanyai resistansi tinggi, artinya dioda tidak mengalami konduksi. Karena dioda dapat dipergunakan sebagai saklar elektronik mestinya pada saat dioda diberi bias maju akan terjadi aliran arus ( saklar tertutup ) dan apabila diberi bias mundur, maka dioda seperti saklar yang terbuka. Keadaan konduksi dioda jika diberi tegangan maju sebesar 0,7V ( untuk jenis silikon dan 0,2V germanium ). Setelah mencapai tegangan ini ( Knee Voltage ), maka setiap kenaikan arus diikuti kenaikan tegangan, artinya dioda pada saat konduksi mempunyai resistansi tertentu.



**Gambar 2-24. a Kurva Dioda Ideal**

**Gambar 2.24 b Kurva Pendekatan**

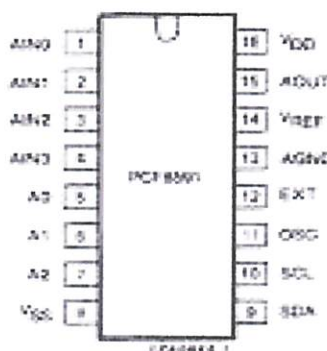
Sumber : [Teknik dasar-dasar elektronika, 1983](#)

## 2.11. ADC PCF 8591.

PCF 8591 merupakan chip tunggal buatan *Pilliph Semiconduktor*, mempunyai daya rendah sendiri. Data 8 bit CMOS dengan 4 analog input dan 1 analog output dan 1 bus serial I2C. Tiga alamat pin A0, A!, dan A2 digunakan untuk pemrograman alamat hardware, sehingga memungkinkan penggunaan hingga delapan perangkat yang terhubung ke I2C bus tanpa perangkat tambahan. Alamat, control dan data kedua dari perangkat ini akan di transfer secara serial memalui dua baris bidirectional I2C bus.

Fungsi perangkat input analog meliputi multiplek, 8 bit analog ke digital dan konversi 8 bit digital ke analog. Maksimum tingkat konversi yang diberikan sesuai dengan kecepatan maksimum I2C bus .Spesifikasi yang dimiliki ADC PCF8991 adalah:

1. Kompatibel penuh dengan 89C52.
2. Hanya perlu 2 jalur kabel untuk interface dengan mikrokontroller.
3. Analog input 4 channel 8 bit.
4. Analog output 1 channel 8 bit.
5. Input range tegangan 0 V – 2,5 V.
6. Spesifikasi ADDA PCF8591 adalah 10mV/bit.



**Gambar 2-25.** Pin-pin ADC PCF 8591  
Sumber : [Datasheet ADDA PCF8591](#).

### Diskripsi pin-pin PCF 8591 :

1. AIN0 : Analog input (A/D converter).
2. AIN1 : Analog input (A/D converter).
3. AIN2 : Analog input (A/D converter).
4. AIN3 : Analog input (A/D converter).
5. A0 : Alamat
6. A1 : Alamat
7. A2 : Alamat
8. Vss : Tegangan suplay negarif.
9. SDA : Data input/output dari bus I2c.
10. SCL : clock input dari bus I2C.
11. OSC : osilator.
12. EXT : Saklar eksternal/internal untuk osilator.
13. AGND : ground.
14. Vref : Tegangan masukan.
15. AOUT : output analog (D/A converter).
16. VDD : Tegangan suplay positif

## **2.12. HP Siemens.**

### **2.12.1. Pinout Hp Siemens.**

Untuk melekukan konesing peralatan lain seperti computer dengan mikrokontroller, pada hp Siemens terdapat pinout dengan susunan seperti yang ditunjukkan dalam table 2.10.1. berikut ini:

**Tabel 2-7.** Pinout hp Siemens

No	Nama	Fungsi	In/Out
1	GND	Ground	
2	SELF SERVICE	Recognition/control baterai	In
3	LOAD	Charging voltage	Out
4	BATERAI	Baterai	IN
5	DATA OUT	Data sent	Out
6	DATA IN	Data received	Out
7	Z_CLK	Recognition/control accessories	In
8	Z_DATA	Recognition/control accessories	
9	MICG	Ground for microphone	
10	MIC	Mikrophone input	In
11	AUD	Loadspeaker	
12	AUDG	Ground for eksternal speaker	Out

Sumber: [www.siemens.com](http://www.siemens.com)

### 2.12.2. Kabel data Siemens C45

Siemens serie C45 dilengkapi kabel data untuk melakukan komunikasi data secara serial dengan terminal lain. Kecepatan transfer data sebesar 19200. Untuk mengadakan komunikasi serial, pin-pin yang digunakan adalah :

**Tabel 2-8.** Kabel data Siemens

Nomor Pin	Nama	Fungsi
1	GND	Data ground
5	TMMS/DFMS – Terminal adaptor equipment from mobile station data mobile station.	Serial data out (out)
6	TTMS/DTMS – Terminal adaptor equipment to mobile ststion data to mobile ststion	Serial data in (Rx)

Sumber : [www.siemens.com](http://www.siemens.com)

#### **2.12.3. SMS (Short Message Service).**

Short Message Service adalah sebuah mekanisme pengiriman pesan singkat melalui jaringan bergerak (*mobile netwok*). Pesan yang dikirim oleh sebuah telephone seluler, ditampung di sentral SMS yang biasanya disebut SMSC (*Sort Message Service Centre*). Oleh SMSC pesan ini ditransmisikan ke telephone seluler yang dituju.

#### **2.12.4. PDU.**

Data yang mengalir kea tau dari SMS-Central harus berbentuk PDU. PD berisi bilangan-bilangan heksadesimal yang mencerminkan bahasa I/O. PDU terdiri dari beberapa *header*. *Header* untuk mengirim SMS ke SMS-Central berbeda dengan SMS yang diterima dari SMS-Central.

PUD untuk mengirim SMS terdiri atas 8 *header*, yaitu sebagai berikut :

1. Nomor SMS-Central.
2. Tipe SMS.

3. Nomor referensi SMS.
4. Nomor telephone penerima.
5. Bentuk SMS.
6. Skema enconding data I/O.
7. Jangka waktu, sebelum SMS expired.
8. Isi SMS.

Dengan *header* untuk SMS\_terima, adalah sebagai berikut :

1. Nomor SMS-Central.
2. Tipe SMS (untuk SMS\_terima : 4 atau 04 dalam heksadesimal).
3. Nomor ponsel pengirim.
4. Bentuk SMS.
5. Skema enconding.
6. Tanggal dan waktu SMS distamp di SMS-Central.
7. Batas waktu validasi, jika tidak dibatasi dilambangkan dengan 00.
8. Isi SMS.

### **BAB III**

### **PERANCANGAN DAN PEMBUATAN ALAT**

Perancangan alat yang dibuat dalam skripsi ini meliputi perencanaan perangkat keras dan perencanaan perangkat lunak. Komponen yang dipakai dalam perencanaan ini antara lain mikrokontroller AT89S52 sebagai kontrol utama, dengan komponen pendukung meliputi sensor gas karbon dioksida TGS 4161, RTC DS1307, pengkondisian sinyal, ADC PCF 8591, seven segmen dan dot matrik, dan siemen C45.

Cara kerja alat ini secara garis besar dapat dijelaskan sebagai berikut :

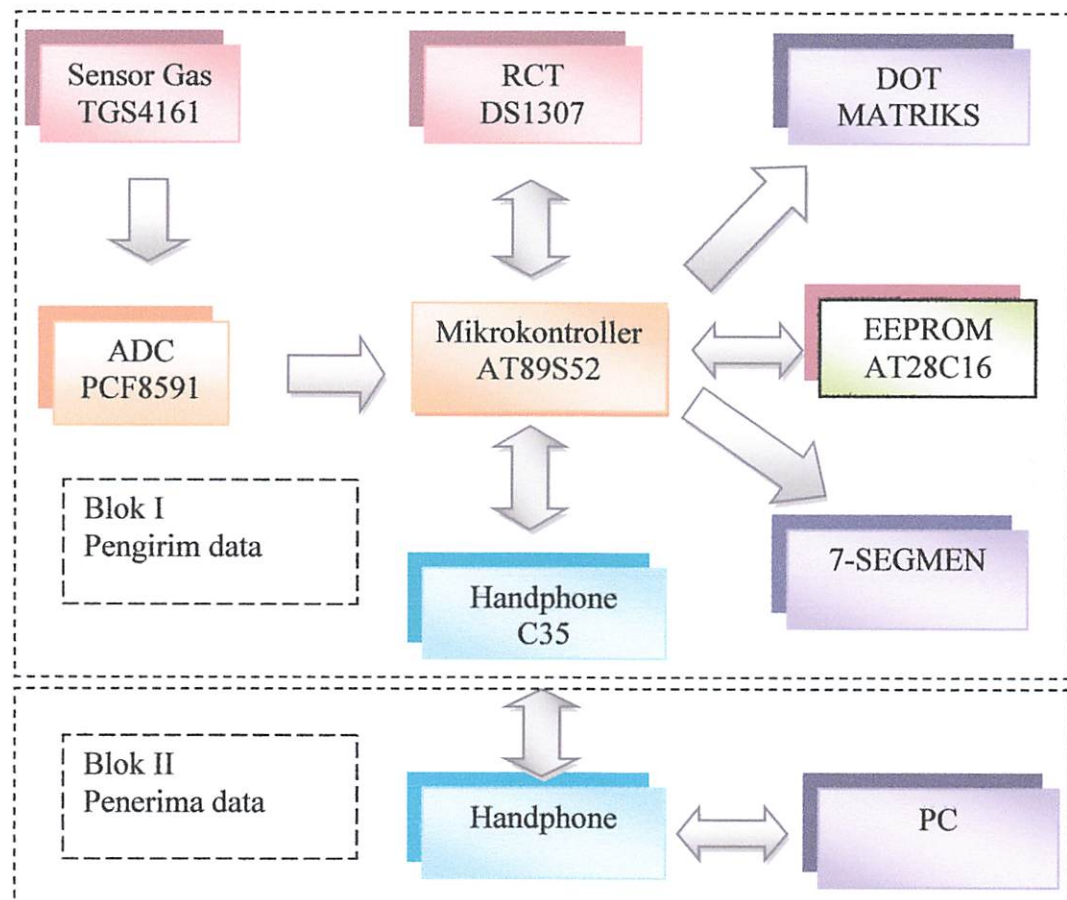
Sensor gas TGS4161 digunakan untuk mendeteksi gas beracun yang terkandung dalam udara yaitu karbon dioksida. Keluaran dari sensor tersebut masih berbentuk sinyal analog dan selanjutnya sinyal analog tersebut menjadi inputan ADC PCF 8591 sehingga keluaran dari ADC PCF 8591 berbentuk sinyal digital (biner) yang dapat diproses oleh mikrokontroller AT89S52. Sinyal digital keluaran dari ADC PCF8591 tersebut diolah oleh mikrokontroller AT89S52 melalui program *software* sehingga data olahan tersebut dapat ditampilkan di display dot matrik.

Sedangkan RTC digunakan untuk me-set jam dan tanggal digital secara otomatis yang langsung dihubungkan ke mikrokontroller AT89S52 dan diproses agar dapat ditampilkan pada display seven segmen.

Pada kedua alat tersebut, mikrokontroller AT89S52 tidak hanya memproses agar dapat ditampilkan pada display dot matrik dan seven segmen saja. Melainkan mikrokontroller AT89S52 juga akan memproses agar dapat dikirimkan ke internet melalui handphone siement C35 menggunakan cara SMS gate way.

### 3.1. Perancangan Sistem

Perencanaan alat pendeksi gas beracun karbon dioksidapada di jalan raya, dimana dikendalikan oleh mikrokontroller AT89S52 sebagai kendali utama dan menggunakan komponen lain sebagai komponen pendukung. Sebelum membuat perangkat keras terlebih dahulu direncanakan blok diagram yang akan dibuat, dan membahasnya sesuai dengan blok diagram. Disini kita hanya membahas sampai pengiriman data untuk inputan yang ada pada web yaitu pada diagram blok I yang diberi tanda putus-putus, sedangkan blok II yang sebagai penerima data tidak dibahas karena sudah dibahas oleh teman kelompok yang membahas tentang web. Adapun blok diagram yang direncanakan adalah sebagai berikut:



Gambar 3-1. Blok Diagram Perencanaan

Dari diagram blok di atas dapat dijelaskan sebagai berikut :

**1. Sensor CO<sub>2</sub> (TGS 4161)**

Mengubah besaran non elektris menjadi besaran elektris, dalam hal ini adalah gas karbon dioksida (CO<sub>2</sub>)

**2. Rangkaian pengkondisi sinyal (Op-Amp)**

Untuk mengkondisikan tegangan dari output sensor yang bervariasi agar dapat dibaca oleh ADC PCF8591

**3. ADC PCF8591**

Merubah atau mengkonversikan sinyal analog dari rangkaian pengkondisi sinyal menjadi sinyal digital

**4. Mikrokontroller AT89S52**

Digunakan sebagai penghitung dan pengolah data serta memprosesnya yang kemudian memberikan instruksi pada dot matriks dan seven segmen

**5. RTC DS1307**

Digunakan sebagai setting detik, menit, jam, hari, bulan, tahun secara digital.

**6. Dot matriks**

Akan menampilkan hasil dari proses mikrokontroller AT89S52 tentang kadar gas beracun karbon dioksida dalam udara.

**7. Seven segmen**

Untuk menampilkan jam dan tanggal secara digital.

**8. Siemen C35**

Untuk mengirimkan data dari mikrokontroller AT89S52 ke web internet.

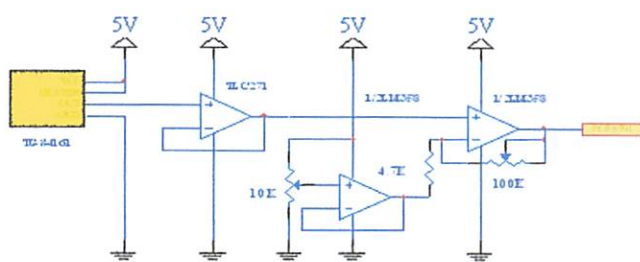
### 3.2. Prinsip Kerja

Pada saat pertama alat dinyalakan, alat akan meminta *inputan setting point* kadar gas beracun, inputan ini sebagai patokan atau batas. Setelah itu sensor karbon dioksida(TGS 4161) akan mendeteksi gas beracun (karbon dioksida), apakah kadar gas beracun yang berbahaya bagi kesehatan, maka mikrokontroller AT89S52 akan mengirimkan data ke dot matrik yang berfungsi sebagai display sehingga orang disekitar alat tersebut dapat melihat data tersebut apakah kadarnya ringan, sedang atau tinggi (berbahaya) kadar karbon dioksida dalam udara disekitar.

### 3.3. Perancangan Sensor

#### 3.3.1. Sensor Gas Karbon Dioksida (TGS 4161)

Sensor yang digunakan pada perancangan alat ini untuk medeteksi gas karbon dioksida adalah TGS 4164. Dalam kemampuan pendektsian gas kondktifitas sensor bertambah tergantung konsentrasi gas pada udara. Sebuah rangkaian listrik sederhana dapat mengkonversikan perubahan konduktivitas kedalam sebuah signal output yang sesuai dengan kosentrasi gas.



Gambar 3-2. Rangakaian skematik TGS 4161 / Sensor CO<sub>2</sub>

Pada rangkaian TGS4161 diatas, pin 1 dan pin 2 TGS4161 vdi hubungkan ke VCC dengan nilai sebesar +5V, pin 4 dihubungkan ke ground. Pin 3 dihubungkan pada op-amp TLC271 yang berfungsi sebagai memperkuat sinyal karena sinyal dari sensor TGS4161 nilainya kecil. Output dari rangkaian sensor TGS4161 langsung dikirimkan ke ADC PCF8591 yang masih berupa sinyal analog.

### 3.4. Perancangan Rangkaian ADC PCF 8591

Pengubahan analog ke digital mengambil masukan analog melalui kaki AIN 0 dan AIN 1 yang mencupliknya, kemudian mengubah amplitudo dari setiap cuplikan menjadi sandi digital. Keluaran melalui kaki 9 SDA (*Serial Data Line*) yang merupakan jalur pengiriman dan penerimaan data bit dan kaki 10 SCL (*Serial Clock Line*) yang merupakan jalur pengiriman data penerima sinyal *clock*. Keluaran dari kaki SDA dan SCL adalah sejumlah bit bit digital yang status logikanya menunjukkan amplitudonya dari setiap cuplikan. Tegangan yang keluar dari sensor suhu merupakan tegangan analog sehingga akan dikonversikan oleh ADC menjadi data digital yang dibaca oleh mikrokontroller dan tergantung juga terhadap jumlah bit dari ADC yang digunakan. Resolusi ADC menjadi jumlah bit keluarannya, semakin banyak bit keluaran maka makin kecil nilai resolusi yang dihasilkan. Faktor yang terpenting dalam konversi adalah resolusi, kecepatan konversi dan pewaktu. Resolusi yang tinggi di dapat dari tegangan output maksimal (tegangan referensi) dibagi dua pangkat n dan dikurangi 1, dimana n sama dengan jumlah bit , dengan rumus sebagai berikut:

$$V_{\text{perstep}} = \frac{V_{\text{max}}}{2^n - 1}$$

$$= \frac{5}{2^8 - 1}$$

$$= \frac{5}{256-1}$$

$$= \frac{5}{255}$$

$$= 0.0196 \text{ volt}$$

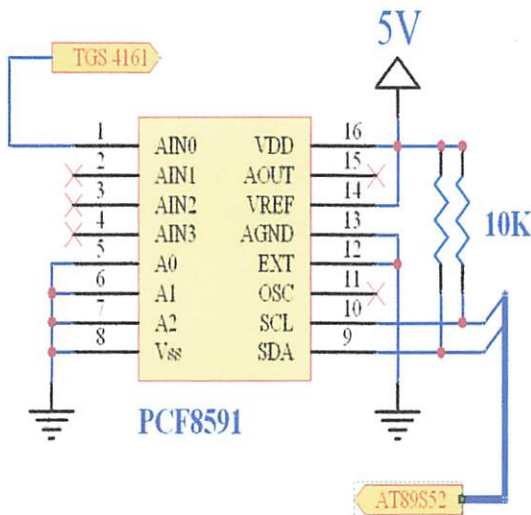
Untuk Vout ADC dapat diketahui yaitu :

$$V_{out} = \frac{V_{ana} \log}{V_{perstep}}$$

$$= \frac{3}{0,0196}$$

$$= 153,06 = 153$$

$$= 10011001 = 99H$$



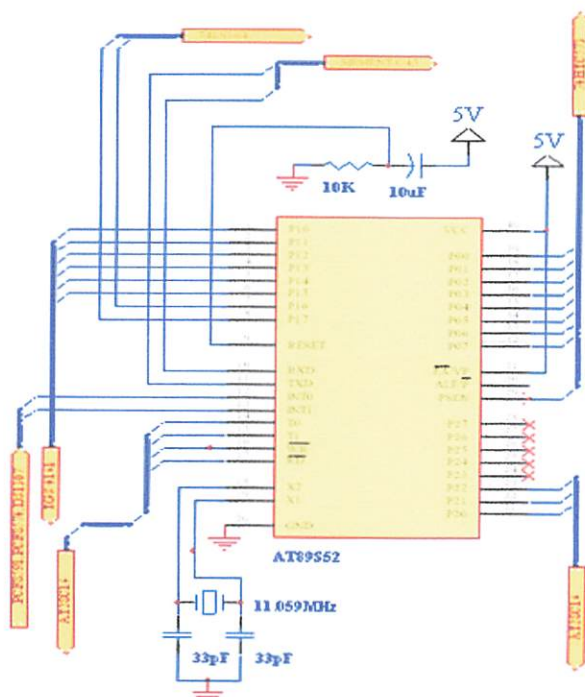
Gambar 3-3. Rangkaian skematik PCF8591

Tabel 3-1. Hubungan antara ADD PCF8591 dengan AT89S52

ADDA PCF8591	AT89S52
SCL	INT0
SDA	INT1

### 3.5. Perancangan Rangkaian Mikrokontroller AT59S52

Pengendali mikro merupakan modul utama dalam tugas akhir ini. Rangkaian pengendali mikro ini terdiri dari IC pengendali mikro AT89S52, rangkaian osilator pengendali mikro AT89S53, rangkaian reset pengendali mikro AT89S52.



Gambar 3-4. Rangkaian skematik mikrokontroller AT89S52

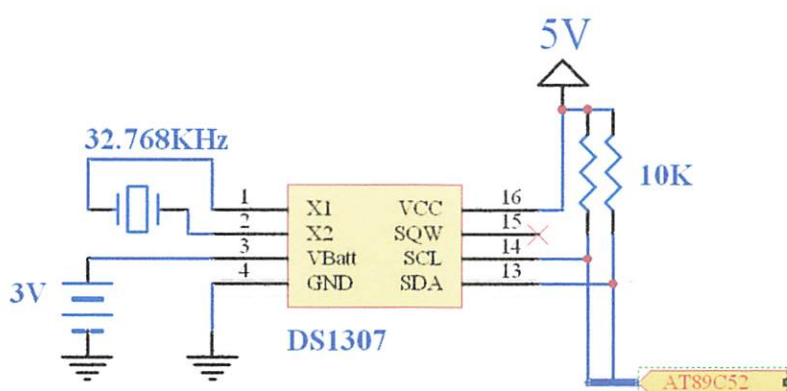
Rangkaian osilator terdiri dari sebuah kristal dan 2 buah kapasitor, rangkaian ini dihubungkan dengan pin XTAL1 dan XTAL2. Nilai kapasitor yang dipakai sebesar 33pF dan kristal yang digunakan memiliki nilai 11,6592 MHz. Rangkaian reset yang direalisasikan memiliki kemampuan power-on reset, yang disertai juga dengan tombol reset. Rangkaian ini terdiri dari sebuah kapasitor, sebuah resistor *push-button*. Nilai kapasitor yang dipakai sebesar 10 $\mu$ F, dan nilai resistor yang dipakai sebesar 10K $\Omega$ .

Port INT1 dan INT 2 digunakan sebagai jalur komunikasi antara pengendali mikro dengan RTC. Karena tidak memiliki internal *pull-up* resistor maka harus di *pull-up* terlebih dahulu menggunakan resistor *array* sebesar  $10\text{K}\Omega$ . Port INT1 dan INT2 tidak hanya dihubungkan ke RTC melainkan juga dihubungkan ke perangkat lain yaitu ADDA PCF89S52 dan I/O expansion dari dot matriks dan 7-segmen.

Port 1.0 (P1.0) sampai Port 1.5 (P1.5) dihubungkan ke seven segmen dan menjadi outputan dari mikrokontroller, port 1.6 (P1.6) dan port 1.7 (P.7) dihubungkan ke 74LS164 yang merupakan driver colom dari display dot matriks. Sedangkan Pin Rx dan Tx dihubungkan pada Hp siemen C45 sebagai komunikasi serial handphone dengan mikrokontroller AT89S52.

### 3.6. Perancangan Rangkaian RTC DS1307

RTC (*Real Time Clock*) merupakan suatu IC yang digunakan sebagai pencatat waktu dari keseluruhan alat. Dan IC ini sudah dilengkapi dengan baterai sendiri, maka bila terjadi pemutusan power supply, data dari waktu yang telah catat tidak akan hilang dan IC akan tetap mencatat penambahan waktu.



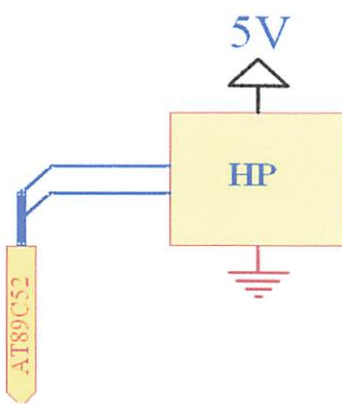
**Gambar 3-5. Rangkaian skematik RTC DS307**

Pin X1 dan X2 dihubungkan dengan sebuah kristal yang besar nilainya 32,768 KHz. Pin Vbat dihubungkan dengan baterai cadangan sebesar 3V. Pin GND

dihubungkan pada ground, sedangkan pin Vcc dihubungkan dengan power supply sebesar +5V. Pin SCL dan SDA dihubungkan dengan mikrokontroler AT89S52 (pin INT0 dan Pin INT1).

### 3.7. Perancangan Rangkaian komunikasi serial handphone ke mikrokontroller AT98S52.

Mikrokontroller AT98S52 dilengkapi dengan port serial, port serial memungkinkan untuk interface dengan hardware lain dalam format serial. Komunikasi serial antara AT89S52 dengan Hp Siemens C35 hanya tinggal menghubungkan pin-pin serial dari masing-masing hardware. Pin TX dari mikrokontoller AT89S52 akan dihubungkan dengan pin RX yang ada di handphone Siemens C35. Sedangkan pin RX yang ada dimikrokontroller A89S52 dihubungkan ke pin TX yang ada di handphone Siemens C45.

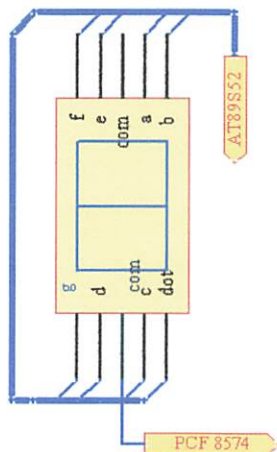


Gambar 3-6 Rangkaian komunikasi Hp dengan AT89S52.

### 3.8. Perancangan Rangkaian seven segment.

Display 7 segmen merupakan display yang terbentuk oleh 7 buah LED (ditambah 1 LED untuk menampilkan titik) yang dirangkai untuk menampilkan bilangan heksadesimal. Kedelapan LED tersebut bias dirangkai membentuk rangkaian

common anoda atau common katoda. Pada perencanaan ini yang dipakai adalah 7 segmen common anoda karena jenis ini bisa langsung dihubungkan dengan port mikrokontroller melalui sebuah transistor.

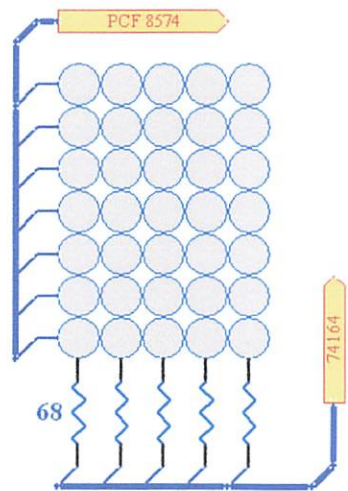


**Gambar 3-7. Rangkaian skematik 7-segment.**

Pada perencanaan ini, seven segmen bisa langsung dihubungkan ke mikrokontroller melainkan ke I/O ekspansion PCF 8574 supaya dapat menghemat pin yang dihubungkan ke mikrokontroller AT89S52. Pin a, b, c, d, e, f, g, h dihubungkan dengan driver kemudian input driver dihubungkan ke mikrokontroller AT89S52 pada port 1.0 (P1.0) sampai port 1.5 (P1.5). sedangkan salah satu dari ground 7-segmen dihubungkan ke PCF8574 sebagai I/O ekspansion (pin P0, P1, P2, P3).

### 3.9. Perancangan Rangkaian dot matriks

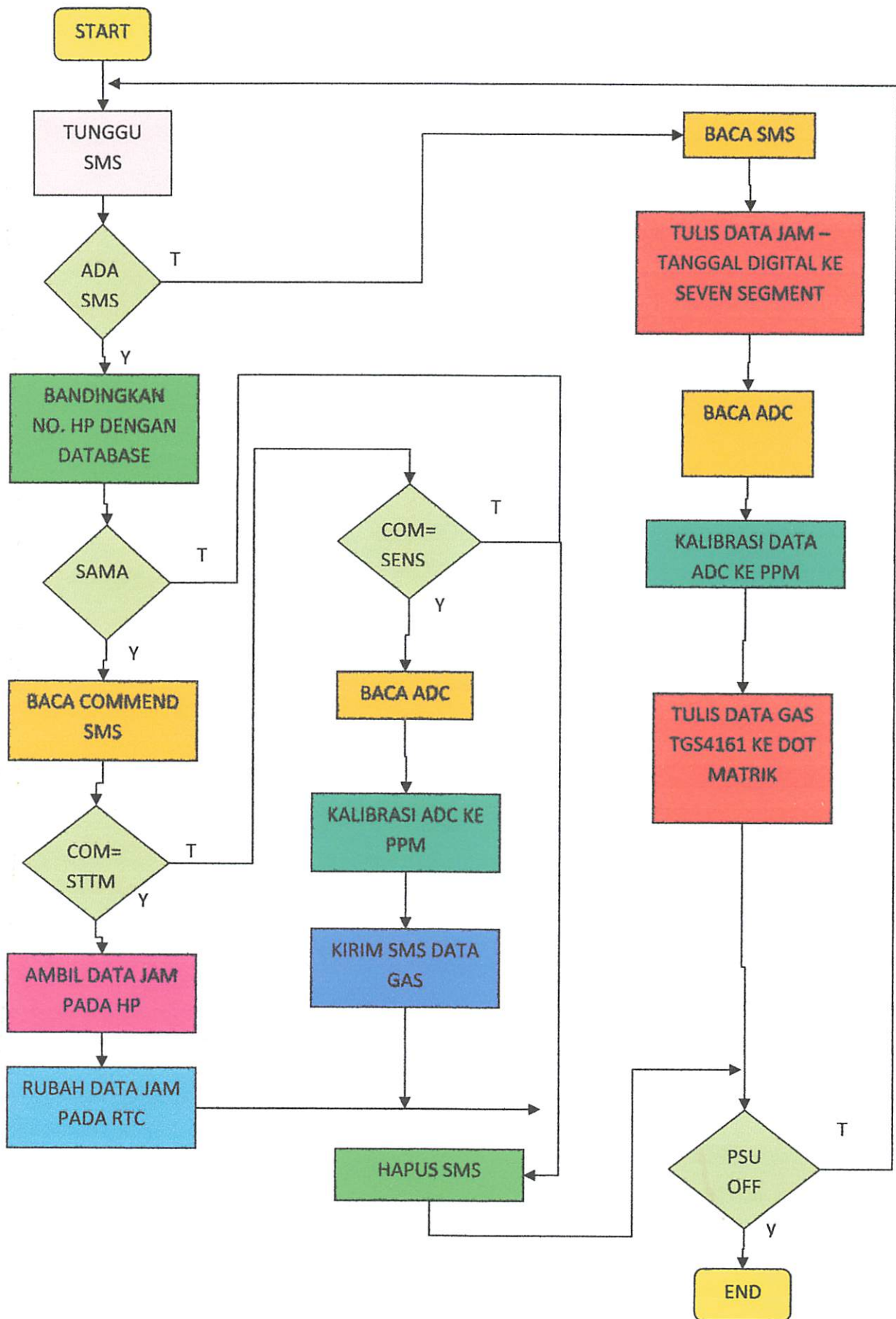
Dot matriks pada perencanaan ini menggunakan dot matriks tipe 5x7, LED warna merah, ukurannya 3 inci. Dot matrik ini digunakan sebagai tampilan dari hasil sensor TGS4161 yang telah diproses oleh mikrokontroller AT89S52. Tampilannya meliputi apakah ringan, sedang dan, tinggi kadar polusi karbon dioksida serta berapa besar nilainya dalam bentuk ppm.



**Gambar 3-8. rangkaian skematik dot matrik**

LED yang berada pada baris dihubungkan dengan I/O expansion PCF8574 supaya dapat menghemat pin yang hubungkan ke mikrokontroller AT89S52 menjadi 2 buah. Sedangkan LED yang berada pada kolom dihubungkan pada register geser 74LS164 yang input juga menjadi 2 buah kemudian dihubungkan pada Mikrokontroller AT89S52 pada port 1.6 (P1.6) dan Port 1.7 (P1.7).

### 3.10. Flowchart



## **BAB IV**

### **PENGUJIAN ALAT**

#### **4.1. Tujuan**

Bab ini akan membahas tentang pengujian alat yang telah dirancang. Adapun tujuan dari pengujian ini adalah untuk mengetahui apakah *hardware* dan *software* dapat bekerja sesuai dengan kondisi yang diinginkan, maka dilakukan pengujian pada alat dan sistem kerja alat, yang mana prosedur pengujian meliputi:

1. Pengujian *Hardware*.
2. Pengujian sistem secara keseluruhan.

#### **4.2. Pengujian Perangkat Keras (*Hardware*).**

Dalam pengujian alat dibagi dalam beberapa sub sistem dari instrumen dan peralatan, diantaranya adalah :

1. Pengujian Sensor TGS 4161 (sensor CO<sub>2</sub>)
2. Pengujian ADC PCF 8591
3. Pengujian RTC DS 1307
4. Pengujian 7-segment
5. Pengujian SMS-gate way.
6. Pengujian Keseluruhan Alat

Pengujian perangkat keras ini mencakup pengujian rangkaian elektronika pada masing-masing blok maupun blok secara keseluruhan.

## **4.2.1 Pengujian Sensor TGS 4161**

### **4.2.1.1. Tujuan**

Untuk mengetahui berapa kadar gas karbon dioksida ( CO<sub>2</sub> ) yang dideteksi oleh sensor TGS 4161.

### **4.2.1.2. Prosedur pengujian**

Pada rangkaian sensor menggunakan op-amp IC TLC 271 sebagai *buffer* atau penyanggah karena impedansi sensor terlalu besar ( $> 100 \text{ G}\Omega$ ). Diketahui sesuai dengan *data sheet* :

$$\Delta\text{EMF} = \text{EMF1} - \text{EMF2}$$

$$\text{EMF1} = \text{EMF} \text{ pada } 350 \text{ ppm CO}_2$$

$$\text{EMF2} = \text{EMF} \text{ pada konsentrasi gas yang terdeteksi}$$

Dari rumus di atas dapat diketahui ( misalkan X = 350 ppm ( range sensor 350 ppm – 8000 ppm ) ):

$$\Delta\text{EMF} = \text{EMF1} - \text{EMF2}$$

$$\Delta\text{EMF} ( 350 \text{ ppm} ) [\text{mv}] = 350 \text{ ppm} [\text{mv}] - X \text{ ppm} [\text{mv}]$$

$$\Delta\text{EMF} ( 350 \text{ ppm} ) [\text{mv}] = 350 \text{ ppm} [\text{mv}] - 350 \text{ ppm} [\text{mv}]$$

$$\Delta\text{EMF} ( 350 \text{ ppm} ) [\text{mv}] = 0 [\text{mv}]$$

Jadi pada saat 350 ppm  $\Delta\text{EMF}$  sebesar 0 [mv]

1. Jika EMF2 = 455 ppm maka,

$$\Delta\text{EMF} = \text{EMF1} - \text{EMF2}$$

$$= 350 - 455$$

$$= -105 \text{ ppm}$$

2. Jika  $\text{EMF2} = 4010 \text{ ppm}$  maka,

$$\Delta\text{EMF} = \text{EMF1} - \text{EMF2}$$

$$= 350 - 4010$$

$$= -3660 \text{ ppm}$$

**Tabel 4-1.** Data hasil perhitungan  $\Delta\text{EMF}$

<b>EMF1</b>	<b>EMF2</b>	<b><math>\Delta\text{EMF}</math></b>
350	350	0
350	455	-105
350	960	-610
350	1265	-915
350	1570	-1220
350	1875	-1525
350	2180	-1830
350	2485	-2135
350	2790	-2440
350	3095	-2745
350	3400	-3050
350	3705	-3355
350	4010	-3660
350	4315	-3965
350	4620	-4270
350	4925	-4575
350	5230	-4880
350	5535	-5185
350	5840	-5490
350	6145	-5795
350	6450	-6100
350	6755	-6405
350	7060	-6710
350	7365	-7015
350	7670	-7320
350	7975	-7625

Pada rangkaian sensor ini menggunakan pengkondisi sinyal non inverting yang di ketahui rumusnya :

$$V_{out} = (V_{in} - V_{ref}) \left( \frac{R_2}{R_1} + 1 \right) + V_{ref}$$

Dari salah satu pengukuran yang dilakukan pada TLC271 diketahui nilai  $V_{in} = 750$

mV dan  $V_{ref} = 763,5$  mV serta  $\left( \frac{R_2}{R_1} + 1 \right) = 56,56$  x, maka dapat diketahui :

$$1. \quad V_{out} = (750 \text{ V} - 763,5 \text{ mV}) \times \left( \frac{R_2}{R_1} + 1 \right) + 763,5 \text{ mV}$$

$$V_{out} = (-13,5) \text{ mV} \times (56,56 \text{ x}) + 763,5 \text{ mV}$$

$$V_{out} = 0 \text{ mV}$$

2. Jika  $V_{in} = 776,25$  mV

$$V_{out} = (776,25 - 763,5) \text{ mV} \times \left( \frac{R_2}{R_1} + 1 \right) + 763,5 \text{ mV}$$

$$V_{out} = (12,75) \text{ mV} \times (56,56 \text{ x}) + 763,5 \text{ mV}$$

$$V_{out} = 1484,64 \text{ mV} = 1,48 \text{ V}$$

3. Jika  $V_{in} = 838,9$  mV

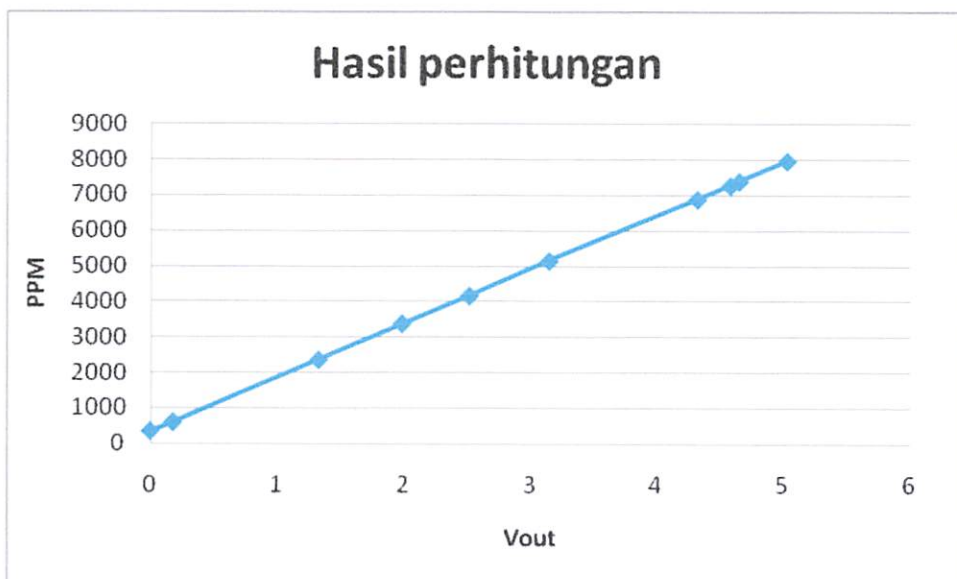
$$V_{out} = (838,9 - 763,5) \text{ mV} \times \left( \frac{R_2}{R_1} + 1 \right) + 763,5 \text{ mV}$$

$$V_{out} = (75,4) \text{ V} \times (56,56 \text{ x}) + 763,5$$

$$V_{out} = 5028,124 \text{ mV} = 5,03 \text{ V}$$

**Tabel 4-2.** Data hasil perhitungan tegangan keluaran sensor  
Yang telah dikuatkan oleh op-amp

Vin	Vout perhitungan	PPM
750	0	350
753.15	0.18	602
773.45	1.33	2360
785.35	1.99	3380
794.45	2.52	4160
805.65	3.15	5150
826.3	4.32	6890
830.85	4.58	7280
832.25	4.65	7400
838.9	5.03	7970

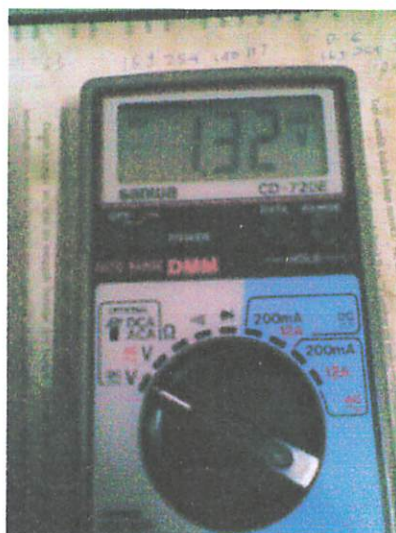


**Grafik 4-1.** Hasil perhitungan antara PPM dan Vout

Pengukuran tegangan keluaran dari rangkaian sensor ( $V_{out}$ ) dapat diukur menggunakan alat ukur digital multimeter dan Hasil pengukuran tegangan keluaran op-amp dan akan menjadi masukan dari ADC PCF 8591.



**Gambar 4-1.** Hasil pengukuran tegangan keluaran sensor



**Gambar 4-2.** Hasil pengukuran tegangan keluaran sensor

**Tabel 4-3.** Data hasil pengukuran tegangan keluaran sensor yang telah dikuatkan oleh op-amp

V <sub>in</sub>	V <sub>out pengukuran</sub>	PPM
750	0	350
753.15	0.16	602
773.45	1.32	2360
785.35	1.98	3380
794.45	2.51	4160
805.65	3.14	5150
826.3	4.32	6890
830.85	4.57	7280
832.25	4.64	7400
838.9	5.01	7970



**Grafik 4-2.** Hasil pengukuran antara PPM dan Vout yang telah dikuatkan oleh op-amp

**Tabel 4-4.** Perbandingan data hasil perhitungan dan pengukuran tegangan keluaran sensor yang telah dikuatkan oleh op-amp

V <sub>in</sub>	V <sub>out</sub> perhitungan	V <sub>out</sub> pengukuran	PPM	ERROR
750	0	0	350	0
753.15	0.18	0.16	602	11.11
773.45	1.33	1.32	2360	0.75
785.35	1.99	1.98	3380	0.5
794.45	2.52	2.51	4160	0.39
805.65	3.15	3.14	5150	0.32
826.3	4.32	4.32	6890	0
830.85	4.58	4.57	7280	0.22
832.25	4.65	4.64	7400	0.22
838.9	5.03	5.01	7970	0.39

Untuk menghitung kesalahan pada percobaan yaitu :

$$Error = \frac{HasilPerhitungan - Hasilpengukuran}{HasilPerhitungan} \times 100\%$$

$$Error = \frac{0.18 - 0.16}{0.18} \times 100\%$$

$$= \frac{0.02}{0.18} \times 100\%$$

$$= 11,11\%$$

Error rata-rata sebesar :

$$\begin{aligned} \sum error_{rata-rata} &= \frac{\sum error}{n} \\ &= \frac{13.9}{10} \\ &= 1,39\% \end{aligned}$$

## **4.2.2 Pengujian ADC PFC 8591**

### **4.2.2.1. Tujuan**

Untuk mengetahui cara kerja dari rangkaian ADC PCF 8591, apakah sesuai dengan yang direncanakan atau belum maka dilakukan pengujian.

### **4.2.2.2. Peralatan yang Digunakan**

1. Rangkaian ADC PCF 8591
2. Sumber tegangan 5 volt
3. Rangkaian mikrokontroller AT89S8252
4. Resistor 220  $\Omega$
5. LED

### **4.2.2.3. Prosedur Pengujian**

1. Merangkai rangkaian ADC PCF 8591 dengan rangkaian Mikrokontroller AT89S52.
2. Menghubungkan pin 9 (SDA) dan pin 10 (SCL) ADC PCF 8591 dengan rangkaian mikrokontroller AT89S52.
3. Menghubungkan rangkaian pengujian ADC PCF 8591 dengan sumber tegangan 5 volt
4. Ketika ADC itu diberikan clock pada kaki SCL dengan SDA diberi perintah untuk menerjemahkan data konversi analog ke digital secara serial melalui pin SDA ke mikrokontroller AT89S52, kemudian mikrokontroller akan mengeluarkan konversi LED melalui nyala LED
5. Mengamati LED yang menyala dan mati sebagai indikator keluaran 8 bit dari mikrokontroller, dan mencatat hasilnya pada tabel.

#### 4.2.2.4. Hasil Pengujian

Untuk mengetahui perubahan tegangan tiap bit (Vperstep) ADC adalah dengan menggunakan perhitungan sebagai berikut

Diketahui  $V = 5$  Volt Step ADC =  $2^8$  ( 255 ), maka

$$V_{\text{perstep}} = \frac{V_{\text{max}}}{255}$$

$$= \frac{5}{255} = 0,0196 \text{ V}$$

**Tabel 4-5.** Hasil Pembacaan Dan Perhitungan ADC PCF 8591

Input ADC ( Volt )	Output ADC ( pembacaan )	Output ADC Perhitungan		
		Biner	Biner	Desimal
0	00000000	00000000	0	00h
0.25	00001101	00001101	13	0Dh
0.5	00011010	00011010	26	1Ah
0.75	00100110	00100110	38	26h
1.01	00110100	00110100	52	34h
1.26	01000000	01000000	64	40h
1.5	01001101	01001101	77	4Dh
1.75	01011001	01011001	89	59h
2.02	01100111	01100111	103	67h
2.25	01110011	01110011	115	73h
2.5	10000000	10000000	128	80h
2.75	10001100	10001100	140	8Ch
3	10011001	10011001	153	99h
3.25	10100110	10100110	166	A6h
3.5	10110011	10110011	179	B3h
3.75	10111111	10111111	191	BFh
4	11001100	11001100	204	CCh
4.25	11011001	11011001	217	D9h
4.5	11100110	11100110	230	E6h
4.75	11110010	11110010	242	F2h
4.99	11111111	11111111	255	FFh

Sedangkan untuk mengetahui data tegangan keluaran dari ADC ditentukan dengan perhitungan sebagai berikut:

Diket V analog = 0.25 Volt, maka

$$\begin{aligned}V_{out} &= \frac{V_{analog}}{V_{perstep}} \\&= \frac{3}{0.0196} = 153.03 = 153 \\&= 10011001_{(2)} \\&= 99_{(16)}\end{aligned}$$

#### 4.2.3. Pengujian RTC DS 1307

##### 4.2.3.1 Tujuan

Untuk mengetahui bahwa RTC SD 1307 bisa bekerja dengan baik serta sesuai dengan jam digital.

##### 4.2.3.1. Alat dan Bahan Yang digunakan

1. Sumber tegangan +5 Volt
2. Modul RTC DS 1307.
3. Rangkaian mikrokontroller AT89S52

##### 4.2.3.3. Langkah Pengujian

1. Merangkai modul RTC DS 1307 dengan mikrokontroller AT89S52
2. Mencatat hasil pengujian dalam table

#### **4.2.3.4 Hasil Pengujian**

**Tabel 4.6. Hasil Pengujian Waktu Pada Jam Digital Dengan Waktu Pada Alat**

No	Waktu Pada Jam Digital	Waktu Pada Alat
1	07.00.03	07.00.03
2	07.30.32	07.30.32
3	08.00.21	08.00.21
4	08.30.45	08.30.45
5	09.00.23	09.00.23
6	09.30.06	09.30.06
7	10.00.44	10.00.44

**Tabel 4-7. Hasil Pengujian tanggal Pada Jam Digital Dengan tanggal Pada Alat**

No	Tanggal,bulan,tahun pada jam digital	Tanggal,bulan,tahun pada jam alat
1	28/12/2009	28.12.09
2	29/12/2009	29.12.09
3	30/12/2009	30.12.09
4	31/12/2009	31.12.09
5	01/01/2010	01.01.10
6	02/01/2010	02.01.10
7	03/01/2010	03.01.10

#### **4.2.4 Pengujian handphone (SMS gate way)**

##### **4.2.4.1 Tujuan**

Untuk mengetahui bahwa proses SMS gate way dapat bekerja dengan baik dengan mengirimkan SMS dengan benar.

##### **4.2.4.2 Alat dan bahan.**

1. Handpone Siemens C45
2. RTC DS 1307.
3. Rangkaian sensor TGS 4161
4. Rangkaian mikrokontroller AT89S52.

#### **4.2.4.3 Langkah pengujian.**

1. Rangkai RTC, sensor TGS 4161, Handphone ke mikrokontroller AT89S52.
2. Kirim SMS ke nomor handphone yang ada di alat.
3. Mencatat hasil dalam table.

#### **4.2.4.4 Hasil pengujian.**

1. Men-setting jam digital.



**Gambar 4-3. Setting jam digital**

Untuk dapat men-setting jam dan tanggal pada display maka langkah pertama harus diliat apakah jam dan tanggal pada handphone alat sudah benar. Apabila sudah benar, maka lanjutkan ke langkah yang kedua yaitu mengirimkan SMS ke handphone yang ada pada alat. Yang isi SMS-nya adalah “STTM”.

2. Mengirim SMS meminta data sensor TGS 4161



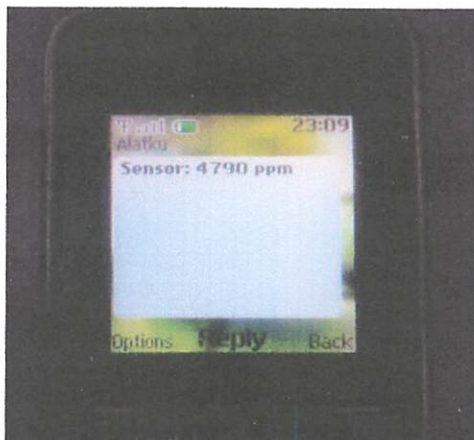
**Gambar 4-4. SMS meminta data sensor TGS 4161**

Untuk mendapatkan data berapa besar kadar gas karbon dioksida pada saat ini, maka kita dapat melakukan langkah-langkah berikut ini. Yang pertama, kita kirimkan SMS ke No. handphone yang ada pada alat. Yang sebelumnya No. pengirim sudah ditulis di database agar tidak semua No. handphone bisa mengakses alat ini. Kemudian isi pesan dengan “SENS”. Setelah itu kirimkan ke No. handphone yang ada pada alat. Setelah SMS sudah diterima oleh Handphone yang ada pada alat maka mikrokontroller akan memproses berapa kadar gas karbon dioksida yang dideteksi oleh sensor TGS4161 saat SMS diterima oleh alat.

Setelah mikrokontroller sudah mendapat datanya maka mikrokontroller akan memproses untuk mengirimkan data menggunakan handphone yang ada pada alat sebagai media pengirim pesan balasan.

Contoh : pesan balasannya adalah “Sensor: 4790 ppm”.

Pesan balasan dari alat.



Gambar 4-5. Pesan Balasan dari alat

Tabel 4-8. Data hasil pengujian SMS gate way.

Pesan SMS	Keterangan
STTM	Setting jam digital
SENS	Meminta data sensor TGS 4161
Sensor: 4790	Pesan balasan berupa data sensor TGS 4161

#### **4.2.5. Pengujian 7-segment**

##### **4.2.5.1 Tujuan**

Untuk mengetahui bahwa seven segmen bisa bekerja dengan baik dengan menampilkan waktu dan tanggal display seven segmen.

##### **4.2.5.2 Alat dan Bahan Yang digunakan**

1. Sumber tegangan +5 Volt
2. RTC DS 1307.
3. Rangkaian mikrokontroller AT89S52
4. 7-segment

##### **4.2.5.3. Langkah Pengujian**

1. Merangkai modul RTC DS 1307 dengan mikrokontroller AT89S52
2. Merangkai 7-segment dengan mikrokontroller AT89S52
3. Mencatat hasil pengujian dalam table

##### **4.2.5.4. Hasil Pengujian**

**Tabel 4-9.** Hasil pengujian waktu pada jam digital dengan waktu pada alat

No	Waktu Pada Jam Digital	Waktu Pada Alat
1	11.00.23	11.00.23
2	11.30.09	11.30.09
3	12.00.42	12.00.42
4	12.30.18	12.30.18
5	13.00.21	13.00.21
6	13.30.32	13.30.32
7	14.00.11	14.00.11

**Tabel 4-10.** Hasil pengujian tanggal pada jam digital dengan tanggal pada alat

No	Tanggal,bulan,tahun pada jam digital	Tanggal,bulan,tahun pada jam alat
1	28/12/2009	28.12.09
2	29/12/2009	29.12.09
3	30/12/2009	30.12.09
4	31/12/2009	31.12.09
5	01/01/2010	01.01.10
6	02/01/2010	02.01.10
7	03/01/2010	03.01.10

#### 4.2.6 Pengujian Sistem Secara Keseluruhan

Pengujian rangkaian secara keseluruhan dilakukan dengan menghubungkan masing-masing rangkaian atau blok dan menjalankan perangkat lunak yang dibuat. Pengujian ini dimaksudkan untuk mengetahui apakah peralatan yang dibuat telah sesuai dengan perencanaan

1. Memberi tegangan catu daya sebesar 12 volt DC, dapat berupa baterai, aki dan lain – lain.
2. Nyalakan saklar *ON/OFF*
3. *Inputkan setting point*
4. Berikan inputan CO2 untuk TGS 4161.
5. Mengamati nilai pengukuran pada dot matriks.

#### 4.2.6.1 Hasil pengujian keseluruhan alat

**Tabel 4-11.** Hasil pengujian keseluruhan alat.

No	Vin (mV)	Vout (mV)	ADC	PPM	Golongan
1	750	0	0	350	Rendah
2	750.35	19.736	1	380	Rendah
3	753.5	197.9	10	650	Rendah
4	756.3	356.268	18	890	Rendah
5	758.75	494.84	25	1100	Rendah
6	767.15	969.944	49	1820	Rendah
7	779.75	1682.6	85	2900	Rendah
8	780.1	1702.396	86	2930	Sedang
9	783.6	1900.356	96	3230	Sedang
10	789.9	2256.684	114	3770	Sedang
11	793.4	2454.644	124	4070	Sedang
12	799	2771.38	140	4550	Sedang
13	804.25	3068.32	155	5000	Sedang
14	808.1	3286.076	166	5330	Sedang
15	809.15	3345.464	169	5420	Sedang
16	809.5	3365.26	170	5450	Sedang
17	809.85	3385.056	171	5480	Tinggi
18	810.2	3404.852	172	5510	Tinggi
19	820	3959.14	200	6350	Tinggi
20	823.15	4137.304	209	6620	Tinggi
21	831.55	4612.408	233	7340	Tinggi
22	833.65	4731.184	239	7520	Tinggi
23	836.1	4869.756	246	7730	Tinggi
24	838.2	4988.532	252	7910	Tinggi
25	838.9	5028.124	254	7970	Tinggi

## **BAB V**

### **PENUTUP**

#### **5.1. Kesimpulan**

Dari pembahasan Perancangan dan pembuatan alat pendekksi gas karbon diksida dijalan raya, dapat diambil kesimpulan, yaitu :

1. Pada sensor TGS 4161 semakin besar nilai  $V_{in}$  maka nilai PPM akan semakin tinggi.
2. Penguat op-amp untuk sensor TGS4161 adalah sebesar 56,56 kali.
3. Penyimpangan rata rata pada pengukuran dan perhitungan sensor TGS 4161 adalah sebesar 1,39% .
4. Hasil RTC DS1307 yang ditampilkan pada display seven segmen yang berupa jam dan tanggal digital sesuai dengan waktu dan tanggal yang ada pada jam handphone yang ada pada alat.
5. Hasil RTC DS 1307 yang berupa jam digital dan tanggal digital yang ditampilkan oleh display seven segmen muncul/tampil secara bergantian sekitar 6 detik.

## **5.2. Saran**

Alat yang dibuat ini masih memiliki keterbatasan, nantinya diharapkan dapat dikembangkan untuk mengatasi keterbatasan itu. Sehingga mendapatkan alat yang diharapkan dapat mendekati alat yang ideal.

1. Bagi peneliti selanjutnya diharapkan bisa mengaplikasikan TGS 4161 pada bidang industri karena sangat bahayanya gas karbon dioksida bagi tubuh.
2. Diharapkan kedepannya bisa menggunakan sensor yang lebih baik dan sensivitasnya lebih besar untuk kadar karbon dioksida udara luar.
3. diharapkan kedepannya dapat dilakukan pengujian dengan membandingkan dengan alat yang sudah ada. Supaya hasilnya dapat lebih akurat.
4. Diharapkan peneliti selanjutnya bisa mengetahui kadar polusi karbon dioksida standar diudara.

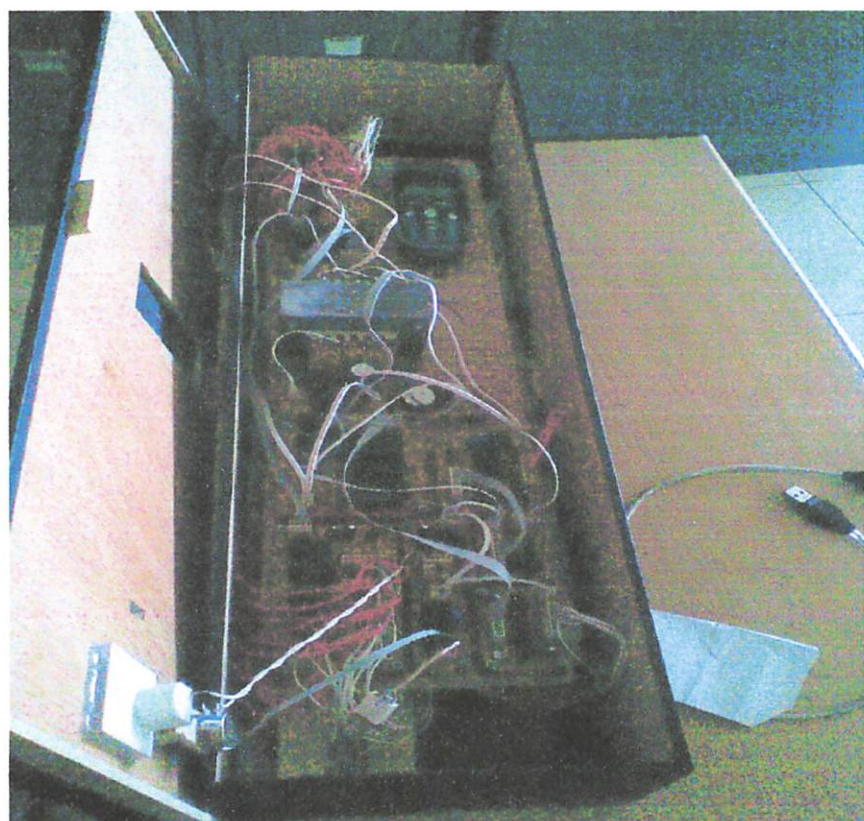
## DAFTAR PUSTAKA

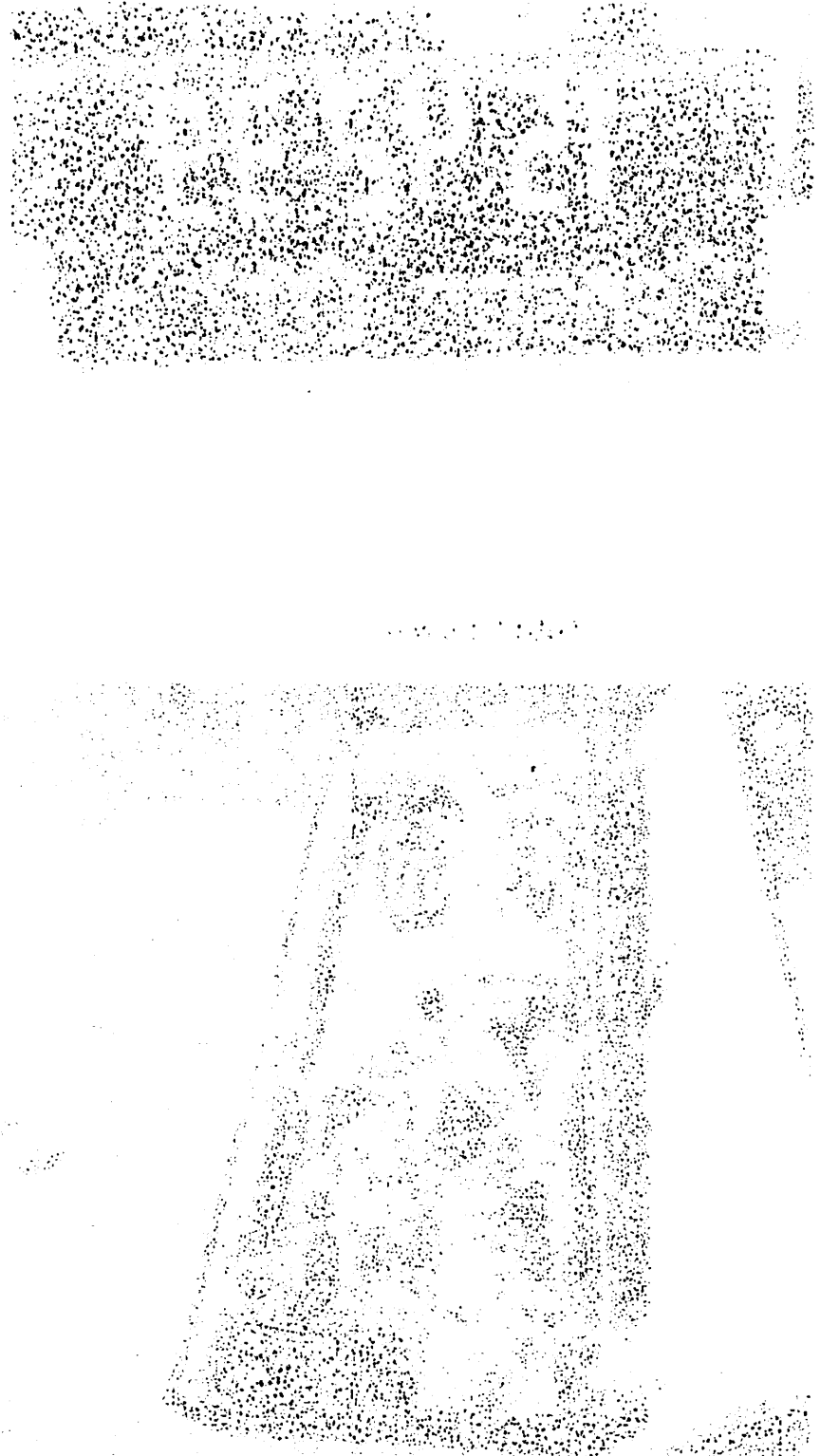
1. Usman, *teknik antarmuka + pemrograman mikrokontroller AT89S52*, penerbit andi, Yogyakarta, 2008
2. *Data sheet IC AT89S52*, (<http://www.atmel.com>),
3. *Data sheet TGS 4161*, (<http://www.figaro.com>)
4. *Data sheet ADC PCF 8591*, (<http://www.phillipsemiconductor.com>)
5. *Data sheet IC PCF 8574*, , (<http://www.phillipsemiconductor.com>)
6. *Datasheet RTC DS 1307*, (<http://www.dalsemi.com>)
7. <http://www.polusiudara/karbondioksida.com>
8. Wasito S, *Vademekum elektronika edisi kedua*, penerbit PT gramedia pustaka utama, Jakarta, 2001.
9. George Clayton, Steve Winder, *Operational Amplifiers edisi kelima*, Penerbit ERLANGGA, Jakarta, 2003.
10. Siemens, *AT Command Set Reference Manual*, Agustus, 1999.
11. Syam Hardi, *Teknik Dasar-Dasar Elektronika*, penerbit PT. Bina Aksara, Jakarta, 1983.

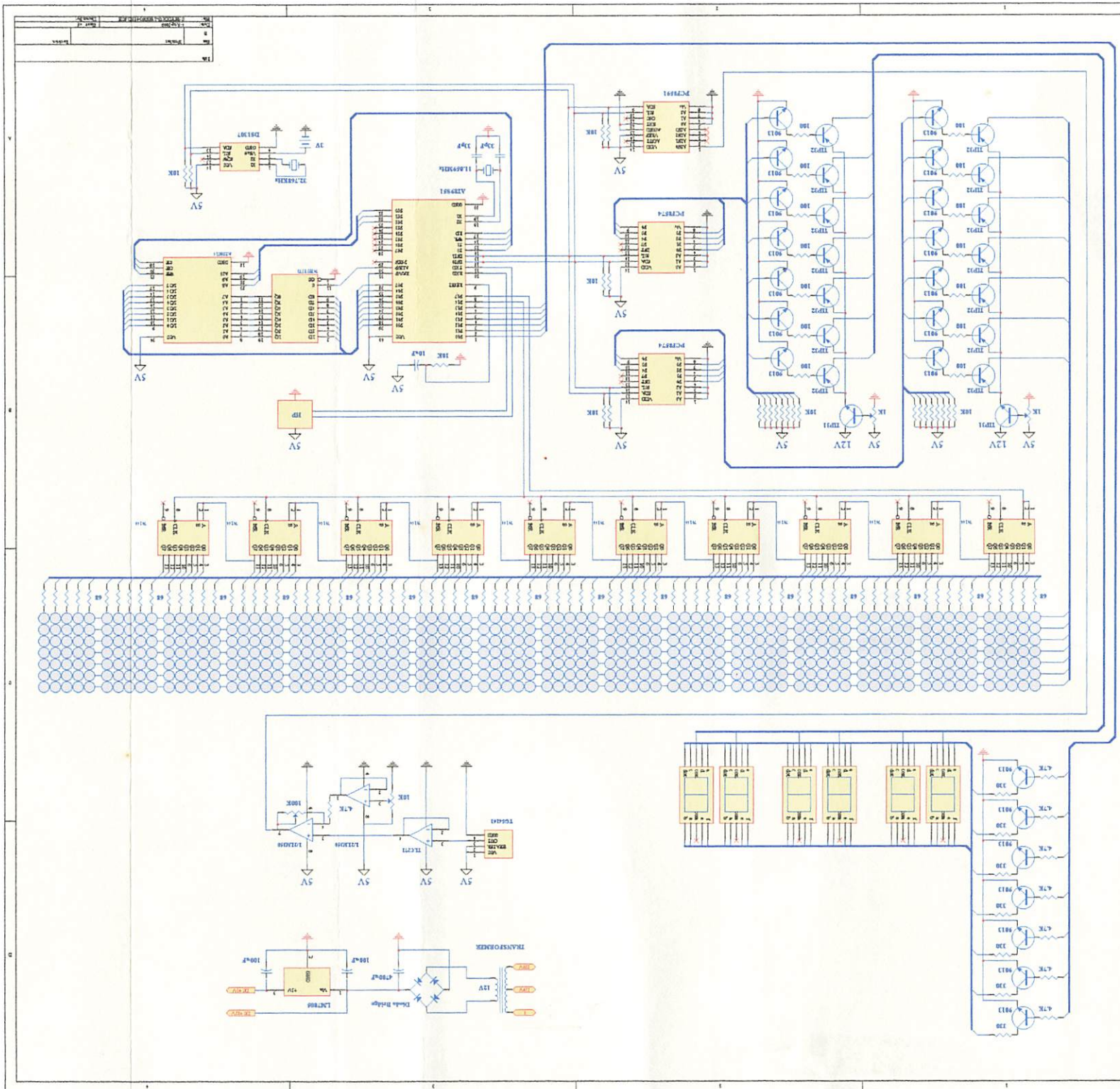
**Foto alat**

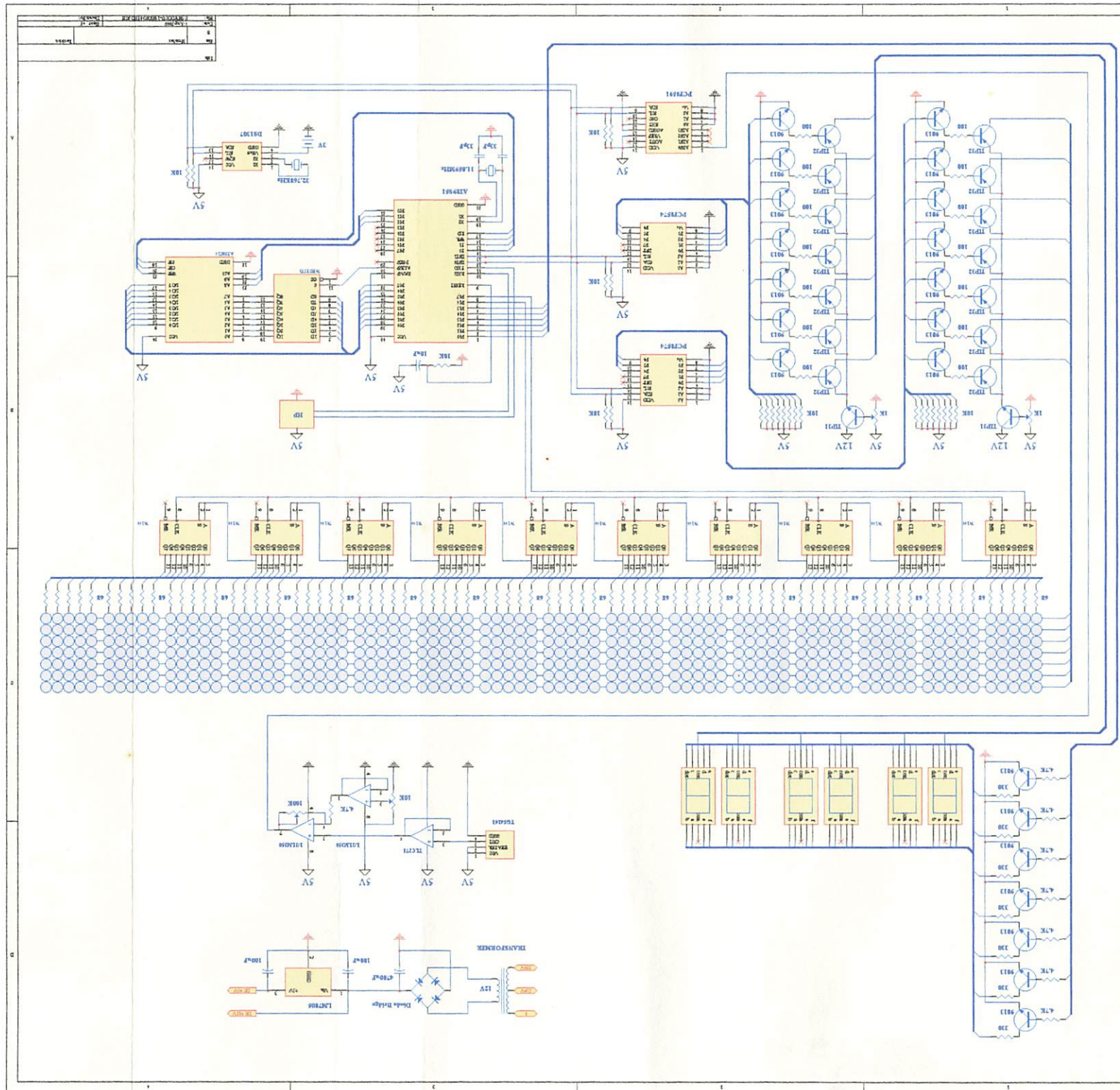


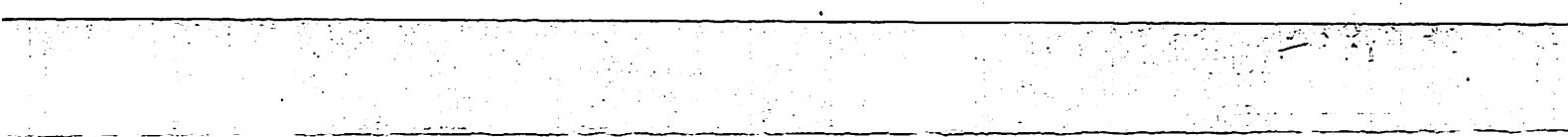
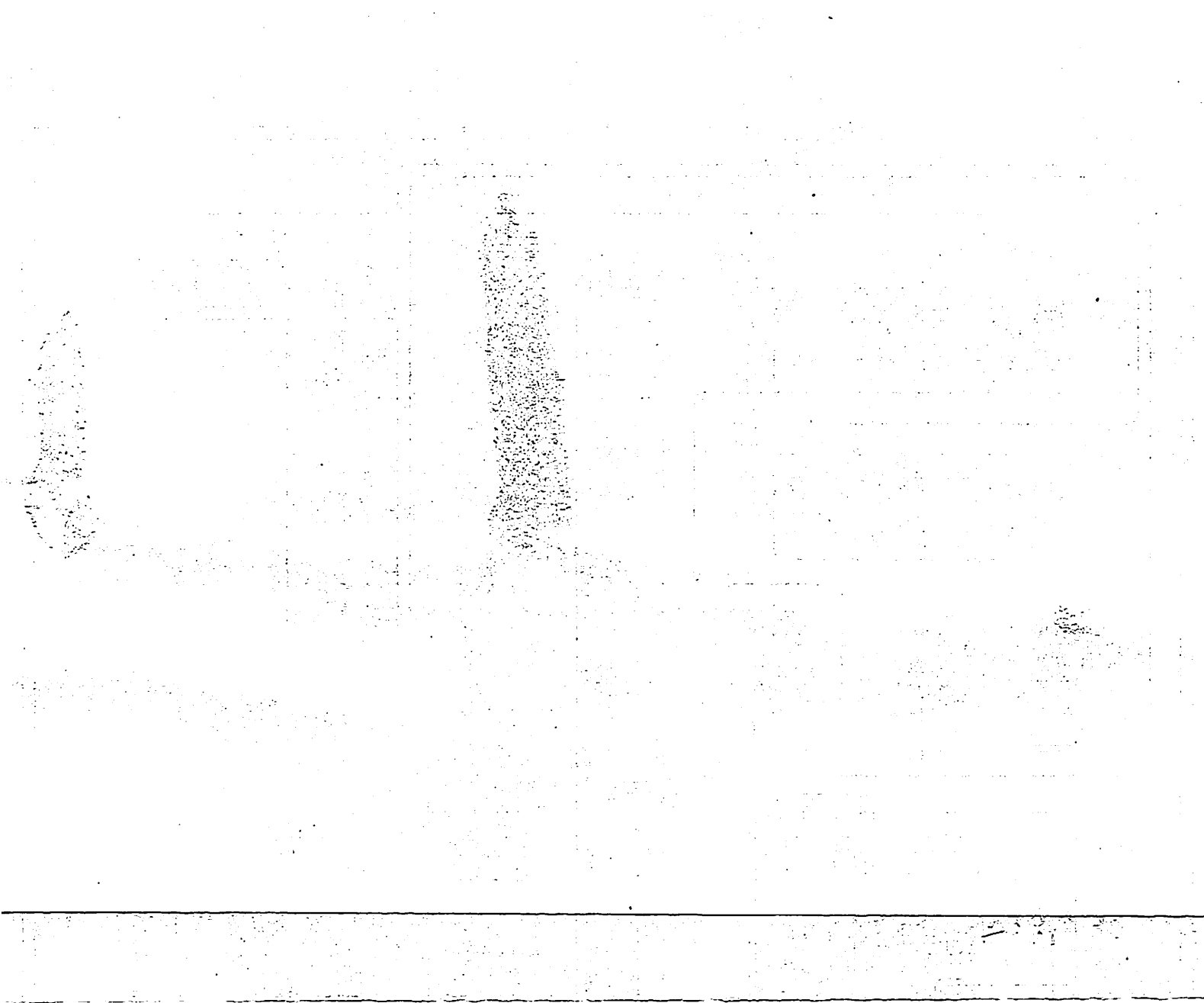
**Foto hardware**











LAMPIRAN



INSTITUT TEKNOLOGI NASIONAL  
FAKULTAS TEKNOLOGI INDUSTRI  
JURUSAN TEKNIK ELEKTRO  
JL.Raya Karanglo Km 2  
MALANG

### FORMULIR PERBAIKAN UJIAN SKRIPSI

Dalam pelaksanaan Ujian Skripsi Jenjang Strata 1 Jurusan Teknik Elektro Konsentrasi Teknik Elektronika, maka perlu adanya perbaikan skripsi untuk mahasiswa :

Nama : Nanang Setiya Budi  
Nim : 05.12.219  
Masa Bimbingan : 01 Desember 2009 s/d 01 Juni 2010  
Judul Skripsi : Aplikasi pengirim data web online pengukur kadar polusi udara di jalan raya menggunakan mikrokontroller AT98S52 dan SMS gate way.

No	Tanggal	Uraian	Paraf
1	01 -03 -2010	Kesimpulan	

Malang, Februari 2010  
Dosen Pengaji I



(Ir. F. Yudi Limpraptono, MT)  
NIP. Y. 103 950 0274



INSTITUT TEKNOLOGI NASIONAL  
FAKULTAS TEKNOLOGI INDUSTRI  
JURUSAN TEKNIK ELEKTRO  
JL.Raya Karanglo Km 2  
MALANG

### FORMULIR PERBAIKAN UJIAN SKRIPSI

Dalam pelaksanaan Ujian Skripsi Jenjang Strata 1 Jurusan Teknik Elektro Konsentrasi Teknik Elektronika, maka perlu adanya perbaikan skripsi untuk mahasiswa :

Nama : Nanang Setiya Budi  
Nim : 05.12.219  
Masa Bimbingan : 01 Desember 2009 s/d 01 Juni 2010  
Judul Skripsi : Aplikasi pengirim data web online pengukur kadar polusi udara di jalan raya menggunakan mikrokontroller AT98S52 dan SMS gate way.

No	Tanggal	Uraian	Paraf
1	20-02-2010	Abstrak	
2	20-02-2010	Batasan masalah : hanya membahas CO2	
3	20-02-2010	Tabel dan gambar harus ada sumbernya	
4	20-02-2010	Blok diagram tambahkan memori eksternal	
5	20-02-2010	Kesimpulan	
6	20-02-2010	Flowchart	

Malang, Februari 2010  
Dosen Penguji II

(Ir. TH. Mimien Mustikawati, MT)  
NIP. P. 103 000 0352

```

org 00h
ljmp init
;
org 23h
clr ES
jnb RI,$
clr RI
mov R7,SBUF
setb ES
reti
;
ISCL Bit P3.2           ; I2C clock
ISDA Bit P3.3           ; I2C data
Sclk Bit P3.4
Slct Bit P3.5
Sdata Bit P1.7
Stc Bit 20h.0           ; status command
Sttm Bit 20h.1           ; status time
Jchr Equ 30h             ; jumlah character ascii
Jcd0 Equ 31h             ; jumlah colom dot low
Jcd1 Equ 32h             ; jumlah colom dot high
Cnt0 Equ 33h
Cnt1 Equ 34h
Cnt2 Equ 35h
DpcL Equ 36h             ; data pointer character low
DpcH Equ 37h             ; data pointer character high
DpdL Equ 38h             ; data pointer dot low
DpdH Equ 39h             ; data pointer dot high
Buf0 Equ 3Ah
Buf1 Equ 3Bh
Buf2 Equ 3Ch
Buf3 Equ 3Dh
Buf4 Equ 3Eh
Buf5 Equ 3Fh
Djam Equ 40h             ; data jam
Dmnt Equ 41h             ; data menit
Ddtk Equ 42h             ; data detik
Dtgl Equ 43h             ; data tanggal
Dbln Equ 44h             ; data bulan
Dcen Equ 45h             ; data century
Dthn Equ 46h             ; data tahun
Dadc Equ 47h
Dgas Equ 48h
Dgs0 Equ 49h
Dgs1 Equ 4Ah
Hex0 Equ 4Bh
Hex1 Equ 4Ch
;
Chr0 Equ 50h
Chr1 Equ 51h

```



## FORMULIR BIMBINGAN SKRIPSI

Nama : Nanang Setiya Budi  
Nim : 05.12.219  
Masa Bimbingan : 01 Desember 2009 s/d 01 Juni 2010  
Judul Skripsi : Aplikasi web online pengukur kadar polusi di jalan raya menggunakan mikrokontroler AT89S52 dan SMS gate way .

No	Tanggal	Uraian	Paraf Pembimbing
1	15/12/09	Revisi Bab I : Batasan masalah	J
2	23/12/09	Revisi Bab II : mikrokontroler AT89S52 & ADC PCF8591	J
3	27/12/09	Acc bab I & II ; Revisi bab III : perlakuan sensor CO2.	J
4	08/01/10	Revisi : Diagram blok & flowchart.	J
5	20/01/10	Acc bab III ; Revisi perlakuan ADC	J
6	27/01/10	Revisi tabel hasil Pengukuran kadar CO2	J
7	06/02/10	Acc bab III & IV.	J
8	5/2/10	Acu kompres	J
9			
10			

Malang,

Dosen pembimbing

Joseph Dedy Irawan, ST,MT

NIP/132315178

Form S-4b

```

Chr2  Equ 52h
Chr3  Equ 53h
Chr4  Equ 54h
Chr5  Equ 55h
Chr6  Equ 56h
Chr7  Equ 57h
Chr8  Equ 58h
Chr9  Equ 59h
ChrA  Equ 5Ah
ChrB  Equ 5Bh
ChrC  Equ 5Ch
ChrD  Equ 5Dh
ChrE  Equ 5Eh
ChrF  Equ 5Fh

ChrH  Equ 60h
Cnsm  Equ 61h
Cndt  Equ 62h
Cntr  Equ 63h
Tmo0  Equ 64h
Tmo1  Equ 65h
Bufr  Equ 66h

Dly0  Equ 70h
Dly1  Equ 71h
Dly2  Equ 72h
Dly3  Equ 73h

;
init: clr  Slct
      lcall clrdot
      mov  DPTR,#00h
      mov  A,#"S"           ; 0
      movx @DPTR,A
      lcall wt_wr
      inc  DPTR
      mov  A,#"e"           ; 1
      movx @DPTR,A
      lcall wt_wr
      inc  DPTR
      mov  A,#"n"           ; 2
      movx @DPTR,A
      lcall wt_wr
      inc  DPTR
      mov  A,#"s"           ; 3
      movx @DPTR,A
      lcall wt_wr
      inc  DPTR
      mov  A,#"o"           ; 4
      movx @DPTR,A
      lcall wt_wr

```

```

inc DPTR
mov A,#'r' ; 5
movx @DPTR,A
lcall wt_wr
inc DPTR
mov A,"' ; 6
movx @DPTR,A
lcall wt_wr
inc DPTR
mov A,#'C' ; 7
movx @DPTR,A
lcall wt_wr
inc DPTR
mov A,#'O' ; 8
movx @DPTR,A
lcall wt_wr
inc DPTR
mov A,#'2' ; 9
movx @DPTR,A
lcall wt_wr
inc DPTR
mov A,";" ; 10
movx @DPTR,A
lcall wt_wr
inc DPTR
mov A,":" ; 11
movx @DPTR,A
lcall wt_wr
inc DPTR
mov A,"'" ; 12
movx @DPTR,A
lcall wt_wr
inc DPTR
mov A,#'R' ; 13
movx @DPTR,A
lcall wt_wr
inc DPTR
mov A,#'e' ; 14
movx @DPTR,A
lcall wt_wr
inc DPTR
mov A,#'n' ; 15
movx @DPTR,A
lcall wt_wr
inc DPTR
mov A,#'d' ; 16
movx @DPTR,A
lcall wt_wr
inc DPTR
mov A,#'a' ; 17

```

```

movx @DPTR,A
lcall wt_wr
inc DPTR
mov A,#'h' ; 18
movx @DPTR,A
lcall wt_wr
inc DPTR
mov A,#',' ; 19
movx @DPTR,A
lcall wt_wr
inc DPTR
mov A,#"' ; 20
movx @DPTR,A
lcall wt_wr
inc DPTR
mov A,#'0' ; 21
movx @DPTR,A
lcall wt_wr
inc DPTR
mov A,#'0' ; 22
movx @DPTR,A
lcall wt_wr
inc DPTR
mov A,#'0' ; 23
movx @DPTR,A
lcall wt_wr
inc DPTR
mov A,#'0' ; 24
movx @DPTR,A
lcall wt_wr
inc DPTR
mov A,#"' ; 25
movx @DPTR,A
lcall wt_wr
inc DPTR
mov A,#'p' ; 26
movx @DPTR,A
lcall wt_wr
inc DPTR
mov A,#'p' ; 27
movx @DPTR,A
lcall wt_wr
inc DPTR
mov A,#'m' ; 28
movx @DPTR,A
lcall wt_wr
;
lcall srl_in ; inisialisasi serial
lcall noecho ; komunikasi no-echo
lcall dsminc ; display incoming sms

```

```

;     lcall rstcmd           ; reset command
;
mulai: mov Jchr,#29          ; jumlah character ascii
       mov Dpcl,#00h         ; ambil dari data pointer
       mov DpcH,#00h         ; address 0000h
       lcall cchchr          ; cacah character
loop0:  mov Jcd0,#254         ; jalankan terus menerus
       mov Jcd1,#000         ; dalam 254 colom dot matrix led
       lcall tljln1          ; oke
;
loop1: lcall bc_gas          ; \
       mov A,Dgas           ; |
       mov B,#50             ; | if kurang dari 1/3
       div AB               ; |
       jnz loop2             ; /
       mov DPTR,#013          ; \
       mov A,#'R'             ; |
       movx @DPTR,A          ; |
       lcall wt_wr            ; |
       inc DPTR              ; |
       mov A,#'e'             ; |
       movx @DPTR,A          ; |
       lcall wt_wr            ; |
       inc DPTR              ; |
       mov A,#'n'             ; |
       movx @DPTR,A          ; |
       lcall wt_wr            ; |
       inc DPTR              ; |
       mov A,#'d'             ; | tulis rendah
       movx @DPTR,A          ; |
       lcall wt_wr            ; |
       inc DPTR              ; |
       mov A,#'a'             ; |
       movx @DPTR,A          ; |
       lcall wt_wr            ; |
       inc DPTR              ; |
       mov A,#'h'             ; |
       movx @DPTR,A          ; |
       lcall wt_wr            ; |
       ljmp loop4             ; /
;
loop2:  mov A,Dgas           ; \
       mov B,#100             ; | if antara
       div AB               ; | 1/3 - 2/3
       jnz loop3             ; /
       mov DPTR,#013          ; \
       mov A,#'S'             ; |
       movx @DPTR,A          ; |
       lcall wt_wr            ; |
       inc DPTR              ; |

```

```

mov A,#'e' ;|
movx @DPTR,A ;|
lcall wt_wr ;|
inc DPTR ;|
mov A,#'d' ;|
movx @DPTR,A ;|
lcall wt_wr ;|
inc DPTR ;|
mov A,#'a' ;| tulis sedang
movx @DPTR,A ;|
lcall wt_wr ;|
inc DPTR ;|
mov A,#'n' ;|
movx @DPTR,A ;|
lcall wt_wr ;|
inc DPTR ;|
mov A,#'g' ;|
movx @DPTR,A ;|
lcall wt_wr ;|
ljmp loop4 ;|
;
loop3: mov DPTR,#013 ;\
    mov A,#'T' ;|
    movx @DPTR,A ;|
    lcall wt_wr ;|
    inc DPTR ;|
    mov A,#'i' ;|
    movx @DPTR,A ;|
    lcall wt_wr ;|
    inc DPTR ;|
    mov A,#'n' ;|
    movx @DPTR,A ;|
    lcall wt_wr ;|
    inc DPTR ;| if lebih dari 2/3
    mov A,#'g' ;| tulis tinggi
    movx @DPTR,A ;|
    lcall wt_wr ;|
    inc DPTR ;|
    mov A,#'g' ;|
    movx @DPTR,A ;|
    lcall wt_wr ;|
    inc DPTR ;|
    mov A,#'i' ;|
    movx @DPTR,A ;|
    lcall wt_wr ;|
;
loop4: mov DpcL,#013 ; ambil dari data pointer
        mov DpcH,#000 ; address 13
        lcall cchrng ; cacah range
;

```

```

mov DPTR,#lokup0      ;\
mov A,Dgas            ;|
movc A,@A+DPTR        ;|
mov Dgs0,A            ;|
mov DPTR,#lokup1      ;| kalibrasi tabel
mov A,Dgas            ;|
movc A,@A+DPTR        ;|
mov Dgs1,A            ;|
mov Hex0,Dgs0          ;|
mov Hex1,Dgs1          ;|
lcall hexdec          ;/
mov DPTR,#angka        ;\
mov A,R3               ;|
movc A,@A+DPTR        ;|
mov R3,A               ;|
mov A,R2               ;|
movc A,@A+DPTR        ;| rubah nilai -> character
mov R2,A               ;|
mov A,R1               ;|
movc A,@A+DPTR        ;|
mov R1,A               ;|
mov A,R0               ;|
movc A,@A+DPTR        ;|
mov R0,A               ;/
;

; mov DPTR,#021          ;\
; mov A,R3               ;|
; movx @DPTR,A           ;| ;|
lcall wt_wr             ;|
inc DPTR                ;|
mov A,R2               ;|
movx @DPTR,A           ;| ;|
lcall wt_wr             ;|
inc DPTR                ;| simpan memory
mov A,R1               ;|
movx @DPTR,A           ;| ;|
lcall wt_wr             ;|
inc DPTR                ;|
mov A,R0               ;|
movx @DPTR,A           ;| ;|
lcall wt_wr             ;|
mov Dpcl,#021           ; ambil dari data pointer
mov DpcH,#000           ; address 21
lcall cchnil            ; cacah nilai
;

cjne R7,#0FFh,loop5
ljmp loop6
loop5: lcall delay2
lcall bc_sms
lcall rstcmd

```

```

    mov  SP,#07h
loop6: ljmp  loop0
;
clock: setb  Sclk
    clr  Sclk
    ret
;
tjln1: mov  DpdL,#100      ; jalan terus
    mov  DpdH,#000
    mov  Cnt1,#0
    mov  Cnt2,#1
tljl10: lcall bc_rtc      ;\
    jb  Sttm,tpljam      ;|
    mov  R0,Djam      ;|
    mov  R1,Dmnt      ;|
    mov  R2,Ddtk      ;/
tpljam: jnb  Sttm,tpltgl
    mov  R0,Dtgl      ;|
    mov  R1,Dbln      ;|
    mov  R2,Dthn      ;/
tpltgl: mov  DPL,DpdL
    mov  DPH,DpdH
    mov  Cnt0,#80
    lcall tulis0
    mov  DPL,DpdL
    mov  DPH,DpdH
    mov  Cnt0,#80
    lcall tulis1
    mov  DPL,DpdL
    mov  DPH,DpdH
    mov  Cnt0,#80
    lcall tulis2
    mov  DPL,DpdL
    mov  DPH,DpdH
    mov  Cnt0,#80
    lcall tulis3
    mov  DPL,DpdL
    mov  DPH,DpdH
    mov  Cnt0,#80
    lcall tulis4
    mov  DPL,DpdL
    mov  DPH,DpdH
    mov  Cnt0,#80
    lcall tulis5
    mov  DPL,DpdL
    mov  DPH,DpdH
    mov  Cnt0,#80
    lcall tulis6
    djnz  Cnt2,tljl12
    mov  Cnt2,#1

```

```

lcall gsrdat
mov A,Jcd1
jz tljl11
djnz Cnt1,tljl12
djnz Jcd1,tljl12
tljl11: mov A,Jcd0
jz tljl15
djnz Jcd0,tljl12
ljmp tljl15
tljl12: ljmp tljl10
tljl15: jb Sttm,tljl16
setb Sttm
ljmp tljl17
tljl16: jnb Sttm,tljl16
clr Sttm
tljl17: ret
;
gsrdot: inc DpdL
    mov A,DpdL
    jnz gsrdt
    inc DpdH
gsrdt: ret
;
tulis0: movx A,@DPTR
    mov C,Acc.1
    cpl C
    mov Sdta,C
    lcall clock
    inc DPTR
    djnz Cnt0,tulis0
    mov A,#72h          ;\
    lcall adrtx          ;|
    mov A,#00010000b    ;| nyalakan
    lcall dtatx          ;|
    lcall i2cstp          ;/
    mov DPTR,#angka0
    mov A,R0              ;\
    mov B,#10              ;|
    div AB                ;| ambil puluhan
    movc A,@A+DPTR        ;|
    mov P1,A               ;/
    mov A,#70h              ;\
    lcall adrtx          ;|
    mov A,#00000100b    ;| nyalakan
    lcall dtatx          ;|
    lcall i2cstp          ;/
    lcall delay1          ; wait
    mov A,#72h              ;\
    lcall adrtx          ;|
    mov A,#00000000b    ;| matikan

```

```

lcall dtatx ;|
lcall i2cstp ;|
mov A,#70h ;\
lcall adrtx ;|
mov A,#00000000b ;| matikan
lcall dtatx ;|
lcall i2cstp ;|
ret

;

tulis1: movx A,@DPTR
        mov C,Acc.2
        cpl C
        mov Sdta,C
        lcall clock
        inc DPTR
        djnz Cnt0,tulis1
        mov A,#72h ;\
        lcall adrtx ;|
        mov A,#00100000b ;| nyalakan
        lcall dtatx ;|
        lcall i2cstp ;|
        mov DPTR,#angka0
        mov A,R0 ;\
        mov B,#10 ;|
        div AB ;| ambil
        mov A,B ;| satuan
        movc A,@A+DPTR ;|
        mov P1,A ;/
        mov A,#70h ;\
        lcall adrtx ;|
        mov A,#00001000b ;| nyalakan
        lcall dtatx ;|
        lcall i2cstp ;|
        lcall delay1 ;| wait
        mov A,#72h ;\
        lcall adrtx ;|
        mov A,#00000000b ;| matikan
        lcall dtatx ;|
        lcall i2cstp ;|
        mov A,#70h ;\
        lcall adrtx ;|
        mov A,#00000000b ;| matikan
        lcall dtatx ;|
        lcall i2cstp ;|
ret

;

tulis2: movx A,@DPTR
        mov C,Acc.3
        cpl C
        mov Sdta,C

```

```

lcall clock
inc DPTR
djnz Cnt0,tulis2
mov A,#72h          ;\
lcall adrtx         ;|
mov A,#01000000b    ;| nyalakan
lcall dtatx         ;|
lcall i2cstp        ;/
mov DPTR,#angka0
mov A,R1            ;\
mov B,#10           ;|
div AB              ;| ambil puluhan
movc A,@A+DPTR     ;|
mov P1,A            ;/
mov A,#70h          ;\
lcall adrtx         ;|
mov A,#10000000b    ;| nyalakan
lcall dtatx         ;|
lcall i2cstp        ;/
lcall delay1        ; wait
mov A,#72h          ;\
lcall adrtx         ;|
mov A,#00000000b    ;| matikan
lcall dtatx         ;|
lcall i2cstp        ;/
mov A,#70h          ;\
lcall adrtx         ;|
mov A,#00000000b    ;| matikan
lcall dtatx         ;|
lcall i2cstp        ;/
ret
;

tulis3: movx A,@DPTR
        mov C,Acc.4
        cpl C
        mov Sdta,C
        lcall clock
        inc DPTR
        djnz Cnt0,tulis3
        mov A,#72h          ;\
        lcall adrtx         ;|
        mov A,#10000000b    ;| nyalakan
        lcall dtatx         ;|
        lcall i2cstp        ;/
        mov DPTR,#angka0
        mov A,R1            ;\
        mov B,#10           ;|
        div AB              ;| ambil
        mov A,B             ;| satuan
        movc A,@A+DPTR     ;|

```

```

mov P1,A          ;/
mov A,#70h        ;\
lcall adrtx       ;|
mov A,#01000000b  ;| nyalakan
lcall dtatx       ;|
lcall i2cstp      ;/
lcall delay1      ; wait
mov A,#72h        ;\
lcall adrtx       ;|
mov A,#00000000b  ;| matikan
lcall dtatx       ;|
lcall i2cstp      ;/
mov A,#70h        ;\
lcall adrtx       ;|
mov A,#00000000b  ;| matikan
lcall dtatx       ;|
lcall i2cstp      ;/
ret
;

tulis4: movx A,@DPTR
    mov C,Acc.5
    cpl C
    mov Sdta,C
    lcall clock
    inc DPTR
    djnz Cnt0,tulis4
    mov A,#72h      ;\
    lcall adrtx     ;|
    mov A,#00001000b ;| nyalakan
    lcall dtatx     ;|
    lcall i2cstp     ;/
    mov DPTR,#angka0
    mov A,R2         ;\
    mov B,#10         ;|
    div AB          ;| ambil puluhan
    movc A,@A+DPTR   ;|
    mov P1,A         ;/
    mov A,#70h        ;\
    lcall adrtx       ;|
    mov A,#00100000b  ;| nyalakan
    lcall dtatx       ;|
    lcall i2cstp      ;/
    lcall delay1      ; wait
    mov A,#72h        ;\
    lcall adrtx       ;|
    mov A,#00000000b  ;| matikan
    lcall dtatx       ;|
    lcall i2cstp      ;/
    mov A,#70h        ;\
    lcall adrtx       ;|

```

```

mov A,#00000000b      ; | matikan
lcall dtatx            ; |
lcall i2cstp            ;/
ret

;

tulis5: movx A,@DPTR
        mov C,Acc.6
        cpl C
        mov Sdta,C
        lcall clock
        inc DPTR
        djnz Cnt0,tulis5
        mov A,#72h      ; \
        lcall adrtx    ; |
        mov A,#00000100b ; | nyalakan
        lcall dtatx    ; |
        lcall i2cstp    ;/
        mov DPTR,#angka0
        mov A,R2       ; \
        mov B,#10       ; |
        div AB         ; | ambil
        mov A,B       ; | satuan
        movc A,@A+DPTR ; |
        mov P1,A      ; /
        mov A,#70h      ; \
        lcall adrtx    ; |
        mov A,#00010000b ; | nyalakan
        lcall dtatx    ; |
        lcall i2cstp    ;/
        lcall delay1   ; wait
        mov A,#72h      ; \
        lcall adrtx    ; |
        mov A,#00000000b ; | matikan
        lcall dtatx    ; |
        lcall i2cstp    ;/
        mov A,#70h      ; \
        lcall adrtx    ; |
        mov A,#00000000b ; | matikan
        lcall dtatx    ; |
        lcall i2cstp    ;/
        ret

;

tulis6: movx A,@DPTR
        mov C,Acc.7
        cpl C
        mov Sdta,C
        lcall clock
        inc DPTR
        djnz Cnt0,tulis6
        mov A,#72h      ; \

```

```

lcall adrtx ;|
mov A,#00000010b ;| nyalakan
lcall dtatx ;|
lcall i2cstp ;/
lcall delay1 ; wait
mov A,#72h ;\
lcall adrtx ;|
mov A,#00000000b ;| matikan
lcall dtatx ;|
lcall i2cstp ;/
ret

;

cchchr: mov DpdL,#180 ; cacah character
        mov DpdH,#000
        mov DPL,DpcL
        mov DPH,DpcH

cchch: movx A,@DPTR
        lcall chrdot
        mov DPL,DpcL
        mov DPH,DpcH
        inc DPTR
        mov DpcL,DPL
        mov DpcH,DPH
        djnz Jchr,cchch
        ret

;

cchrng: mov Jchr,#6 ; jumlah character ascii
        mov DpDL,#002 ; start = 180 + (13chr * 6dot)
        mov DpdH,#001 ;      = 180 + 78
        mov DPL,DpcL ;      = 258
        mov DPH,DpcH

ccrng: movx A,@DPTR
        lcall chrdot
        mov DPL,DpcL
        mov DPH,DpcH
        inc DPTR
        mov DpcL,DPL
        mov DpcH,DPH
        djnz Jchr,ccrng
        ret

;

cchnil: mov Jchr,#4 ; jumlah character ascii
        mov DpDL,#050 ; start = 180 + (21chr * 6dot)
        mov DpdH,#001 ;      = 180 + 126
        mov DPL,DpcL ;      = 306
        mov DPH,DpcH

ccnil: movx A,@DPTR
        lcall chrdot
        mov DPL,DpcL
        mov DPH,DpcH

```

```

inc  DPTR
mov  Dpcl,DPL
mov  DpcH,DPH
djnz Jchr,ccnil
ret

;
chrdot: mov  DPTR,#chrksg
        cjne A,#'A',chdt00
        mov  DPTR,#charAb
        lcall ambdta
        lcall tlsmem
        ljmp chdt99
chdt00: cjne A,#'B',chdt01
        mov  DPTR,#charBb
        lcall ambdta
        lcall tlsmem
        ljmp chdt99
chdt01: cjne A,#'C',chdt02
        mov  DPTR,#charCb
        lcall ambdta
        lcall tlsmem
        ljmp chdt99
chdt02: cjne A,#'D',chdt03
        mov  DPTR,#charDb
        lcall ambdta
        lcall tlsmem
        ljmp chdt99
chdt03: cjne A,#'E',chdt04
        mov  DPTR,#charEb
        lcall ambdta
        lcall tlsmem
        ljmp chdt99
chdt04: cjne A,#'F',chdt05
        mov  DPTR,#charFb
        lcall ambdta
        lcall tlsmem
        ljmp chdt99
chdt05: cjne A,#'G',chdt06
        mov  DPTR,#charGb
        lcall ambdta
        lcall tlsmem
        ljmp chdt99
chdt06: cjne A,#'H',chdt07
        mov  DPTR,#charHb
        lcall ambdta
        lcall tlsmem
        ljmp chdt99
chdt07: cjne A,#'I',chdt08
        mov  DPTR,#charIb
        lcall ambdta

```

```

lcall tlsmem
ljmp chdt99
chdt08: cjne A,#'J',chdt09
    mov DPTR,#charJb
    lcall ambdta
    lcall tlsmem
    ljmp chdt99
chdt09: cjne A,#'K',chdt10
    mov DPTR,#charKb
    lcall ambdta
    lcall tlsmem
    ljmp chdt99
chdt10: cjne A,#'L',chdt11
    mov DPTR,#charLb
    lcall ambdta
    lcall tlsmem
    ljmp chdt99
chdt11: cjne A,#'M',chdt12
    mov DPTR,#charMb
    lcall ambdta
    lcall tlsmem
    ljmp chdt99
chdt12: cjne A,#'N',chdt13
    mov DPTR,#charNb
    lcall ambdta
    lcall tlsmem
    ljmp chdt99
chdt13: cjne A,#'O',chdt14
    mov DPTR,#charOb
    lcall ambdta
    lcall tlsmem
    ljmp chdt99
chdt14: cjne A,#'P',chdt15
    mov DPTR,#charPb
    lcall ambdta
    lcall tlsmem
    ljmp chdt99
chdt15: cjne A,#'Q',chdt16
    mov DPTR,#charQb
    lcall ambdta
    lcall tlsmem
    ljmp chdt99
chdt16: cjne A,#'R',chdt17
    mov DPTR,#charRb
    lcall ambdta
    lcall tlsmem
    ljmp chdt99
chdt17: cjne A,#'S',chdt18
    mov DPTR,#charSb
    lcall ambdta

```

```

lcall tlsmem
ljmp chdt99
chdt18: cjne A,#'T',chdt19
        mov DPTR,#charTb
        lcall ambdta
        lcall tlsmem
        ljmp chdt99
chdt19: cjne A,#'U',chdt20
        mov DPTR,#charUb
        lcall ambdta
        lcall tlsmem
        ljmp chdt99
chdt20: cjne A,#'V',chdt21
        mov DPTR,#charVb
        lcall ambdta
        lcall tlsmem
        ljmp chdt99
chdt21: cjne A,#'W',chdt22
        mov DPTR,#charWb
        lcall ambdta
        lcall tlsmem
        ljmp chdt99
chdt22: cjne A,#'X',chdt23
        mov DPTR,#charXb
        lcall ambdta
        lcall tlsmem
        ljmp chdt99
chdt23: cjne A,#'Y',chdt24
        mov DPTR,#charYb
        lcall ambdta
        lcall tlsmem
        ljmp chdt99
chdt24: cjne A,#'Z',chdt25
        mov DPTR,#charZb
        lcall ambdta
        lcall tlsmem
        ljmp chdt99
chdt25: cjne A,#'a',chdt26
        mov DPTR,#charak
        lcall ambdta
        lcall tlsmem
        ljmp chdt99
chdt26: cjne A,#'b',chdt27
        mov DPTR,#charbk
        lcall ambdta
        lcall tlsmem
        ljmp chdt99
chdt27: cjne A,#'c',chdt28
        mov DPTR,#charck
        lcall ambdta

```

```

lcall tlsmem
ljmp chdt99
chdt28: cjne A,#'d',chdt29
    mov DPTR,#chardk
    lcall ambdta
    lcall tlsmem
    ljmp chdt99
chdt29: cjne A,#'e',chdt30
    mov DPTR,#charek
    lcall ambdta
    lcall tlsmem
    ljmp chdt99
chdt30: cjne A,#'f',chdt31
    mov DPTR,#charfk
    lcall ambdta
    lcall tlsmem
    ljmp chdt99
chdt31: cjne A,#'g',chdt32
    mov DPTR,#chargk
    lcall ambdta
    lcall tlsmem
    ljmp chdt99
chdt32: cjne A,#'h',chdt33
    mov DPTR,#charhk
    lcall ambdta
    lcall tlsmem
    ljmp chdt99
chdt33: cjne A,#'i',chdt34
    mov DPTR,#charik
    lcall ambdta
    lcall tlsmem
    ljmp chdt99
chdt34: cjne A,#'j',chdt35
    mov DPTR,#charjk
    lcall ambdta
    lcall tlsmem
    ljmp chdt99
chdt35: cjne A,#'k',chdt36
    mov DPTR,#charkk
    lcall ambdta
    lcall tlsmem
    ljmp chdt99
chdt36: cjne A,#'l',chdt37
    mov DPTR,#charlk
    lcall ambdta
    lcall tlsmem
    ljmp chdt99
chdt37: cjne A,#'m',chdt38
    mov DPTR,#charmk
    lcall ambdta

```

```

lcall tlsmem
ljmp chdt99
chdt38: cjne A,#'n',chdt39
    mov DPTR,#charnk
    lcall ambdta
    lcall tlsmem
    ljmp chdt99
chdt39: cjne A,#'o',chdt40
    mov DPTR,#charok
    lcall ambdta
    lcall tlsmem
    ljmp chdt99
chdt40: cjne A,#'p',chdt41
    mov DPTR,#charpk
    lcall ambdta
    lcall tlsmem
    ljmp chdt99
chdt41: cjne A,#'q',chdt42
    mov DPTR,#charqk
    lcall ambdta
    lcall tlsmem
    ljmp chdt99
chdt42: cjne A,#'r',chdt43
    mov DPTR,#charrk
    lcall ambdta
    lcall tlsmem
    ljmp chdt99
chdt43: cjne A,#'s',chdt44
    mov DPTR,#charsk
    lcall ambdta
    lcall tlsmem
    ljmp chdt99
chdt44: cjne A,#'t',chdt45
    mov DPTR,#chartk
    lcall ambdta
    lcall tlsmem
    ljmp chdt99
chdt45: cjne A,#'u',chdt46
    mov DPTR,#charuk
    lcall ambdta
    lcall tlsmem
    ljmp chdt99
chdt46: cjne A,#'v',chdt47
    mov DPTR,#charvk
    lcall ambdta
    lcall tlsmem
    ljmp chdt99
chdt47: cjne A,#'w',chdt48
    mov DPTR,#charwk
    lcall ambdta

```

```

lcall tlsmem
ljmp chdt99
chdt48: cjne A,#'x',chdt49
    mov DPTR,#charxk
    lcall ambdta
    lcall tlsmem
    ljmp chdt99
chdt49: cjne A,#'y',chdt50
    mov DPTR,#charyk
    lcall ambdta
    lcall tlsmem
    ljmp chdt99
chdt50: cjne A,#'z',chdt51
    mov DPTR,#charzk
    lcall ambdta
    lcall tlsmem
    ljmp chdt99
chdt51: cjne A,#'0',chdt52
    mov DPTR,#charn0
    lcall ambdta
    lcall tlsmem
    ljmp chdt99
chdt52: cjne A,#'1',chdt53
    mov DPTR,#charn1
    lcall ambdta
    lcall tlsmem
    ljmp chdt99
chdt53: cjne A,#'2',chdt54
    mov DPTR,#charn2
    lcall ambdta
    lcall tlsmem
    ljmp chdt99
chdt54: cjne A,#'3',chdt55
    mov DPTR,#charn3
    lcall ambdta
    lcall tlsmem
    ljmp chdt99
chdt55: cjne A,#'4',chdt56
    mov DPTR,#charn4
    lcall ambdta
    lcall tlsmem
    ljmp chdt99
chdt56: cjne A,#'5',chdt57
    mov DPTR,#charn5
    lcall ambdta
    lcall tlsmem
    ljmp chdt99
chdt57: cjne A,#'6',chdt58
    mov DPTR,#charn6
    lcall ambdta

```

```

lcall tlsmem
ljmp chdt99
chdt58: cjne A,#'7',chdt59
    mov DPTR,#charn7
    lcall ambdta
    lcall tlsmem
    ljmp chdt99
chdt59: cjne A,#'8',chdt60
    mov DPTR,#charn8
    lcall ambdta
    lcall tlsmem
    ljmp chdt99
chdt60: cjne A,#'9',chdt61
    mov DPTR,#charn9
    lcall ambdta
    lcall tlsmem
    ljmp chdt99
chdt61: cjne A,':',chdt62
    mov DPTR,#chrtt2
    lcall ambdta
    lcall tlsmem
    ljmp chdt99
chdt62: cjne A,'/',chdt63
    mov DPTR,#chrgrm
    lcall ambdta
    lcall tlsmem
    ljmp chdt99
chdt63: cjne A,'.',chdt64
    mov DPTR,#chrttk
    lcall ambdta
    lcall tlsmem
    ljmp chdt99
chdt64: cjne A,' ',chdt65
    mov DPTR,#chrsp
    lcall ambdta
    lcall tlsmem
chdt65: cjne A,',',chdt66
    mov DPTR,#chrkom
    lcall ambdta
    lcall tlsmem
chdt66: cjne A,':',chdt67
    mov DPTR,#chrtkm
    lcall ambdta
    lcall tlsmem
chdt67: cjne A,['',chdt68
    mov DPTR,#chrbkr
    lcall ambdta
    lcall tlsmem
chdt68: cjne A,[']',chdt69
    mov DPTR,#chrtpr

```

```

lcall ambdta
lcall tlsmem
chdt69: cjne A,#'=',chdt70
    mov DPTR,#chrsg
    lcall ambdta
    lcall tlsmem
chdt70: cjne A,#'-',chdt99
    mov DPTR,#chrstr
    lcall ambdta
    lcall tlsmem
chdt99: ret
;
ambdta: clr A
    movc A,@A+DPTR
    mov Buf0,A
    inc DPTR
    clr A
    movc A,@A+DPTR
    mov Buf1,A
    inc DPTR
    clr A
    movc A,@A+DPTR
    mov Buf2,A
    inc DPTR
    clr A
    movc A,@A+DPTR
    mov Buf3,A
    inc DPTR
    clr A
    movc A,@A+DPTR
    mov Buf4,A
    inc DPTR
    clr A
    movc A,@A+DPTR
    mov Buf5,A
    ret
;
tlsmem: mov DPL,DpdL
    mov DPH,DpdH
    mov A,Buf0
    movx @DPTR,A
    lcall wt_wr
    inc DPTR
    mov A,Buf1
    movx @DPTR,A
    lcall wt_wr
    inc DPTR
    mov A,Buf2
    movx @DPTR,A
    lcall wt_wr

```

```

inc  DPTR
mov  A,Buf3
movx @DPTR,A
lcall wt_wr
inc  DPTR
mov  A,Buf4
movx @DPTR,A
lcall wt_wr
inc  DPTR
mov  A,Buf5
movx @DPTR,A
lcall wt_wr
inc  DPTR
mov  DpdL,DPL
mov  DpdH,DPH
ret
;
clrdot: mov  DPTR,#100      ; clear colom dot matrix
        mov  Cnt0,#4
        mov  Cnt1,#80
cldot:  mov  A,#0
        movx @DPTR,A
        lcall wt_wr
        inc  DPTR
        djnz Cnt1,cldot
        djnz Cnt0,cldot
        ret
;
wt_wr: lcall delay0
        ret
;
charAb: DB  07Eh,090h,090h,090h,07Eh,000h
charBb: DB  0FEh,092h,092h,092h,06Ch,000h
charCb: DB  07Ch,082h,082h,082h,044h,000h
charDb: DB  0FEh,082h,082h,044h,038h,000h
charEb: DB  0FEh,092h,092h,092h,082h,000h
charFb: DB  0FEh,090h,090h,090h,080h,000h
charGb: DB  07Ch,082h,092h,092h,05Ch,000h
charHb: DB  0FEh,010h,010h,010h,0FEh,000h
charIb: DB  000h,082h,0FEh,082h,000h,000h
charJb: DB  004h,002h,082h,0FCCh,080h,000h
charKb: DB  0FEh,010h,028h,044h,082h,000h
charLb: DB  0FEh,002h,002h,002h,002h,000h

```

charMb:	DB	0FEh,040h,030h,040h,0FEh,000h
charNb:	DB	0FEh,020h,010h,008h,0FEh,000h
charOb:	DB	07Ch,082h,082h,082h,07Ch,000h
charPb:	DB	0FEh,090h,090h,090h,060h,000h
charQb:	DB	07Ch,082h,08Ah,084h,07Ah,000h
charRb:	DB	0FEh,090h,098h,094h,062h,000h
charSb:	DB	064h,092h,092h,092h,04Ch,000h
charTb:	DB	080h,080h,0FEh,080h,080h,000h
charUb:	DB	0FCh,002h,002h,002h,0FCh,000h
charVb:	DB	0F8h,004h,002h,004h,0F8h,000h
charWb:	DB	0FCh,002h,01Ch,002h,0FCh,000h
charXb:	DB	0C6h,028h,010h,028h,0C6h,000h
charYb:	DB	0E0h,010h,00Eh,010h,0E0h,000h
charZb:	DB	086h,08Ah,092h,0A2h,0C2h,000h
charak:	DB	004h,02Ah,02Ah,02Ah,01Eh,000h
charbk:	DB	0FEh,012h,022h,022h,01Ch,000h
charck:	DB	01Ch,022h,022h,022h,004h,000h
chardk:	DB	01Ch,022h,022h,012h,0FEh,000h
charek:	DB	01Ch,02Ah,02Ah,02Ah,018h,000h
charfk:	DB	010h,07Eh,090h,080h,040h,000h
chargk:	DB	010h,02Ah,02Ah,02Ah,03Ch,000h
charhk:	DB	0FEh,010h,020h,020h,01Eh,000h
charik:	DB	000h,022h,0BEh,002h,000h,000h
charjk:	DB	004h,002h,022h,0BCh,000h,000h
charkk:	DB	0FEh,008h,014h,022h,000h,000h
charlk:	DB	000h,082h,0FEh,002h,000h,000h
charmk:	DB	03Eh,020h,018h,020h,01Eh,000h
charnk:	DB	03Eh,010h,020h,020h,01Eh,000h
charok:	DB	01Ch,022h,022h,022h,01Ch,000h
charpk:	DB	03Eh,028h,028h,028h,010h,000h
charqk:	DB	010h,028h,028h,018h,03Eh,000h
charrk:	DB	03Eh,010h,020h,020h,010h,000h
charsk:	DB	012h,02Ah,02Ah,02Ah,024h,000h
chartk:	DB	020h,0FCh,022h,002h,004h,000h
charuk:	DB	03Ch,002h,002h,004h,03Eh,000h
charvk:	DB	038h,004h,002h,004h,038h,000h
charwk:	DB	03Ch,002h,004h,002h,03Ch,000h
charxk:	DB	022h,014h,008h,014h,022h,000h
charyk:	DB	030h,00Ah,00Ah,00Ah,03Ch,000h
charzk:	DB	022h,026h,02Ah,032h,022h,000h
charn0:	DB	07Ch,082h,082h,082h,07Ch,000h
charn1:	DB	000h,042h,0FEh,002h,000h,000h
charn2:	DB	042h,086h,08Ah,092h,062h,000h
charn3:	DB	084h,082h,0A2h,0D2h,08Ch,000h
charn4:	DB	018h,028h,048h,0FEh,008h,000h
charn5:	DB	0E4h,0A2h,0A2h,0A2h,09Ch,000h
charn6:	DB	03Ch,052h,092h,092h,00Ch,000h
charn7:	DB	080h,080h,09Eh,0A0h,0C0h,000h
charn8:	DB	06Ch,092h,092h,092h,06Ch,000h

```

charn9: DB    060h,092h,092h,094h,078h,000h

chr2t: DB    000h,000h,024h,000h,000h,000h ; titik dua
chrgrm: DB    004h,008h,010h,020h,040h,000h ; garis miring
chrtk: DB    000h,000h,002h,000h,000h,000h ; titik

chrkom: DB    000h,00Ah,00Ch,000h,000h,000h ; koma
chrtkm: DB    000h,06Ah,06Ch,000h,000h,000h ; titik koma
chrbkr: DB    000h,0FEh,082h,082h,000h,000h ; buka kurung
chrtpr: DB    000h,082h,082h,0FEh,000h,000h ; tutup kurung
chrsdg: DB    028h,028h,028h,028h,028h,000h ; sama dengan
chrstr: DB    010h,010h,010h,010h,010h,000h ; strip

chrspc: DB    000h,000h,000h,000h,000h,000h ; spasi
chrksg: DB    000h,000h,000h,000h,000h,000h ; kosong
;

bc_rtc: mov  A,#0D0h ; address DS1307 write address
    lcall adrtx ; send
    mov   A,#000h ; register second
    lcall dtax ; send
    mov   A,#0D1h ; address DS1307 read address
    lcall adrtx ; send
    lcall dtarx ; read data
    lcall bcddec ; convert bcd to dec
    mov   Ddtk,A ; save second (time)
    lcall givack ; send ack
    lcall dtarx ; read data
    lcall bcddec ; convert bcd to dec
    mov   Dmnt,A ; save minute (time)
    lcall givack ; send ack
    lcall dtarx ; read data
    lcall bcddec ; convert bcd to dec
    mov   Djam,A ; save hour (time)
    lcall givack ; send ack
    lcall dtarx ; read data
    lcall givack ; send ack
    lcall dtarx ; read data
    lcall bcddec ; convert bcd to dec
    mov   Dtgl,A ; save date (time)
    lcall givack ; send ack
    lcall dtarx ; read data
    lcall bcddec ; convert bcd to dec
    mov   Dbln,A ; save month (time)
    lcall givack ; send ack
    lcall dtarx ; read data
    lcall bcddec ; convert bcd to dec
    mov   Dthn,A ; save year (time)
    lcall i2cstp ; i2c stop
    ret
;

```

```

bc_gas: mov A,#90h ; address PCF8591 write address
        lcall adrtx ; kirim
        mov A,#00h ; adc ch-1
        lcall dtax ; kirim
        mov A,#91h ; address PCF8591 read address
        lcall adrtx ; kirim
        lcall dtax ; baca data
        lcall givack ; beri ack
        lcall dtax ; baca data
        lcall i2cstp ; i2c stop
        mov Dadc,A ; simpan data ADC sensor gas
        mov A,#150 ;\
        mov B,Dadc ;|
        clr C ;|
        subb A,B ;|
        jnc bcgas ;|
        mov A,#0 ;|
bcgas: mov Dgas,A ;/
        ret ;|
;
hexdec: mov R0,#0 ; cacah urut
        mov R1,#0
        mov R2,#0
        mov R3,#0
        mov A,Hex1
        jz hexdc1
        mov Buf0,#0
hexdc0: lcall incdec
        djnz Buf0,hexdc0
        djnz Hex1,hexdc0
hexdc1: mov A,Hex0
        jz hexdc3
hexdc2: lcall incdec
        djnz Hex0,hexdc2
hexdc3: ret
;
incdec: inc R0 ; increment decimal
        cjne R0,#10,indec
        mov R0,#0
        inc R1
        cjne R1,#10,indec
        mov R1,#0
        inc R2
        cjne R2,#10,indec
        mov R2,#0
        inc R3
        cjne R3,#10,indec
        mov R3,#0
indec: ret
;

```

```

adrtx: lcall i2cstr          ; kirim address
      lcall putbit           ; kirim data
      ret                   ; back
;
dtatx: lcall putbit          ; kirim data
      ret                   ; back
;
dtarx: lcall getbit          ; terima data
      ret                   ; back
;
putbit: mov R6,#8            ;\
putbt: RLC A                 ;|
      mov ISDA,C            ;|
      setb ISCL              ;|
      clr ISCL               ;| kirim bit
      djnz R6,putbt          ;|
      setb ISDA              ;|
      lcall getack            ;|
      ret                   ;/
;
getbit: mov R6,#8            ;\
getbt: setb ISCL             ;|
      mov C,ISDA             ;|
      RLC A                  ;| terima bit
      clr ISCL               ;|
      djnz R6,getbt          ;|
      setb ISDA              ;|
      ret                   ;/
;
getack: setb ISDA            ;\
      setb ISCL              ;|
ackbit: mov C,ISDA           ;| tunggu ack
      jc ackbit              ;| D=1, C=1D=0, C=0
      clr ISCL               ;|
      ret                   ;/
;
givack: clr ISDA             ;\
      setb ISCL              ;|
      clr ISCL               ;| kirim ack -> D=0, C=1, C=0, D=1
      setb ISDA              ;|
      ret                   ;/
;
i2cstr: setb ISCL            ;\
      setb ISDA              ;|
      clr ISDA               ;| i2c start -> C=1, D=1, D=0, C=0
      clr ISCL              ;|
      ret                   ;/
;
i2cstp: clr ISDA             ;\
      setb ISCL              ;|

```

```

setb ISDA           ; | i2c stop -> D=0, C=1, D=1, C=0
clr ISCL           ; |
ret                ;/
;

bcddec: mov R1,A
    anl A,#11110000b
    RR A
    RR A
    RR A
    RR A
bcddec0: cjne A,#0,bcddec1
    mov A,R1
    ljmp bcddec6
bcddec1: cjne A,#1,bcddec2
    mov A,R1
    mov B,#6
    clr C
    subb A,B
    ljmp bcddec6
bcddec2: cjne A,#2,bcddec3
    mov A,R1
    mov B,#12
    clr C
    subb A,B
    ljmp bcddec6
bcddec3: cjne A,#3,bcddec4
    mov A,R1
    mov B,#18
    clr C
    subb A,B
    ljmp bcddec6
bcddec4: cjne A,#4,bcddec5
    mov A,R1
    mov B,#24
    clr C
    subb A,B
    ljmp bcddec6
bcddec5: cjne A,#5,bcddec6
    mov A,R1
    mov B,#30
    clr C
    subb A,B
bcddec6: ret
;

bc_sms: lcall bcnohp      ; \
    jnb Sttc,bcsms0     ; | baca no HP
    lcall bccmnd        ; | cek status
    lcall hpssms        ; | 0=hapus sms, 1=baca command
    ljmp bcsms1          ; | hapus sms
bcsms0: lcall hpssms     ; | cek command

```

```

    ret          ;/
;

bcsms1: mov DPTR,#comnd0      ;\
    lcall ckcmnd           ;| ambil data command
    jnb Sttc,bcsms2        ;| cek command
    lcall krmsns           ;| kirim data sensor
    ljmp bcsms3            ;/

;
bcsms2: mov DPTR,#comnd1      ;\
    lcall ckcmnd           ;| ambil data command
    jnb Sttc,bcsms3        ;| cek command
    lcall bc_tim            ;| kirim data sensor
    ljmp bcsms3            ;/

;
bcsms3: ret

;
krmsns: lcall nilpdu         ; rubah nilai sensor -> PDU
    mov DPTR,#smskrm
    mov ChrH,#10
    lcall kr_ins
    lcall bc_fbk
    mov Dly3,#1
    lcall delay3
    mov DPTR,#sensor
    mov ChrH,#44
    lcall kr_dta
    lcall kr_pdu
    lcall bc_fbk
    mov Dly3,#1
    lcall delay3
    ret

;
nilpdu: mov Chr0,R3          ; nilai -> PDU
    mov Chr1,R2
    mov Chr2,R1
    mov Chr3,R0
    mov Chr4,#' '
    mov Chr5,#'p'
    mov Chr6,#'p'
    mov Chr7,#'m'
    lcall jd_pdu
    ret

;
bcnohp: mov DPTR,#smsred      ;\
    mov ChrH,#9             ;|
    lcall kr_ins            ;| baca no hp
    mov Cntr,#35            ;| header sms + service center
    lcall bc_fbk            ;| dihilangkan
bcnolp: lcall bc_srl          ;|
    djnz Cntr,bcnolp        ;|

```

```

lcall bc_dta          ;/
;
cknohp: mov DPTR,#nohpku      ;\
    mov Cntr,#12      ; | jumlah no hp = 14
    mov Cnsm,#0       ; | reset counter sms
    mov Cndt,#0       ; | reset counter no hp
cknhp0: lcall Dtasm          ; | ambil data counter sms
    lcall Dtanhp        ; | ambil data counter no hp
    clr C              ; |
    subb A,B           ; | samakan
    cjne A,#0,cknhp1   ; | jika sama
    inc Cnsm          ; | ambil data counter sms selanjutnya
    inc Cndt          ; | ambil data counter no hp selanjutnya
    djnz Cntr,cknhp0   ; | cek sampai no hp habis
    setb Sttc          ; | set status = 1
    ljmp cknhp2        ; | jika tidak
cknhp1: clr Sttc            ; | set status = 0
cknhp2: ret                ;/
;
dtanhp: mov A,Cndt          ; \
    movc A,@A+DPTR     ; | ambil data pointer yang ke cndt
    ret                ;/
;
bccmnd: mov DPTR,#smsred    ; \
    mov ChrH,#9         ; |
    lcall kr_ins        ; | baca command
    mov Cntr,#67        ; | header sms + service center
    lcall bc_fbk        ; | + no HP
bccmlp: lcall bc_srl        ; | dihilangkan
    djnz Cntr,bccmlp   ; |
    lcall bc_dta        ; |
; lcall tl_dta             ; |
    ret                ;/
;
ckcmnd: mov Cntr,#08        ; \
    mov Cnsm,#0       ; | jumlah command
    mov Cndt,#0       ; | reset counter sms
ckcnd0: lcall Dtasm          ; | reset counter command
    lcall Dtacmd        ; | ambil data counter sms
    clr C              ; | ambil data counter command
    subb A,B           ; | samakan
    cjne A,#0,ckcnd1   ; | jika sama
    inc Cnsm          ; | ambil data counter sms selanjutnya
    inc Cndt          ; | ambil data counter command selanjutnya
    djnz Cntr,ckcnd0   ; | cek sampai command habis
    setb Sttc          ; | set status = 1
    ljmp cknd2         ; | jika tidak
ckcnd1: clr Sttc            ; | set status = 0
ckcnd2: ret                ;/
;

```

```

dtacmd: mov A,Cndt ;\
        movc A,@A+DPTR ;| ambil data pointer yang ke cndt
        ret ;/
;

dtasms: clr C ;\
        mov A,Cnsm ;|
dtsm00: cjne A,#00,dtsm01 ;|
        mov B,Chr0 ;|
dtsm01: cjne A,#01,dtsm02 ;|
        mov B,Chr1 ;|
dtsm02: cjne A,#02,dtsm03 ;|
        mov B,Chr2 ;|
dtsm03: cjne A,#03,dtsm04 ;|
        mov B,Chr3 ;|
dtsm04: cjne A,#04,dtsm05 ;|
        mov B,Chr4 ;|
dtsm05: cjne A,#05,dtsm06 ;|
        mov B,Chr5 ;|
dtsm06: cjne A,#06,dtsm07 ;|
        mov B,Chr6 ;|
dtsm07: cjne A,#07,dtsm08 ;|
        mov B,Chr7 ;| samakan data counter
dtsm08: cjne A,#08,dtsm09 ;| dengan character
        mov B,Chr8 ;|
dtsm09: cjne A,#09,dtsm0A ;|
        mov B,Chr9 ;|
dtsm0A: cjne A,#10,dtsm0B ;|
        mov B,ChrA ;|
dtsm0B: cjne A,#11,dtsm0C ;|
        mov B,ChrB ;|
dtsm0C: cjne A,#12,dtsm0D ;|
        mov B,ChrC ;|
dtsm0D: cjne A,#13,dtsm0E ;|
        mov B,ChrD ;|
dtsm0E: cjne A,#14,dtsm0F ;|
        mov B,ChrE ;|
dtsm0F: cjne A,#15,dtsmsx ;|
        mov B,ChrF ;|
dtsmsx: ret ;/
;

bc_dta: lcall bc_srl ;\
        mov Chr0,R7 ;|
        lcall bc_srl ;|
        mov Chr1,R7 ;|
        lcall bc_srl ;|
        mov Chr2,R7 ;|
        lcall bc_srl ;|
        mov Chr3,R7 ;|
        lcall bc_srl ;|
        mov Chr4,R7 ;|

```

```

lcall bc_srl          ;|
mov Chr5,R7           ;|
lcall bc_srl          ;|
mov Chr6,R7           ;|
lcall bc_srl          ;|
mov Chr7,R7           ;|
lcall bc_srl          ;|
mov Chr8,R7           ;| baca serial & simpan
lcall bc_srl          ;| ke memory character
mov Chr9,R7           ;|
lcall bc_srl          ;|
mov ChrA,R7           ;|
lcall bc_srl          ;|
mov ChrB,R7           ;|
lcall bc_srl          ;|
mov ChrC,R7           ;|
lcall bc_srl          ;|
mov ChrD,R7           ;|
lcall bc_srl          ;|
mov ChrE,R7           ;|
lcall bc_srl          ;|
mov ChrF,R7           ;|
mov Dly3,#5           ;|
lcall delay3          ;|
ret                   ;/|
;|
kr_ins: clr A         ;\
    movc A,@A+DPTR     ;|
    lcall kr_srl        ;|
    inc DPTR            ;| kirim instruksi ke hp
    djnz ChrH,kr_ins   ;| sebagai awal pengiriman data
    mov A,#0Dh          ;|
    lcall kr_srl        ;|
    ret                 ;/|
;|
kr_dta: clr A         ;\
    movc A,@A+DPTR     ;|
    lcall kr_srl        ;| kirim setengah data pdu
    inc DPTR            ;| yang sudah pasti
    djnz ChrH,kr_dta   ;|
    ret                 ;/|
;|
kr_srl: clr ES         ;\
    mov SBUF,A          ;|
    jnb TI,$             ;|
    clr TI               ;| kirim serial ke hp
    setb ES              ;|
    lcall delay0          ;|
    ret                 ;/|
;

```

```

bc_tim: mov DPTR,#smstim ;\
        mov ChrH,#8 ;| kirim
        lcall kr_ins ;| instruksi
        mov Cntr,#9 ;
        lcall bc_fbk ;
bctim: lcall bc_srl ;| dihilangkan
        djnz Cntr,bctim ;
        lcall bc_srl ;
        mov Chr0,R7 ;
        lcall bc_srl ;
        mov Chr1,R7 ;
        lcall bc_srl ;
        lcall bc_srl ;
        mov Chr2,R7 ;
        lcall bc_srl ;
        mov Chr3,R7 ;
        lcall bc_srl ;
        lcall bc_srl ;
        mov Chr4,R7 ;
        lcall bc_srl ;
        mov Chr5,R7 ;
        lcall bc_srl ;
        lcall bc_srl ;
        mov Chr6,R7 ;
        lcall bc_srl ;
        mov Chr7,R7 ;
        lcall bc_srl ;
        lcall bc_srl ;
        mov Chr8,R7 ;
        lcall bc_srl ;
        mov Chr9,R7 ;
        lcall bc_srl ;
        lcall bc_srl ;
        mov ChrA,R7 ;
        lcall bc_srl ;
        mov ChrB,R7 ;
        mov Dly3,#2
        lcall delay3
;
        mov A,Chr0
        lcall ascdec
        RL A
        RL A
        RL A
        RL A
        mov Chr0,A
        mov A,Chr1
        lcall ascdec
        orl A,Chr0
        mov Dthn,A

```

```
;  
    mov  A,Chr2  
    lcall ascdec  
    RL   A  
    RL   A  
    RL   A  
    RL   A  
    mov  Chr2,A  
    mov  A,Chr3  
    lcall ascdec  
    orl  A,Chr2  
    mov  Dbln,A  
;  
    mov  A,Chr4  
    lcall ascdec  
    RL   A  
    RL   A  
    RL   A  
    RL   A  
    mov  Chr4,A  
    mov  A,Chr5  
    lcall ascdec  
    orl  A,Chr4  
    mov  Dtgl,A  
;  
    mov  A,Chr6  
    lcall ascdec  
    RL   A  
    RL   A  
    RL   A  
    RL   A  
    mov  Chr6,A  
    mov  A,Chr7  
    lcall ascdec  
    orl  A,Chr6  
    mov  Djam,A  
;  
    mov  A,Chr8  
    lcall ascdec  
    RL   A  
    RL   A  
    RL   A  
    RL   A  
    mov  Chr8,A  
    mov  A,Chr9  
    lcall ascdec  
    orl  A,Chr8  
    mov  Dmnt,A  
;  
    mov  A,ChrA
```

```

lcall ascdec
RL A
RL A
RL A
RL A
mov ChrA,A
mov A,ChrB
lcall ascdec
orl A,ChrA
mov Ddtk,A
;
sttime: mov A,#0D0h ; address DS1307 write address
lcall adrtx ; send
mov A,#000h ; register second
lcall dtatx ; send
mov A,Ddtk ; data second (time)
lcall dtatx ; send
mov A,Dmnt ; data minute (time)
lcall dtatx ; send
mov A,Djam ; data hour (time)
lcall dtatx ; send
mov A,#01 ; data day (time)
lcall dtatx ; send
mov A,Dtgl ; data date (time)
lcall dtatx ; send
mov A,Dbln ; data month (time)
lcall dtatx ; send
mov A,Dthn ; data year (time)
lcall dtatx ; send
lcall i2cstp ; i2c stop
ret
;
ascdec: mov B,#30h ; ascii to decimal
clr C
subb A,B
ret
;
noecho: mov Dly3,#1 ;\
lcall delay3 ;|
mov DPTR,#smseco ;|
mov ChrH,#4 ;| kirim
lcall kr_ins ;| instruksi
lcall bc_fbk ;| no-echo ke hp
mov Dly3,#1 ;|
lcall delay3 ;|
ret ;|
;
dsminc: mov Dly3,#1 ;\
lcall delay3 ;|
mov DPTR,#smsfrm ;|

```

```

    mov  ChrH,#17          ; | kirim instruksi
    lcall kr_ins           ; | display-incoming-sms
    lcall bc_fbk            ; | ke hp
    mov  Dly3,#1             ;
    lcall delay3            ; |
    ret                     ;/
;
hpssms: mov  DPTR,#smshps      ;\
    mov  ChrH,#9             ;
    lcall kr_ins            ; | hapus sms
    lcall bc_fbk            ; | pada memory 1
    mov  Dly3,#1             ;
    lcall delay3            ; |
    ret                     ;/
;
bc_fbk: mov  R7,#0FFh          ; \
bc_fb0: cjne  R7,#0FFh,bc_fb1   ; | tunggu feedback
    ljmp  bc_fb0            ; | data dari hp
bc_fb1: ret                  ;/
;
bc_srl: mov  R7,#0FFh          ; \
    mov  Tmo0,#0             ;
    mov  Tmo1,#10            ; | baca serial
bc_sr0: cjne  R7,#0FFh,bc_sr1   ; | tunggu data bukan FF
    djnz  Tmo0,bc_sr0        ; | sebelum time out
    djnz  Tmo1,bc_sr0        ; |
bc_sr1: ret                  ;/
;
rstcmd: mov  R7,#0FFh          ; \
    ret                      ;
;
srl_in: mov  TMOD,#20h          ; \
    mov  TH1,#0FDh            ;
    mov  SCON,#50h            ;
    mov  A,#80h               ; | set baudrate
    orl  87h,A               ; | 19200bps
    setb TR1                 ;
    setb EA                  ; |
    setb ES                  ; |
    ret                      ;/
;
delay0: djnz  Dly0,delay0
    ret
;
delay1: mov  Dly1,#2
dely10: lcall delay0
    djnz  Dly1,dely10
    ret
;
delay2: mov  Dly2,#15

```

```

dely20: lcall delay0
    djnz Dly1,dely20
    djnz Dly2,dely20
    ret
;
delay3: lcall delay0
    djnz Dly1,delay3
    djnz Dly3,delay3
    ret
;
smseco: DB  'ATE0'
smsred: DB  'AT+CMGR=1'
smshps: DB  'AT+CMGD=1'
smskrm: DB  'AT+CMGS=28'
smstim: DB  'AT+CCLK?'
smsfrm: DB  'AT+CNMI=1,1,0,0,1'
comnd0: DB  'D3A2730A'      ; SENS
comnd1: DB  '532AB509'      ; STTM
;nohpku: DB  '265857151649F6' ; HP
nohpku: DB  '261831066448' ; HP
angka: DB  '0123456789ABCDEF' ; character angka
sensor: DB  '0001000D91265857151649F6000010D3B27BFE96EB40'
pdulpk: DB
'0001000D91265857151649F6000010D3B27BFE96EB4030180C0682C3DB'
ascii: DB  'Sensor: 0000 ppm'
;
angka0: DB  00111111b
    DB  00000110b
    DB  01011011b
    DB  01001111b
    DB  01100110b
    DB  01101101b
    DB  01111101b
    DB  00000111b
    DB  01111111b
    DB  01101111b
;
kr_pdu: mov DPTR,#angka          ;\
    mov R0,Chr0           ;|
        lcall cchpdu       ;|
    mov R0,Chr1           ;|
        lcall cchpdu       ;|
    mov R0,Chr2           ;|
        lcall cchpdu       ;| kirim PDU
    mov R0,Chr3           ;|
        lcall cchpdu       ;|
    mov R0,Chr4           ;|
        lcall cchpdu       ;|
    mov R0,Chr5           ;|
        lcall cchpdu       ;|

```

```

    mov  R0,Chr6          ;|
    lcall cchpdu          ;|
    mov  R0,Chr7          ;|
    lcall cchpdu          ;|
    mov  A,#26            ;|
    lcall kr_srl          ;|
    ret                  ;|
;
cchpdu: mov  A,R0          ;\
    anl  A,#0F0h          ;|
    RR   A                ;|
    RR   A                ;|
    RR   A                ;|
    RR   A                ;| cacah character
    movc A,@A+DPTR        ;| menjadi data hexa
    lcall kr_srl          ;|
    mov  A,R0              ;|
    anl  A,#00Fh          ;|
    movc A,@A+DPTR        ;|
    lcall kr_srl          ;|
    ret                  ;|
;
jd_pdu: mov  A,Chr1         ;\
    RR   A                ;| data1 geser 7x
    anl  A,#080h          ;| and dg 1000 0000
    orl  A,Chr0            ;| or dg data0
    mov  Chr0,A           ;/
    mov  A,Chr1            ;\
    anl  A,#11111110b      ;|
    RR   A                ;| data1 hilangkan bit0
    mov  Bufr,A            ;| data1 geser kanan 1x
    mov  A,Chr2            ;| simpan sementara
    RR   A                ;| and dg 1100 0000
    RR   A                ;| or dg bufr
    anl  A,#0C0h          ;|
    orl  A,Bufr            ;|
    mov  Chr1,A           ;/
    mov  A,Chr2            ;\
    anl  A,#11111100b      ;|
    RR   A                ;|
    RR   A                ;| data1 hilangkan bit0 & bit1
    mov  Bufr,A            ;| data1 geser kanan 2x
    mov  A,Chr3            ;| simpan sementara
    RR   A                ;| and dg 1110 0000
    RR   A                ;| or dg bufr
    RR   A                ;|
    anl  A,#0E0h          ;|
    orl  A,Bufr            ;|
    mov  Chr2,A           ;/
    mov  A,Chr3            ;\

```

```

anl A,#11111000b      ;|
RR A      ;|
RR A      ;|
RR A      ;| data1 hilangkan bit0,bit1 & bit2
mov Bufr,A      ;| data1 geser kanan 3x
mov A,Chr4      ;| simpan sementara
RR A      ;| and dg 1111 0000
RR A      ;| or dg bufr
RR A      ;|
RR A      ;|
anl A,#0F0h      ;|
orl A,Bufr      ;|
mov Chr3,A      ;|
mov A,Chr4      ;\
anl A,#11110000b      ;|
RR A      ;|
RR A      ;|
RR A      ;|
RR A      ;|
mov Bufr,A      ;|
mov A,Chr5      ;|
RR A      ;|
anl A,#0F8h      ;|
orl A,Bufr      ;|
mov Chr4,A      ;|
mov A,Chr5      ;\
anl A,#11100000b      ;|
RR A      ;|
mov Bufr,A      ;|
mov A,Chr6      ;|
RR A      ;|
anl A,#0FCh      ;|
orl A,Bufr      ;|
mov Chr5,A      ;|
mov A,Chr6      ;\
anl A,#11000000b      ;|
RR A      ;|

```

```

RR A ;
mov Bufr,A ;|
mov A,Chr7 ;|
RR A ;
anl A,#0FEh ;|
orl A,Bufr ;|
mov Chr6,A ;/
ret
;
lokup0: DB 094,124,154,184,214,244,018,048,078,108 ; 000-009
DB 138,168,198,228,002,032,062,092,122,152 ; 010-019
DB 182,212,242,016,046,076,106,136,166,196 ; 020-029
DB 226,000,030,060,090,120,150,180,210,240 ; 030-039
DB 014,044,074,104,134,164,194,224,254,028 ; 040-049
DB 058,088,118,148,178,208,238,012,042,072 ; 050-059
DB 112,132,162,192,222,252,026,056,086,116 ; 060-069
DB 146,176,206,236,010,040,070,100,130,160 ; 070-079
DB 190,220,250,024,054,084,114,144,174,204 ; 080-089
DB 234,008,038,068,098,128,158,188,218,248 ; 090-099
DB 022,052,082,112,142,172,202,232,006,036 ; 100-109
DB 066,096,126,156,186,216,246,020,050,080 ; 110-119
DB 110,140,170,200,230,004,034,064,094,124 ; 120-129
DB 154,184,214,244,018,048,078,108,138,168 ; 130-139
DB 198,228,002,032,062,092,122,152,182,212 ; 140-149
DB 242,016,046,076,106,136,166,196,226,000 ; 150-159
DB 030,060,090,120,150,180,210,240,014,044 ; 160-169
DB 074,104,134,164,194,224,254,028,058,088 ; 170-179
DB 118,184,178,208,238,012,042,072,102,132 ; 180-189
DB 162,192,222,252,026,056,086,116,146,176 ; 190-199
DB 206,236,010,040,070,100,130,160,190,220 ; 200-209
DB 250,024,054,084,114,144,174,204,238,008 ; 210-219
DB 038,068,098,128,158,188,218,248,022,052 ; 220-229
DB 082,112,142,172,202,232,006,036,066,096 ; 230-239
DB 126,156,186,216,246,020,050,080,110,140 ; 240-249
DB 170,200,230,004,034,064 ; 250-255
;
lokup1: DB 001,001,001,001,001,001,002,002,002,002 ; 000-009
DB 002,002,002,002,003,003,003,003,003,003 ; 010-019
DB 003,003,003,004,004,004,004,004,004,004 ; 020-029

```

```

DB 004,005,005,005,005,005,005,005,005,005 ; 030-039
DB 006,006,006,006,006,006,006,006,006,007 ; 040-049
DB 007,007,007,007,007,007,008,008,008,008 ; 050-059
DB 008,008,008,008,008,008,008,009,009,009 ; 060-069
DB 009,009,009,009,010,010,010,010,010,010 ; 070-079
DB 010,010,010,011,011,011,011,011,011,011 ; 080-089
DB 011,012,012,012,012,012,012,012,012,012 ; 090-099
DB 013,013,013,013,013,013,013,013,014,014 ; 100-109
DB 014,014,014,014,014,014,014,015,015,015 ; 110-119
DB 015,015,015,015,015,016,016,016,016,016 ; 120-129
DB 016,016,016,016,017,017,017,017,017,017 ; 130-139
DB 017,017,018,018,018,018,018,018,018,018 ; 140-149
DB 018,019,019,019,019,019,019,019,019,020 ; 150-159
DB 020,020,020,020,020,020,020,020,021,021 ; 160-169
DB 021,021,021,021,021,021,022,022,022,022 ; 170-179
DB 022,022,022,022,022,023,023,023,023,023 ; 180-189
DB 023,023,023,023,024,024,024,024,024,024 ; 190-199
DB 024,024,025,025,025,025,025,025,025,025 ; 200-209
DB 025,026,026,026,026,026,026,026,026,027 ; 210-219
DB 027,027,027,027,027,027,027,027,028,028 ; 220-229
DB 028,028,028,028,028,028,029,029,029,029 ; 230-239
DB 029,029,029,029,029,030,030,030,030,030 ; 240-249
DB 030,030,030,031,031,031 ; 250-255

;
tl_dta: mov DPTR,#00h
        mov A,Chr0           ; 0
        movx @DPTR,A
        lcall wt_wr
        inc DPTR
        mov A,Chr1           ; 1
        movx @DPTR,A
        lcall wt_wr
        inc DPTR
        mov A,Chr2           ; 2
        movx @DPTR,A
        lcall wt_wr
        inc DPTR
        mov A,Chr3           ; 3
        movx @DPTR,A
        lcall wt_wr
        inc DPTR
        mov A,Chr4           ; 4
        movx @DPTR,A
        lcall wt_wr
        inc DPTR
        mov A,Chr5           ; 5
        movx @DPTR,A
        lcall wt_wr
        inc DPTR
        mov A,Chr6           ; 6

```

```

movx  @DPTR,A
lcall wt_wr
inc  DPTR
mov  A,Chr7           ; 7
movx  @DPTR,A
lcall wt_wr
inc  DPTR
mov  A,Chr8           ; 8
movx  @DPTR,A
lcall wt_wr
inc  DPTR
mov  A,Chr9           ; 9
movx  @DPTR,A
lcall wt_wr
inc  DPTR
mov  A,ChrA           ; A
movx  @DPTR,A
lcall wt_wr
inc  DPTR
mov  A,ChrB           ; 0
movx  @DPTR,A
lcall wt_wr
inc  DPTR
mov  A,ChrC           ; C
movx  @DPTR,A
lcall wt_wr
inc  DPTR
mov  A,ChrD           ; D
movx  @DPTR,A
lcall wt_wr
inc  DPTR
mov  A,ChrE           ; E
movx  @DPTR,A
lcall wt_wr
inc  DPTR
mov  A,ChrF           ; F
movx  @DPTR,A
lcall wt_wr
;
;      mov  Jchr,#29       ; jumlah character ascii
;      mov  DpcL,#00h      ; ambil dari data pointer
;      mov  DpcH,#00h      ; address 0000h
;      lcall cchchr        ; cacah character
smntr0: mov  Jcd0,#254   ; jalankan terus menerus
        mov  Jcd1,#000     ; dalam 254 colom dot matrix led
        lcall tljln1        ; oke
        ljmp  smntr0
;
end

```

## TGS 4161 - for the detection of Carbon Dioxide

### Features:

- \* High selectivity to CO<sub>2</sub>
- \* Compact size
- \* Low dependency on humidity
- \* Long life
- \* Low power consumption

GS4161 is a new solid electrolyte CO<sub>2</sub> sensor which offers miniaturization and low power consumption. The CO<sub>2</sub> sensitive element consists of a solid electrolyte formed between two electrodes, together with a printed heater (RuO<sub>2</sub>) substrate. By monitoring the change in electromotive force (EMF) generated between the two electrodes, it is possible to measure CO<sub>2</sub> gas concentration.

The top of the sensor cap contains adsorbent (zeolite) for the purpose of reducing the influence of interference gases.

GS4161 exhibits a linear relationship between  $\Delta$ EMF and CO<sub>2</sub> gas concentration on a logarithmic scale. The sensor displays good long term stability and shows excellent durability against the effects of high humidity through the application of innovative technology in the sensor's electrode design.

The figure below represents typical sensitivity characteristics of GS4161. The Y-axis is indicated as  $\Delta$ EMF which is defined as follows:

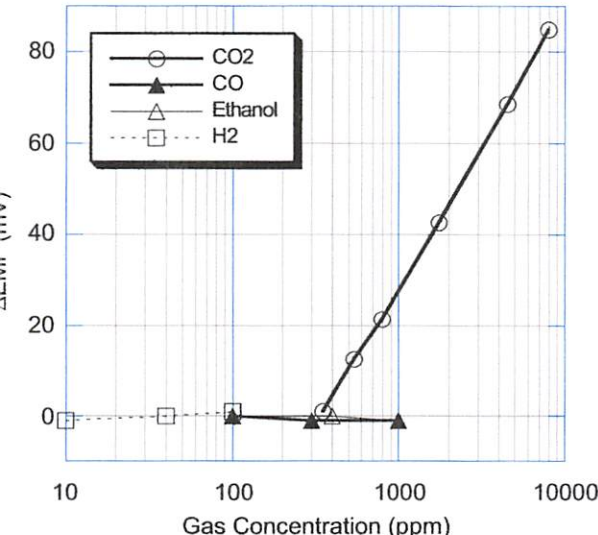
$$\Delta\text{EMF} = \text{EMF}_1 - \text{EMF}_2$$

where

$$\text{EMF}_1 = \text{EMF} \text{ in } 350 \text{ ppm CO}_2$$

$$\text{EMF}_2 = \text{EMF} \text{ in listed gas concentration}$$

### Sensitivity Characteristics:



### Applications:

- \* Air quality control
- \* Fermentation process control



The figure below shows typical humidity dependency of TGS4161. Again, the Y-axis is indicated as  $\Delta$ EMF which is defined as follows:

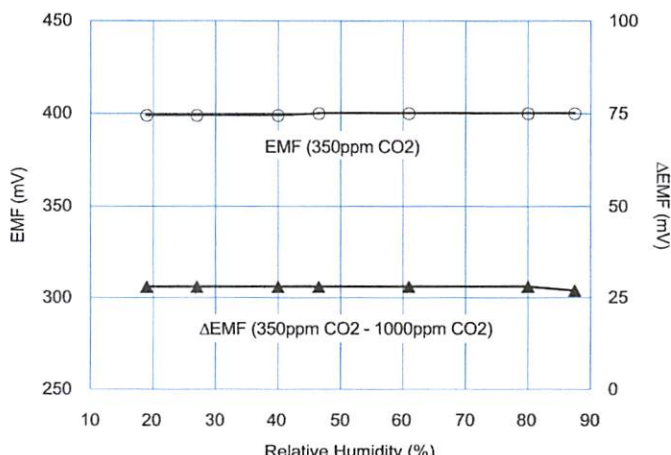
$$\Delta\text{EMF} = \text{EMF}_1 - \text{EMF}_2$$

where

$$\text{EMF}_1 = \text{EMF} \text{ in } 350 \text{ ppm CO}_2$$

$$\text{EMF}_2 = \text{EMF} \text{ in } 1000 \text{ ppm CO}_2$$

### Humidity Dependency:



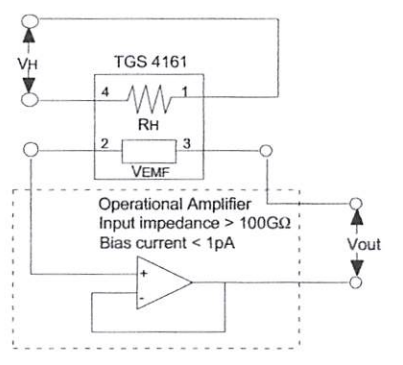
**IMPORTANT NOTE:** OPERATING CONDITIONS IN WHICH FIGARO SENSORS ARE USED WILL VARY WITH EACH CUSTOMER'S SPECIFIC APPLICATIONS. FIGARO STRONGLY RECOMMENDS CONSULTING OUR TECHNICAL STAFF BEFORE DEPLOYING FIGARO SENSORS IN YOUR APPLICATION AND, IN PARTICULAR, WHEN CUSTOMER'S TARGET GASES ARE NOT LISTED HEREIN. FIGARO CANNOT ASSUME ANY RESPONSIBILITY FOR ANY USE OF ITS SENSORS IN A PRODUCT OR APPLICATION FOR WHICH SENSOR HAS NOT BEEN SPECIFICALLY TESTED BY FIGARO.



### Basic Measuring Circuit:

The TGS4161 sensor requires heater voltage ( $V_H$ ) input. The heater voltage is applied to the integrated heater in order to maintain the sensing element at a specific temperature which is optimal for sensing. Electromotive force (EMF) of the sensor should be measured using a high impedance ( $>100\text{ G}\Omega$ ) operational amplifier with bias current  $< 1\text{ pA}$  (e.g. Texas Instruments' model #TLC271). Since the solid electrolyte type sensor

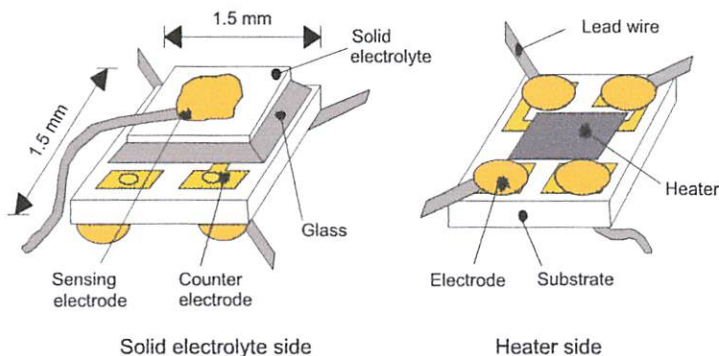
functions as a kind of battery, the EMF value itself would drift using this basic measuring circuit. However, the change of EMF value ( $\Delta\text{EMF}$ ) shows a stable relationship with the change of  $\text{CO}_2$  concentration. Therefore, in order to obtain an accurate measurement of  $\text{CO}_2$ , a special microprocessor for signal processing should be used with TGS4161. Figaro can provide a special evaluation sensor module (AM-4) for TGS4161.



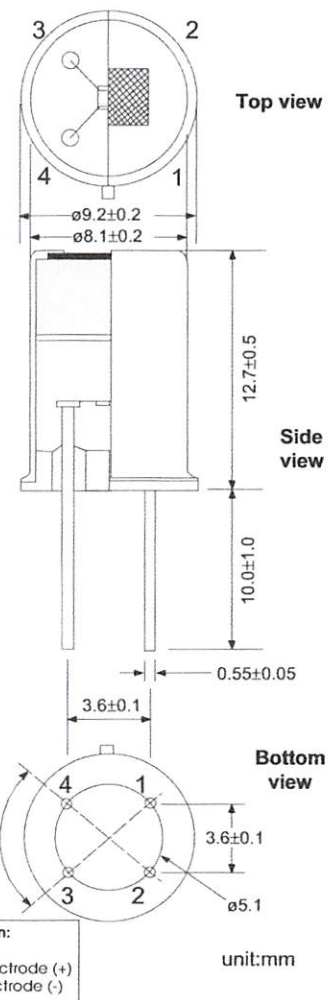
### Specifications:

Model number	TGS 4161	
Sensing element type	Solid electrolyte	
Target gases	Carbon dioxide	
Typical detection range	350 ~ 8000 ppm	
Electrical characteristics	Heater resistance	$R_H$
	Heater current	$I_H$
	Heater power consumption	$P_H$
	Electromotive force	EMF
	Sensitivity	$\Delta\text{EMF}$
	Heater voltage	$V_H$
Sensor characteristics	Response time	approx. 1.5 min. (to 90% of final value)
	Measurement accuracy	approx. $\pm 20\%$ at 1,000ppm $\text{CO}_2$
Operating conditions		
Storage conditions		
Standard test conditions	Test gas condition	$\text{CO}_2$ in air at $20\pm 2^\circ\text{C}$ , $65\pm 5\%\text{RH}$
	Circuit condition	$V_H = 5.0 \pm 0.05\text{V DC}$
	Conditioning period before test	2 days

### Sensing Element Structure:



### Structure and Dimensions:



#### **FIGARO ENGINEERING INC.**

1-5-11 Senba-nishi  
Mino, Osaka 562-8505 JAPAN  
Phone: (81)-727-28-2561  
Fax: (81)-727-28-0467  
email: figaro@figaro.co.jp

#### **FIGARO USA, INC.**

3703 West Lake Ave. Suite 203  
Glenview, Illinois 60025 USA  
Phone: (1)-847-832-1701  
Fax: (1)-847-832-1705  
email: figarousa@figarosensor.com

[www.dalsemi.com](http://www.dalsemi.com)

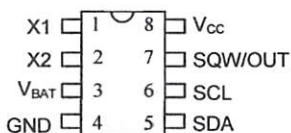
### FEATURES

- Real time clock counts seconds, minutes, hours, date of the month, month, day of the week, and year with leap year compensation valid up to 2100
- 56 byte nonvolatile RAM for data storage
- 2-wire serial interface
- Programmable squarewave output signal
- Automatic power-fail detect and switch circuitry
- Consumes less than 500 nA in battery backup mode with oscillator running
- Optional industrial temperature range -40°C to +85°C (IND) available for DS1307 and DS1308
- DS1307 available in 8-pin DIP or SOIC
- DS1308 available in 36-pin SMD BGA (Ball Grid Array)
- DS1308 accuracy is better than ±2 minute/month at 25°C
- Recognized by Underwriters Laboratory

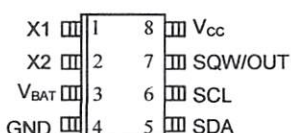
### ORDERING INFORMATION

1307	8-Pin DIP
1307Z	8-Pin SOIC (150 mil)
1307N	8-Pin DIP (Industrial)
1307ZN	8-Pin SOIC (Industrial)
1308	36-Pin BGA
1308N	36-Pin BGA (Industrial)

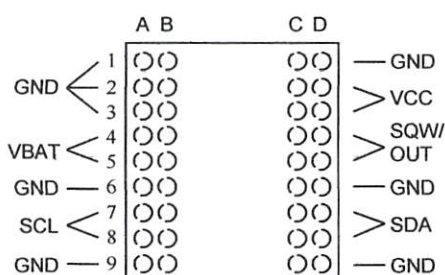
### PIN ASSIGNMENT



DS1307 8-Pin DIP (300 mil)



DS1307Z 8-Pin SOIC (150 mil)



DS1308 36-Pin SMD BGA  
(Top View)

### PIN DESCRIPTION DS1307/DS1308

V <sub>CC</sub>	- Primary Power Supply
X <sub>1</sub> , X <sub>2</sub>	- 32.768 kHz Crystal Connection
V <sub>BAT</sub>	- +3V Battery Input
GND	- Ground
SDA	- Serial Data
SCL	- Serial Clock
SQW/OUT	- Square wave/Output Driver

### DS1308 PIN IDENTIFIER

V <sub>CC</sub>	- C2, C3, D2, D3
V <sub>BAT</sub>	- A4, A5, B4, B5
SDA	- C7, C8, D7, D8
SCL	- A7, A8, B7, B8
SQW/OUT	- C4, C5, D4, D5
GND	- All Remaining Balls

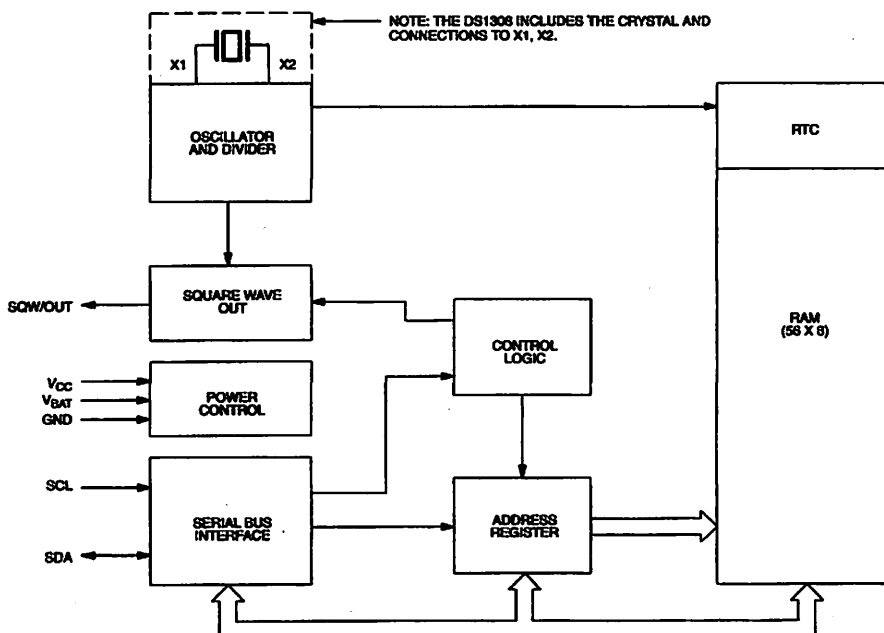
**DESCRIPTION**

DS1307 Serial Real Time Clock is a low power, full BCD clock/calendar plus 56 bytes of volatile SRAM. Address and data are transferred serially via a 2-wire bi-directional bus. The clock/calendar provides seconds, minutes, hours, day, date, month, and year information. The end of the month date is automatically adjusted for months with less than 31 days, including corrections for leap year. The clock operates in either the 24-hour or 12-hour format with AM/PM indicator. The DS1307 has a built-in power sense circuit which detects power failures and automatically switches to the battery supply.

DS1308 incorporates the DS1307 chip with a 32.768 kHz crystal in a surface mountable, 36-pin ball grid array package (BGA). The close proximity of the embedded crystal to the high impedance crystal input pins on the DS1307 minimizes capacitive loading and noise injection problems associated with many other oscillator designs. The total area required for installation is less than that of one United States dime: thus, minimizing PCB space required.

**OPERATION**

DS1307/1308 operates as a slave device on the serial bus. Access is obtained by implementing a START condition and providing a device identification code followed by a register address. Subsequent registers can be accessed sequentially until a STOP condition is executed. When  $V_{CC}$  falls below  $1.25 \times V_{BAT}$  the device terminates an access in progress and resets the device address counter. Inputs to the device will not be recognized at this time to prevent erroneous data from being written to the device from a power out of tolerance system. When  $V_{CC}$  falls below  $V_{BAT}$  the device switches into a low current battery backup mode. Upon power up, the device switches from battery to  $V_{CC}$  when  $V_{CC}$  is greater than  $V_{BAT} + 2V$  and recognizes inputs when  $V_{CC}$  is greater than  $1.25 \times V_{BAT}$ . The block diagram in Figure 1 shows the main elements of the Serial Real Time Clock.

**DS1307/DS1308 BLOCK DIAGRAM Figure 1**

## IGNAL DESCRIPTIONS

**V<sub>CC</sub>** - GND - DC power is provided to the device on these pins. V<sub>CC</sub> is the +5 volt input. When 5 volts is applied within normal limits, the device is fully accessible and data can be written and read. When a 3-volt battery is connected to the device and V<sub>CC</sub> is below 1.25 x V<sub>BAT</sub>, reads and writes are inhibited. However, the Timekeeping function continues unaffected by the lower input voltage. As V<sub>CC</sub> falls below 1.25 x V<sub>BAT</sub>, the RAM and timekeeper are switched over to the external power supply (nominal 3.0V DC) at which point the RAM and timekeeper are switched over to the external power supply (nominal 3.0V DC) at which point.

**V<sub>BAT</sub>** - Battery input for any standard 3-volt lithium cell or other energy source. Battery voltage must be between 2.0 and 3.5 volts for proper operation. The nominal write protect trip point voltage at which access to the real time clock and user RAM is denied is set by the internal circuitry as 1.25 x V<sub>BAT</sub>. A lithium battery with 48 mAh or greater will back up the DS1307/DS1308 for more than 10 years in the absence of power at 25 degrees C.

**SCL (Serial Clock Input)** - SCL is used to synchronize data movement on the serial interface.

**SDA (Serial Data Input/Output)** - SDA is the input/output pin for the 2-wire serial interface. The SDA pin is open drain which requires an external pullup resistor.

**SQW/OUT (Square Wave/ Output Driver)** - When enabled, the SQWE bit set to 1, the SQW/OUT pin outputs one of four square wave frequencies (1 Hz, 4 kHz, 8 kHz, 32 kHz). The SQW/OUT pin is open drain which requires an external pullup resistor. SQW/OUT will operate with either Vcc or Vbat applied.

**Note:** X1, X2 are not applicable for the DS1308 or DS1308N.

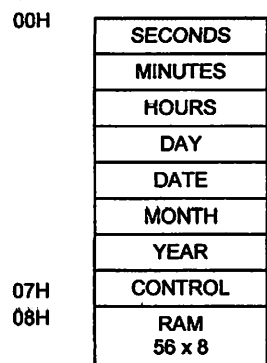
**X2** - Connections for a standard 32.768 kHz quartz crystal. The internal oscillator circuitry is designed for operation with a crystal having a specified load capacitance (CL) of 12.5 pF.

For more information on crystal selection and crystal layout considerations, please consult Application Note 58, "Crystal Considerations with Dallas Real Time Clocks." The DS1307 can also be driven by an external 32.768 kHz oscillator. In this configuration, the X1 pin is connected to the external oscillator signal and the X2 pin is floated.

Please review Application Note 95, "Interfacing the DS1307/DS1308 with a 8051-Compatible Microcontroller" for additional information.

## RTC AND RAM ADDRESS MAP

The address map for the RTC and RAM registers of the DS1307/DS1308 is shown in Figure 2. The real time clock registers are located in address locations 00h to 07h. The RAM registers are located in address locations 08h to 3Fh. During a multi-byte access, when the address pointer reaches 3Fh, the end of RAM space, it wraps around to location 00h, the beginning of the clock space.

**DS1307 ADDRESS MAP Figure 2**

3FH

**CLOCK AND CALENDAR**

The time and calendar information is obtained by reading the appropriate register bytes. The real time clock registers are illustrated in Figure 3. The time and calendar are set or initialized by writing the appropriate register bytes. The contents of the time and calendar registers are in the Binary-Coded Decimal (BCD) format. Bit 7 of Register 0 is the Clock Halt (CH) bit. When this bit is set to a 1, the oscillator is disabled. When cleared to a 0, the oscillator is enabled.

Please note that the initial power on state of all registers is not defined. Therefore it is important to enable the oscillator (CH bit=0) during initial configuration.

DS1307/DS1308 can be run in either 12-hour or 24-hour mode. Bit 6 of the hours register is defined as the 12- or 24-hour mode select bit. When high, the 12-hour mode is selected. In the 12-hour mode, bit 5 is the AM/PM bit with logic high being PM. In the 24-hour mode, bit 5 is the second 10 hour bit (20-23 hrs).

After a 2-wire START, the current time is transferred to a second set of registers. The time information is copied from these secondary registers, while the clock may continue to run. This eliminates the need to reload the registers in case of an update of the main registers during a read.

**DS1307/DS1308 TIMEKEEPER REGISTERS Figure 3**

	BIT7							BIT0
00H	CH	10 SECONDS			SECONDS			
	X	10 MINUTES			MINUTES			
	X	12	24	10 HR	10 HR	HOURS		
	X	X	X	X	X	DAY		
	X	X	10 DATE			DATE		
	X	X	X	10	MONTH	MONTH		
	10 YEAR					YEAR		
07H	OUT	X	X	SQWE	X	X	RS1	RS0

00-59  
00-59  
01-12  
00-23  
1-7  
01-26/29  
01-30  
01-31  
01-12  
00-99

**CONTROL REGISTER**

The DS1307/DS1308 Control Register is used to control the operation of the SQW/OUT pin.

<b>BIT 7</b>	<b>BIT 6</b>	<b>BIT 5</b>	<b>BIT 4</b>	<b>BIT 3</b>	<b>BIT 2</b>	<b>BIT 1</b>	<b>BIT 0</b>
OUT	X	X	SQWE	X	X	RS1	RS0

**T** (Output control): This bit controls the output level of the SQW/OUT pin when the square wave output is disabled. If SQWE=0, the logic level on the SQW/OUT pin is 1 if OUT=1 and is 0 if OUT=0.

**WE** (Square Wave Enable): This bit, when set to a logic 1, will enable the oscillator output. The frequency of the square wave output depends upon the value of the RS0 and RS1 bits.

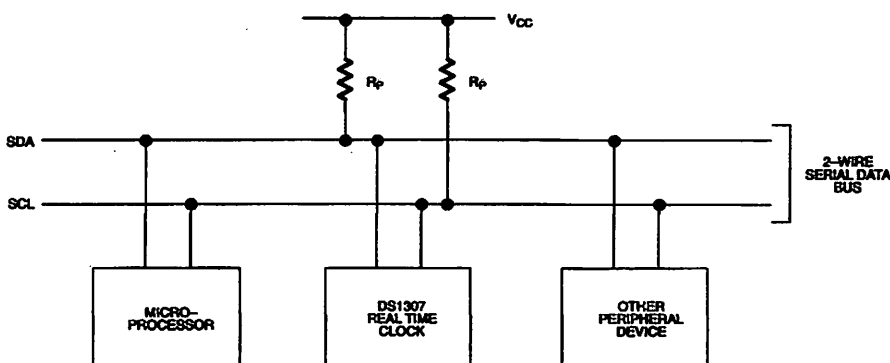
**(Rate Select)**: These bits control the frequency of the square wave output when the square wave output has been enabled. Table 1 lists the square wave frequencies that can be selected with the RS bits.

**SQUAREWAVE OUTPUT FREQUENCY Table 1**

<b>RS1</b>	<b>RS0</b>	<b>SQW OUTPUT FREQUENCY</b>
0	0	1 Hz
0	1	4.096 kHz
1	0	8.192 kHz
1	1	32.768 kHz

**2-WIRE SERIAL DATA BUS**

The DS1307 supports a bi-directional 2-wire bus and data transmission protocol. A device that sends data onto the bus is defined as a transmitter and a device receiving data as a receiver. The device that controls the message is called a master. The devices that are controlled by the master are referred to as slaves. The bus must be controlled by a master device which generates the serial clock (SCL), controls bus access, and generates the START and STOP conditions. The DS1307/DS1308 operates as a slave on the 2-wire bus. A typical bus configuration using this 2-wire protocol is shown in Figure 4.

**Typical 2-WIRE BUS CONFIGURATION Figure 4**

ures 5, 6, and 7 detail how data is transferred on the 2-wire bus.

Data transfer may be initiated only when the bus is not busy.

During data transfer, the data line must remain stable whenever the clock line is HIGH. Changes in the data line while the clock line is high will be interpreted as control signals.

cordingly, the following bus conditions have been defined:

**not busy:** Both data and clock lines remain HIGH.

**rt data transfer:** A change in the state of the data line, from HIGH to LOW, while the clock is HIGH, defines a START condition.

**op data transfer:** A change in the state of the data line, from LOW to HIGH, while the clock line is HIGH, defines the STOP condition.

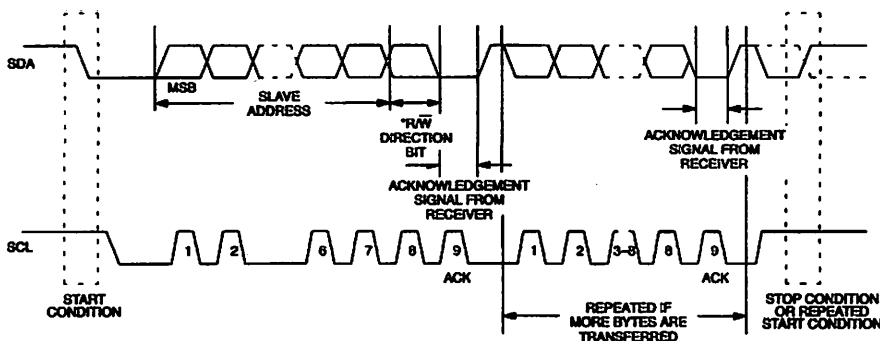
**a valid:** The state of the data line represents valid data when, after a START condition, the data line is stable for the duration of the HIGH period of the clock signal. The data on the line must be changed during the LOW period of the clock signal. There is one clock pulse per bit of data.

A data transfer is initiated with a START condition and terminated with a STOP condition. The number of data bytes transferred between START and STOP conditions is not limited, and is determined by the master device. The information is transferred byte-wise and each receiver acknowledges with a acknowledge bit. Within the 2-wire bus specifications a regular mode (100 kHz clock rate) and a fast mode (400 kHz clock rate) are defined. The DS1307/DS1308 operates in the regular mode (100 kHz) only.

**acknowledge:** Each receiving device, when addressed, is obliged to generate an acknowledge after the reception of each byte. The master device must generate an extra clock pulse which is associated with the acknowledge bit.

A device that acknowledges must pull down the SDA line during the acknowledge clock pulse in such a way that the SDA line is stable LOW during the HIGH period of the acknowledge related clock pulse. Of course, setup and hold times must be taken into account. A master must signal an end of data to the slave by not generating an acknowledge bit on the last byte that has been clocked out of the slave. In this case, the slave must leave the data line HIGH to enable the master to generate the STOP condition.

## DATA TRANSFER ON 2-WIRE SERIAL BUS Figure 5



Depending upon the state of the R/W bit, two types of data transfer are possible:

**Data transfer from a master transmitter to a slave receiver.** The first byte transmitted by the master is the slave address. Next follows a number of data bytes. The slave returns an acknowledge bit after each received byte. Data is transferred with the most significant bit (MSB) first.

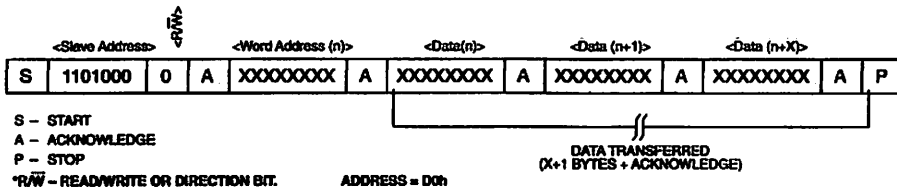
**Data transfer from a slave transmitter to a master receiver.** The first byte (the slave address) is transmitted by the master. The slave then returns an acknowledge bit. This is followed by the slave transmitting a number of data bytes. The master returns an acknowledge bit after all received bytes other than the last byte. At the end of the last received byte, a 'not acknowledge' is returned.

A master device generates all of the serial clock pulses and the START and STOP conditions. A transfer is ended with a STOP condition or with a repeated START condition. Since a repeated START condition is also the beginning of the next serial transfer, the bus will not be released. Data is transferred in the most significant bit (MSB) first.

DS1307/DS1308 may operate in the following two modes:

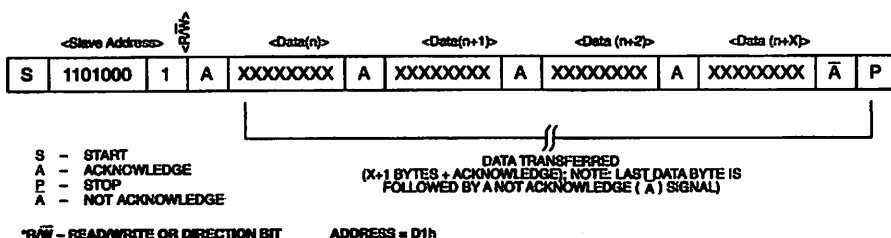
**Slave receiver mode (DS1307/DS1308 write mode):** Serial data and clock are received through SDA and SCL. After each byte is received an acknowledge bit is transmitted. START and STOP conditions are recognized as the beginning and end of a serial transfer. Address recognition is performed by hardware after reception of the slave address and \*direction bit (See Figure 6). The address byte is the first byte received after the start condition is generated by the master. The address byte contains the 7 bit DS1307/DS1308 address, which is 1101000, followed by the \*direction bit (R/W) which, for a write, is a 0. After receiving and decoding the address byte the device outputs an acknowledge on the SDA line. After the DS1307/DS1308 acknowledges the slave address + write bit, the master transmits a register address to the DS1307/DS1308. This will set the register pointer on the DS1307/DS1308. The master will then begin transmitting each byte of data with the DS1307/DS1308 acknowledging each byte received. The master will generate a stop condition to terminate the data write.

## DATA WRITE - SLAVE RECEIVER MODE Figure 6



**Slave transmitter mode (DS1307/DS1308 read mode):** The first byte is received and handled as in the slave receiver mode. However, in this mode, the \*direction bit will indicate that the transfer direction is reversed. Serial data is transmitted on SDA by the DS1307/DS1308 while the serial clock is input on SCL. START and STOP conditions are recognized as the beginning and end of a serial transfer (See Figure 7). The address byte is the first byte received after the start condition is generated by the master. The address byte contains the 7-bit DS1307/DS1308 address, which is 1101000, followed by the \*direction bit (R/W) which, for a read, is a 1. After receiving and decoding the address byte the device inputs an acknowledge on the SDA line. The DS1307/DS1308 then begins to transmit data starting with the register address pointed to by the register pointer. If the register pointer is not written to before the initiation of a read mode the first address that is read is the last one stored in the register pointer. The DS1307/DS1308 must receive a Not Acknowledge to end a read.

## DATA READ - SLAVE TRANSMITTER MODE Figure 7



**ABSOLUTE MAXIMUM RATINGS\***

Voltage on Any Pin Relative to Ground	-0.5V to +7.0V
Operating Temperature	0°C to 70°C (-40°C to 85°C for industrial)
Storage Temperature	-55°C to +125°C
Derating Temperature	260°C for 10 seconds DIP (See NOTE 12) See JPC/JEDEC Standard J-STD-020A for Surface Mount Devices

This is a stress rating only and functional operation of the device at these or any other conditions above those indicated in the operation sections of this specification is not implied. Exposure to absolute maximum rating conditions for extended periods of time may affect reliability.

Dallas Semiconductor DS1307/DS1308 is built to the highest quality standards and manufactured for long term reliability. All Dallas Semiconductor devices are made using the same quality materials and manufacturing methods. However, standard versions of the DS1307/DS1308 are not exposed to environmental stresses, such as burn-in, that some industrial applications require. Products which have successfully passed through this series of environmental stresses are marked IND or N, denoting their intended operating temperature and reliability rating. For specific reliability information on this product, please contact the factory at (972) 371-4448.

**COMMENDED DC OPERATING CONDITIONS**

(0°C to 70°C or -40°C to +85°C)

PARAMETER	SYMBOL	MIN	TYP	MAX	UNITS	NOTES
Supply Voltage	V <sub>CC</sub>	4.5	5.0	5.5	V	1
Logic 1	V <sub>IH</sub>	2.2		V <sub>CC</sub> +0.3	V	1
Logic 0	V <sub>IL</sub>	-0.3		+0.8	V	1
BAT Battery Voltage	V <sub>BAT</sub>	2.0		3.5	V	1

**ELECTRICAL CHARACTERISTICS**(0°C to 70°C or -40°C to +85°C; V<sub>CC</sub> = 4.5V to 5.5V)

PARAMETER	SYMBOL	MIN	TYP	MAX	UNITS	NOTES
Output Leakage	I <sub>OL</sub>			1	µA	10
Output Leakage	I <sub>OL</sub>			1	µA	11
Logic 0 Output	V <sub>OL</sub>			0.4	V	2
Active Supply Current	I <sub>CCA</sub>			1.5	mA	9
Standby Current	I <sub>CCS</sub>			200	µA	3
Battery Current (OSC ON); SW/OUT OFF	I <sub>BAT1</sub>		300	500	nA	4
Battery Current (OSC ON); SW/OUT ON (32 kHz)	I <sub>BAT2</sub>		480	800	nA	4

**ELECTRICAL CHARACTERISTICS**(0°C to 70°C or -40°C to +85°C; V<sub>CC</sub>=4.5V to 5.5V)

RAMETER	SYMBOL	MIN	TYP	MAX	UNITS	NOTES
Clock Frequency	f <sub>SCL</sub>	0		100	kHz	
Free Time Between a STOP and START Condition	t <sub>BUF</sub>	4.7			μs	
Time (Repeated) START Condition	t <sub>HD:STA</sub>	4.0			μs	5
Period of SCL Clock	t <sub>LOW</sub>	4.7			μs	
Period of SCL Clock	t <sub>HIGH</sub>	4.0			μs	
up Time for a Repeated START condition	t <sub>SU:STA</sub>	4.7			μs	
a Hold Time	t <sub>HD:DAT</sub>	0			μs	6, 7
a Set-up Time	t <sub>SU:DAT</sub>	250			ns	
e Time of Both SDA and SCL Signals	t <sub>R</sub>			1000	ns	
Time of Both SDA and SCL Signals	t <sub>F</sub>			300	ns	
up Time for STOP Condition	t <sub>SU:STO</sub>	4.7			μs	
acitive Load for each Bus Line	C <sub>B</sub>			400	pF	8
Capacitance	C <sub>I/O</sub>		10		pF	
stal Specified Load Capacitance			12.5		pF	

**OTES:**

All voltages are referenced to ground.

Logic zero voltages are specified at a sink current of 5 mA at V<sub>CC</sub>=4.5V, V<sub>OL</sub>=GND for capacitive loads.I<sub>CCS</sub> specified with V<sub>CC</sub>=5.0V and SDA, SCL=5.0V.V<sub>CC</sub>=0V, V<sub>BAT</sub>=3V.

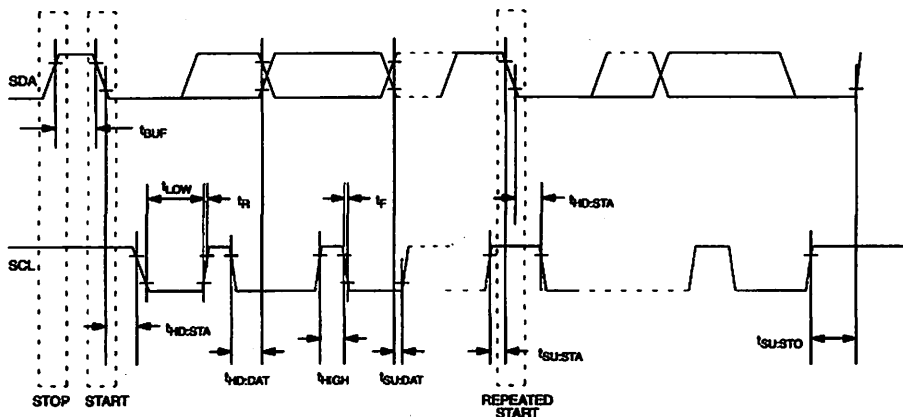
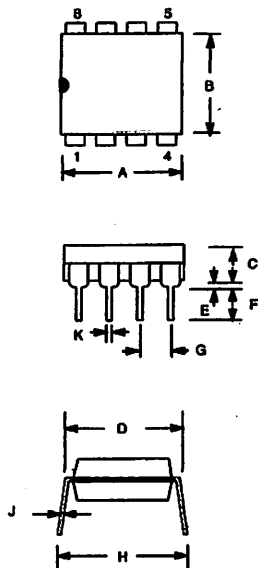
After this period, the first clock pulse is generated.

A device must internally provide a hold time of at least 300 ns for the SDA signal (referred to the V<sub>IHM</sub> of the SCL signal) in order to bridge the undefined region of the falling edge of SCL.The maximum t<sub>HD:DAT</sub> has only to be met if the device does not stretch the LOW period (t<sub>LOW</sub>) of the SCL signal.C<sub>B</sub> - total capacitance of one bus line in pF.I<sub>CCA</sub> - SCL clocking at max frequency = 100 kHz.

SCL only.

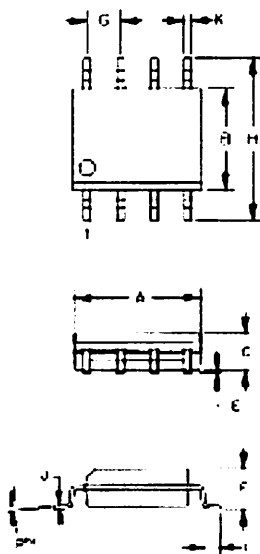
SDA and SQW/OUT

The DS1308 is designed to be subjected to no more than two passes through a solder reflow process to limit premature crystal aging effects and maintain a reasonable accuracy of ±2 minutes/month at 25 degrees C (worst case).

**WIRING DIAGRAM Figure 8****DS1307 64 X 8 SERIAL REAL TIME CLOCK  
PIN DIP MECHANICAL DIMENSIONS**

PKG	8-PIN		
	DIM	MIN	MAX
<b>A IN. MM</b>	0.360 9.14	0.400 10.16	
<b>B IN. MM</b>	0.240 6.10	0.260 6.60	
<b>C IN. MM</b>	0.120 3.05	0.140 3.56	
<b>D IN. MM</b>	0.300 7.62	0.325 8.26	
<b>E IN. MM</b>	0.015 0.38	0.040 1.02	
<b>F IN. MM</b>	0.120 3.04	0.140 3.56	
<b>G IN. MM</b>	0.080 2.29	0.110 2.79	
<b>H IN. MM</b>	0.320 8.13	0.370 9.40	
<b>J IN. MM</b>	0.008 0.20	0.012 0.30	
<b>K IN. MM</b>	0.015 0.38	0.021 0.53	

# 1307Z 64 X 8 SERIAL REAL TIME CLOCK PIN SOIC (150-MIL) MECHANICAL DIMENSIONS

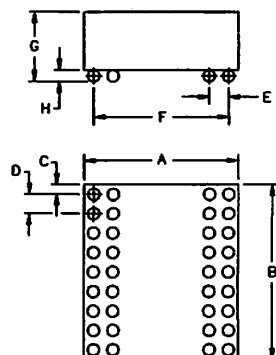


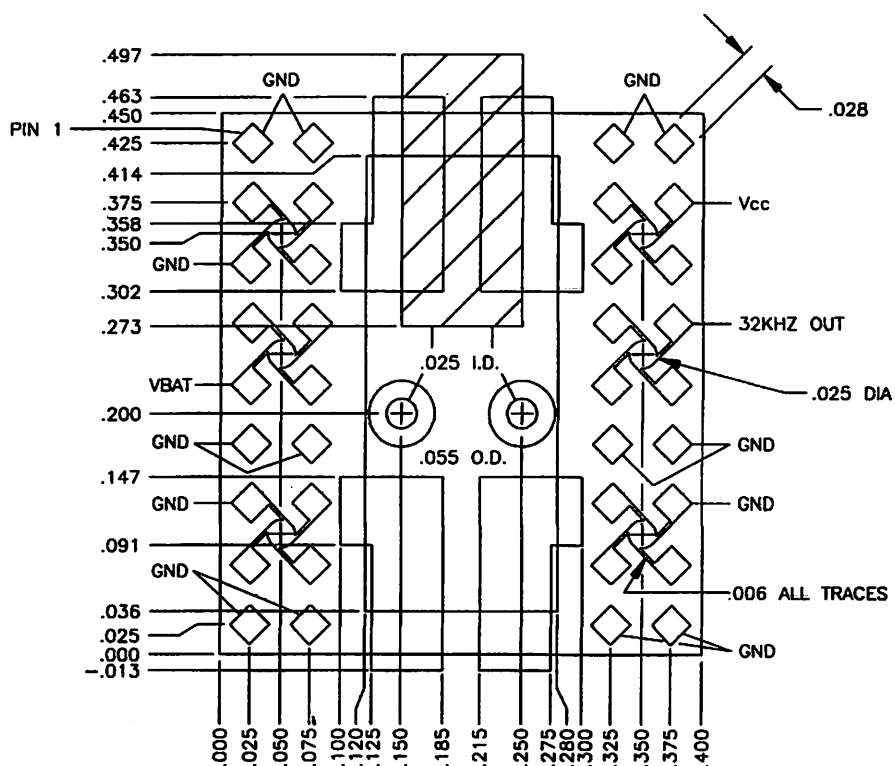
PKG	8-PIN (150 MIL)		
	DIM	MIN	MAX
A IN. MM	0.188 4.78	0.196 4.98	
B IN. MM	0.150 3.81	0.158 4.01	
C IN. MM	0.048 1.22	0.062 1.57	
E IN. MM	0.004 0.10	0.010 0.25	
F IN. MM	0.053 1.35	0.069 1.75	
G IN. MM	0.050 BSC 1.27 BSC		
H IN. MM	0.230 5.84	0.244 6.20	
J IN. MM	0.007 0.18	0.011 0.28	
K IN. MM	0.012 0.30	0.020 0.51	
L IN. MM	0.016 0.41	0.050 1.27	
phi	0° 8°		

56-G2008-001

**S1308 MECHANICAL DIMENSIONS**

PKG	36-PIN BALL GRID	
DIM	MIN	MAX
A IN. MM	0.395	0.405
B IN. MM	0.445	0.455
C IN. MM	0.022	0.028
D IN. MM	0.047	0.053
E IN. MM	0.047	0.053
F IN. MM	0.347	0.353
G IN. MM	0.170	0.190
H IN. MM	0.025	0.030



**1308 RECOMMENDED LAYOUT LAND PATTERN**

## ures

patible with MCS-51® Products  
bytes of In-System Programmable (ISP) Flash Memory  
Endurance: 1000 Write/Erase Cycles  
to 5.5V Operating Range  
· Static Operation: 0 Hz to 33 MHz  
· e-level Program Memory Lock  
· 8-bit Internal RAM  
· programmable I/O Lines  
· e 16-bit Timer/Counters  
· t Interrupt Sources  
· Duplex UART Serial Channel  
· power Idle and Power-down Modes  
· rupt Recovery from Power-down Mode  
· hdog Timer  
· Data Pointer  
· er-off Flag

## cription

T89S52 is a low-power, high-performance CMOS 8-bit microcontroller with 8K of in-system programmable Flash memory. The device is manufactured using s high-density nonvolatile memory technology and is compatible with the industry-standard 80C51 instruction set and pinout. The on-chip Flash allows the program to be reprogrammed in-system or by a conventional nonvolatile memory pro-  
mer. By combining a versatile 8-bit CPU with in-system programmable Flash on  
olitichic chip, the Atmel AT89S52 is a powerful microcontroller which provides a  
flexible and cost-effective solution to many embedded control applications.

T89S52 provides the following standard features: 8K bytes of Flash, 256 bytes I, 32 I/O lines, Watchdog timer, two data pointers, three 16-bit timer/counters, a  
ctor two-level interrupt architecture, a full duplex serial port, on-chip oscillator,  
ock circuitry. In addition, the AT89S52 is designed with static logic for operation  
to zero frequency and supports two software selectable power saving modes.  
le Mode stops the CPU while allowing the RAM, timer/counters, serial port, and  
pt system to continue functioning. The Power-down mode saves the RAM con-  
ut freezes the oscillator, disabling all other chip functions until the next interrupt  
ware reset.



# 8-bit Microcontroller with 8K Bytes In-System Programmable Flash

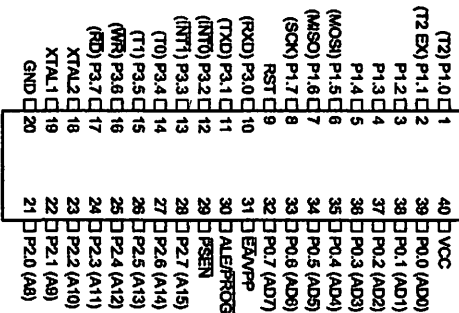
## AT89S52

Rev. 1919A-07/01

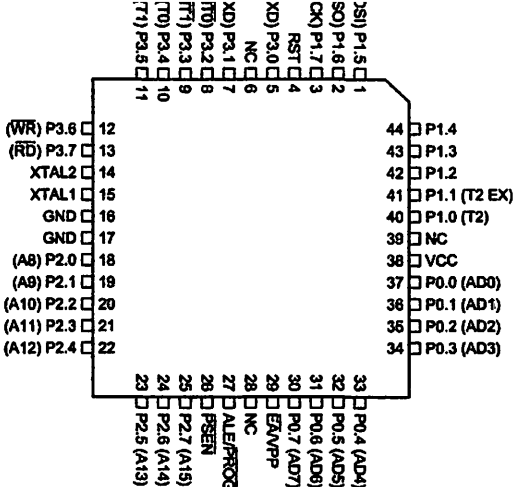


## Configurations

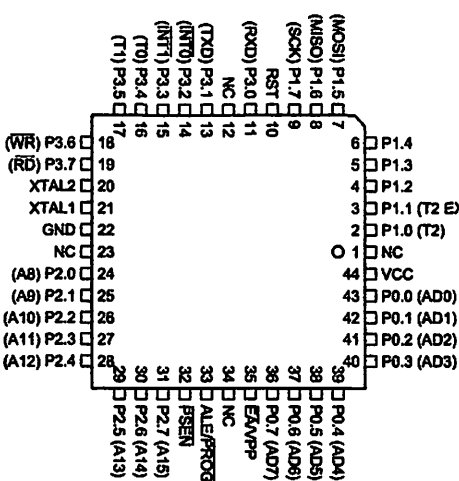
PDIP



TQFP

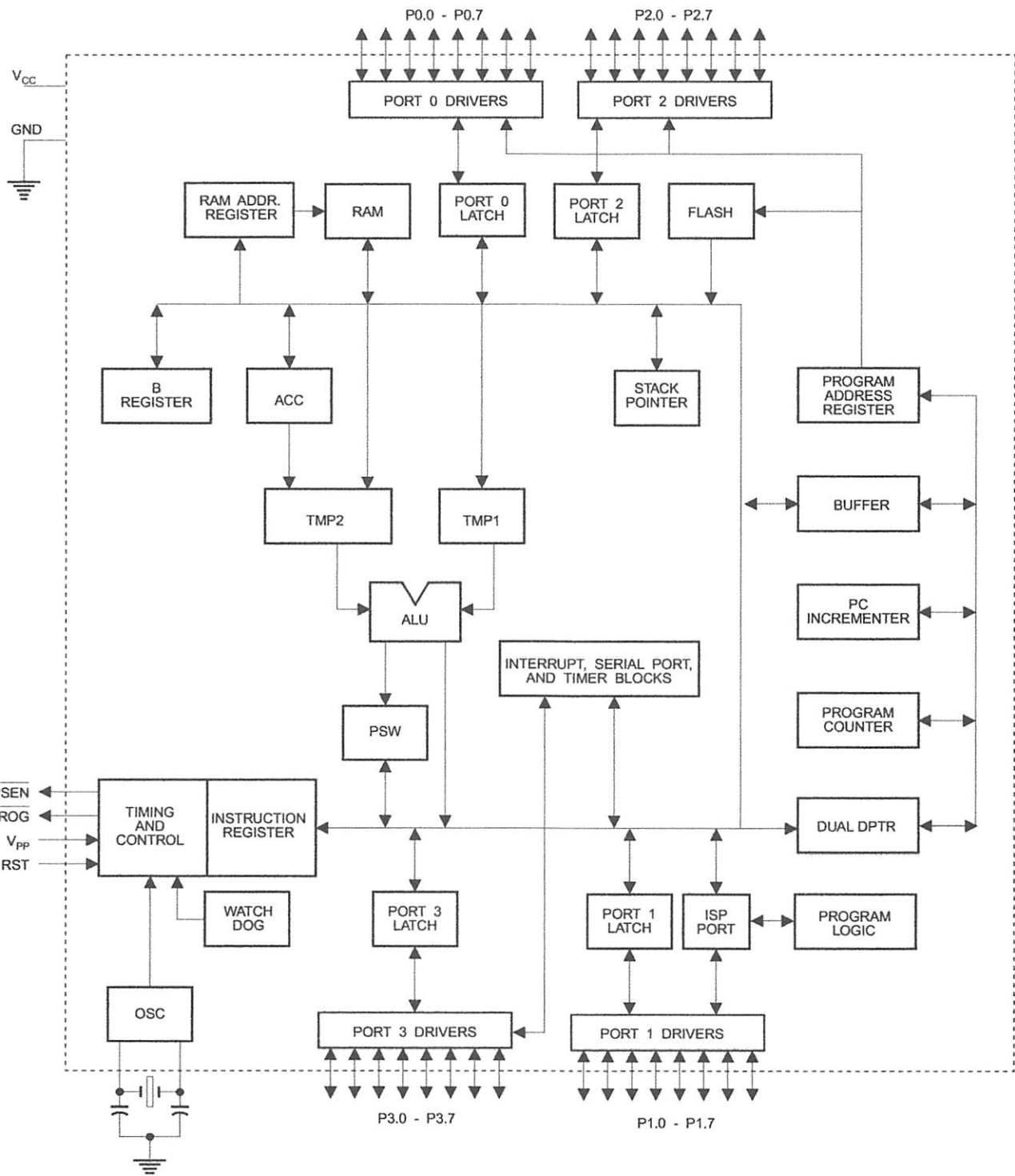


PLCC



AT89S52

## Block Diagram





## Description

voltage.

d.

is an 8-bit open drain bidirectional I/O port. As an output, each pin can sink eight TTL inputs. When 1s are written to Port 0 pins, the pins can be used as high-impedance inputs.

Port 0 can also be configured to be the multiplexed low-address/data bus during accesses to external program memory and data memory. In this mode, P0 has internal pullups.

Port 0 also receives the code bytes during Flash programming and outputs the code bytes during program verification. External pullups are required during program verification.

Port 1 is an 8-bit bidirectional I/O port with internal pullups. Port 1 output buffers can sink/source four TTL inputs. When 1s are written to Port 1 pins, they are pulled high by internal pullups and can be used as inputs. As inputs, pins that are externally being pulled low will source current ( $I_{IL}$ ) because of the internal pullups.

In addition, P1.0 and P1.1 can be configured to be the Timer 2 external count input (P1.0/T2) and the Timer 2 trigger input (P1.1/T2EX), respectively, as shown in the following table.

Port 1 also receives the low-order address bytes during programming and verification.

Pin	Alternate Functions
	T2 (external count input to Timer/Counter 2), clock-out
	T2EX (Timer/Counter 2 capture/reload trigger and direction control)
	MOSI (used for In-System Programming)
	MISO (used for In-System Programming)
	SCK (used for In-System Programming)

Port 2 is an 8-bit bidirectional I/O port with internal pullups. Port 2 output buffers can sink/source four TTL inputs. When 1s are written to Port 2 pins, they are pulled high by internal pullups and can be used as inputs. As inputs, pins that are externally being pulled low will source current ( $I_{IL}$ ) because of the internal pullups.

Port 2 emits the high-order address byte during fetches from external program memory and during accesses to

external data memory that use 16-bit addresses (MOVX @ DPTR). In this application, Port 2 uses strong internal pullups when emitting 1s. During accesses to external data memory that use 8-bit addresses (MOVX @ RI), Port 2 emits the contents of the P2 Special Function Register.

Port 2 also receives the high-order address bits and some control signals during Flash programming and verification.

### Port 3

Port 3 is an 8-bit bidirectional I/O port with internal pullups. The Port 3 output buffers can sink/source four TTL inputs. When 1s are written to Port 3 pins, they are pulled high by the internal pullups and can be used as inputs. As inputs, Port 3 pins that are externally being pulled low will source current ( $I_{IL}$ ) because of the pullups.

Port 3 also serves the functions of various special features of the AT89S52, as shown in the following table.

Port 3 also receives some control signals for Flash programming and verification.

Port Pin	Alternate Functions
P3.0	RXD (serial input port)
P3.1	TXD (serial output port)
P3.2	INT0 (external interrupt 0)
P3.3	INT1 (external interrupt 1)
P3.4	T0 (timer 0 external input)
P3.5	T1 (timer 1 external input)
P3.6	WR (external data memory write strobe)
P3.7	RD (external data memory read strobe)

### RST

Reset input. A high on this pin for two machine cycles while the oscillator is running resets the device. This pin drives High for 96 oscillator periods after the Watchdog times out. The DISRTO bit in SFR AUXR (address 8EH) can be used to disable this feature. In the default state of bit DISRTO, the RESET HIGH out feature is enabled.

### ALE/PROG

Address Latch Enable (ALE) is an output pulse for latching the low byte of the address during accesses to external memory. This pin is also the program pulse input (PROG) during Flash programming.

In normal operation, ALE is emitted at a constant rate of 1/6 the oscillator frequency and may be used for external timing or clocking purposes. Note, however, that one ALE pulse is skipped during each access to external data memory.

If desired, ALE operation can be disabled by setting bit 0 of SFR location 8EH. With the bit set, ALE is active only during a MOVX or MOVC instruction. Otherwise, the pin is

AT89S52

Y pulled high. Setting the ALE-disable bit has no effect if the microcontroller is in external execution mode.

Program Store Enable (PSEN) is the read strobe to external program memory.

the AT89S52 is executing code from external memory, PSEN is activated twice each machine cycle except that two PSEN activations are skipped during access to external data memory.

PP

Normal Access Enable. EA must be strapped to GND in order to enable the device to fetch code from external program memory locations starting at 0000H up to FFFFH.

## 1. AT89S52 SFR Map and Reset Values

Note, however, that if lock bit 1 is programmed, EA will be internally latched on reset.

EA should be strapped to  $V_{CC}$  for internal program executions.

This pin also receives the 12-volt programming enable voltage ( $V_{PP}$ ) during Flash programming.

XTAL-1

Input to the inverting oscillator amplifier and input to the internal clock operating circuit.

XTAI 2

Output from the inverting oscillator amplifier.



## Special Function Registers

of the on-chip memory area called the Special Function Register (SFR) space is shown in Table 1.

that not all of the addresses are occupied, and unoccupied addresses may not be implemented on the chip. Accesses to these addresses will in general return random data, and write accesses will have an indeterminate effect.

Software should not write 1s to these unlisted locations since they may be used in future products to invoke

new features. In that case, the reset or inactive values of the new bits will always be 0.

**Timer 2 Registers:** Control and status bits are contained in registers T2CON (shown in Table 2) and T2MOD (shown in Table 3) for Timer 2. The register pair (RCAP2H, RCAP2L) are the Capture/Reload registers for Timer 2 in 16-bit capture mode or 16-bit auto-reload mode.

**Interrupt Registers:** The individual interrupt enable bits are in the IE register. Two priorities can be set for each of the six interrupt sources in the IP register.

### 2. T2CON – Timer/Counter 2 Control Register

T2CON Address = 0C8H								Reset Value = 0000 0000B
Bit Addressable								
bit	TF2	EXF2	RCLK	TCLK	EXEN2	TR2	C/T2	CP/RL2
	7	6	5	4	3	2	1	0

Symbol	Function
TF2	Timer 2 overflow flag set by a Timer 2 overflow and must be cleared by software. TF2 will not be set when either RCLK = 1 or TCLK = 1.
EXF2	Timer 2 external flag set when either a capture or reload is caused by a negative transition on T2EX and EXEN2 = 1. When Timer 2 interrupt is enabled, EXF2 = 1 will cause the CPU to vector to the Timer 2 interrupt routine. EXF2 must be cleared by software. EXF2 does not cause an interrupt in up/down counter mode (DCEN = 1).
RCLK	Receive clock enable. When set, causes the serial port to use Timer 2 overflow pulses for its receive clock in serial port Modes 1 and 3. RCLK = 0 causes Timer 1 overflow to be used for the receive clock.
TCLK	Transmit clock enable. When set, causes the serial port to use Timer 2 overflow pulses for its transmit clock in serial port Modes 1 and 3. TCLK = 0 causes Timer 1 overflows to be used for the transmit clock.
EXEN2	Timer 2 external enable. When set, allows a capture or reload to occur as a result of a negative transition on T2EX if Timer 2 is not being used to clock the serial port. EXEN2 = 0 causes Timer 2 to ignore events at T2EX.
TR2	Start/Stop control for Timer 2. TR2 = 1 starts the timer.
C/T2	Timer or counter select for Timer 2. C/T2 = 0 for timer function. C/T2 = 1 for external event counter (falling edge triggered).
CP/RL2	Capture/Reload select. CP/RL2 = 1 causes captures to occur on negative transitions at T2EX if EXEN2 = 1. CP/RL2 = 0 causes automatic reloads to occur when Timer 2 overflows or negative transitions occur at T2EX when EXEN2 = 1. When either RCLK or TCLK = 1, this bit is ignored and the timer is forced to auto-reload on Timer 2 overflow.

## 3a. AUXR: Auxiliary Register

R	Address = 8EH	Reset Value = XXX00XX0B						
Not Bit Addressable								
Bit	7	6	5	4	3	2	1	DISALE
Reserved for future expansion								
LE	Disable/Enable ALE							
DISALE	Operating Mode							
0	ALE is emitted at a constant rate of 1/6 the oscillator frequency							
1	ALE is active only during a MOVX or MOVC instruction							
TO	Disable/Enable Reset out							
DISRTO								
0	Reset pin is driven High after WDT times out							
1	Reset pin is input only							
OLE	Disable/Enable WDT in IDLE mode							
WDIDLE								
0	WDT continues to count in IDLE mode							
1	WDT halts counting in IDLE mode							

**Data Pointer Registers:** To facilitate accessing both internal and external data memory, two banks of 16-bit Data Pointer Registers are provided: DP0 at SFR address locations 82H-83H and DP1 at 84H-85H. Bit DPS = 0 selects AUXR1 selects DP0 and DPS = 1 selects DP1. User should always initialize the DPS bit to the

appropriate value before accessing the respective Data Pointer Register.

**Power Off Flag:** The Power Off Flag (POF) is located at bit 4 (PCON.4) in the PCON SFR. POF is set to "1" during power up. It can be set and reset under software control and is not affected by reset.

## 3b. AUXR1: Auxiliary Register 1

R1	Address = A2H	Reset Value = XXXXXXXX0B						
Not Bit Addressable								
Bit	7	6	5	4	3	2	1	DPS
Reserved for future expansion								
Data Pointer Register Select								
DPS								
0	Selects DPTR Registers DP0L, DP0H							
1	Selects DPTR Registers DP1L, DP1H							



## Memory Organization

51 devices have a separate address space for Program and Data Memory. Up to 64K bytes each of external Program and Data Memory can be addressed.

### Program Memory

If  $\overline{EA}$  pin is connected to GND, all program fetches are directed to external memory.

On the AT89S52, if  $\overline{EA}$  is connected to  $V_{CC}$ , program fetches to addresses 0000H through 1FFFFH are directed to external memory and fetches to addresses 2000H through FFFFH are to external memory.

### RAM Memory

The AT89S52 implements 256 bytes of on-chip RAM. The upper 128 bytes occupy a parallel address space to the Special Function Registers. This means that the upper 128 bytes have the same addresses as the SFR space but are physically separate from SFR space.

When an instruction accesses an internal location above address 7FH, the address mode used in the instruction specifies whether the CPU accesses the upper 128 bytes of RAM or the SFR space. Instructions which use direct addressing access the SFR space.

For example, the following direct addressing instruction accesses the SFR at location 0A0H (which is P2).

```
MOV 0A0H, #data
```

Instructions that use indirect addressing access the upper 128 bytes of RAM. For example, the following indirect addressing instruction, where R0 contains 0A0H, accesses the data byte at address 0A0H, rather than P2 (whose address is 0A0H).

```
MOV @R0, #data
```

Note that stack operations are examples of indirect addressing, so the upper 128 bytes of data RAM are available as stack space.

## Watchdog Timer One-time Enabled with Reset-out)

The WDT is intended as a recovery method in situations where the CPU may be subjected to software upsets. The WDT consists of a 13-bit counter and the Watchdog Timer (WDTRST) SFR. The WDT is defaulted to disable exiting reset. To enable the WDT, a user must write 01EH and 0E1H in sequence to the WDTRST register (SFR location 0A6H). When the WDT is enabled, it will increment every machine cycle while the oscillator is running. The WDT timeout period is dependent on the external frequency. There is no way to disable the WDT except through reset (either hardware reset or WDT overflow). When WDT overflows, it will drive an output pin HIGH pulse at the RST pin.

### Enabling the WDT

To enable the WDT, a user must write 01EH and 0E1H in sequence to the WDTRST register (SFR location 0A6H). Once the WDT is enabled, the user needs to service it by writing 01EH and 0E1H to WDTRST to avoid a WDT overflow. The 13-bit counter overflows when it reaches 8191 (FFH), and this will reset the device. When the WDT is enabled, it will increment every machine cycle while the oscillator is running. This means the user must reset the WDT at least every 8191 machine cycles. To reset the WDT, the user must write 01EH and 0E1H to WDTRST. WDTRST is a write-only register. The WDT counter cannot be read or written. When WDT overflows, it will generate an output RESET pulse at the RST pin. The RESET pulse duration is 96xTOSC, where TOSC=1/FOSC. To make the most use of the WDT, it should be serviced in those sections of code that will periodically be executed within the required time to prevent a WDT reset.

### Power-down During Power-down and Idle

In Power-down mode the oscillator stops, which means the WDT also stops. While in Power-down mode, the user does not need to service the WDT. There are two methods of exiting Power-down mode: by a hardware reset or via a low-activated external interrupt which is enabled prior to entering Power-down mode. When Power-down is exited via a hardware reset, servicing the WDT should occur as it normally does whenever the AT89S52 is reset. Exiting Power-down with an interrupt is significantly different. The interrupt pin is held low long enough for the oscillator to stabilize. When the interrupt is brought high, the interrupt is serviced. To prevent the WDT from resetting the device when the interrupt pin is held low, the WDT is not started until the interrupt is pulled high. It is suggested that the interrupt pin be reset during the interrupt service for the interrupt to exit Power-down mode.

To ensure that the WDT does not overflow within a few states of exiting Power-down, it is best to reset the WDT just before entering Power-down mode.

Before going into the IDLE mode, the WDIDLE bit in SFR AUXR is used to determine whether the WDT continues to count if enabled. The WDT keeps counting during IDLE (WDIDLE bit = 0) as the default state. To prevent the WDT from resetting the AT89S52 while in IDLE mode, the user should always set up a timer that will periodically exit IDLE, service the WDT, and reenter IDLE mode.

With WDIDLE bit enabled, the WDT will stop to count in IDLE mode and resumes the count upon exit from IDLE.

## UART

The UART in the AT89S52 operates the same way as the UART in the AT89C51 and AT89C52. For further information on the UART operation, refer to the ATMEL Web site (<http://www.atmel.com>). From the home page, select 'Products', then '8051-Architecture Flash Microcontroller', then 'Product Overview'.

## Timer 0 and 1

Timer 0 and Timer 1 in the AT89S52 operate the same way as Timer 0 and Timer 1 in the AT89C51 and AT89C52. For further information on the timers' operation, refer to the ATMEL Web site (<http://www.atmel.com>). From the home page, select 'Products', then '8051-Architecture Flash Microcontroller', then 'Product Overview'.

## Timer 2

Timer 2 is a 16-bit Timer/Counter that can operate as either a timer or an event counter. The type of operation is selected by bit C/T2 in the SFR T2CON (shown in Table 2). Timer 2 has three operating modes: capture, auto-reload (up or down counting), and baud rate generator. The modes are selected by bits in T2CON, as shown in Table 3. Timer 2 consists of two 8-bit registers, TH2 and TL2. In the Timer function, the TL2 register is incremented every machine cycle. Since a machine cycle consists of 12 oscillator periods, the count rate is 1/12 of the oscillator frequency.

Table 3. Timer 2 Operating Modes

RCLK +TCLK	CP/RL2	TR2	MODE
0	0	1	16-bit Auto-reload
0	1	1	16-bit Capture
1	X	1	Baud Rate Generator
X	X	0	(Off)



Counter function, the register is incremented in response to a 1-to-0 transition at its corresponding external pin, T2. In this function, the external input is sampled during S5P2 of every machine cycle. When the samples are high in one cycle and a low in the next cycle, the counter is incremented. The new count value appears in the timer during S3P1 of the cycle following the one in which the transition was detected. Since two machine cycles (24 oscillator periods) are required to recognize a 1-to-0 transition, the maximum count rate is 1/24 of the oscillator frequency. To ensure that a given level is sampled at least once before it changes, the level should be held for at least four machine cycles.

#### Capture Mode

In capture mode, two options are selected by bit C/T2 in T2CON. If EXEN2 = 0, Timer 2 is a 16-bit timer counter which upon overflow sets bit TF2 in T2CON.

Figure 5. Timer in Capture Mode

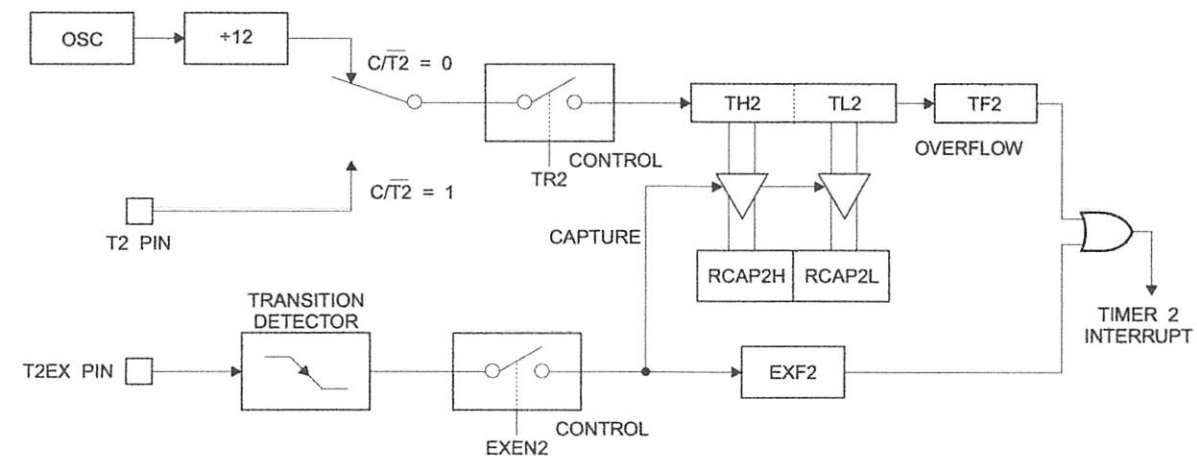


Figure 6 shows Timer 2 automatically counting up when C/T2=0. In this mode, two options are selected by bit EXEN2 in T2CON. If EXEN2 = 0, Timer 2 counts up to FFFFH and then sets the TF2 bit upon overflow. The overflow also causes the timer registers to be reloaded with a 16-bit value in RCAP2H and RCAP2L. The values in RCAP2H and RCAP2L are preset in software. If EXEN2 = 1, a 16-bit reload can be triggered either by an overflow or by a 1-to-0 transition at external pin T2EX. This transition also sets the EXF2 bit. Both the TF2 and EXF2 bits can generate an interrupt if enabled. Setting the DCEN bit enables Timer 2 to count up or down, as shown in Figure 6. In this mode, the T2EX pin controls

This bit can then be used to generate an interrupt. If EXEN2 = 1, Timer 2 performs the same operation, but a 1-to-0 transition at external input T2EX also causes the current value in TH2 and TL2 to be captured into RCAP2H and RCAP2L, respectively. In addition, the transition at T2EX causes bit EXF2 in T2CON to be set. The EXF2 bit, like TF2, can generate an interrupt. The capture mode is illustrated in Figure 5.

#### Auto-reload (Up or Down Counter)

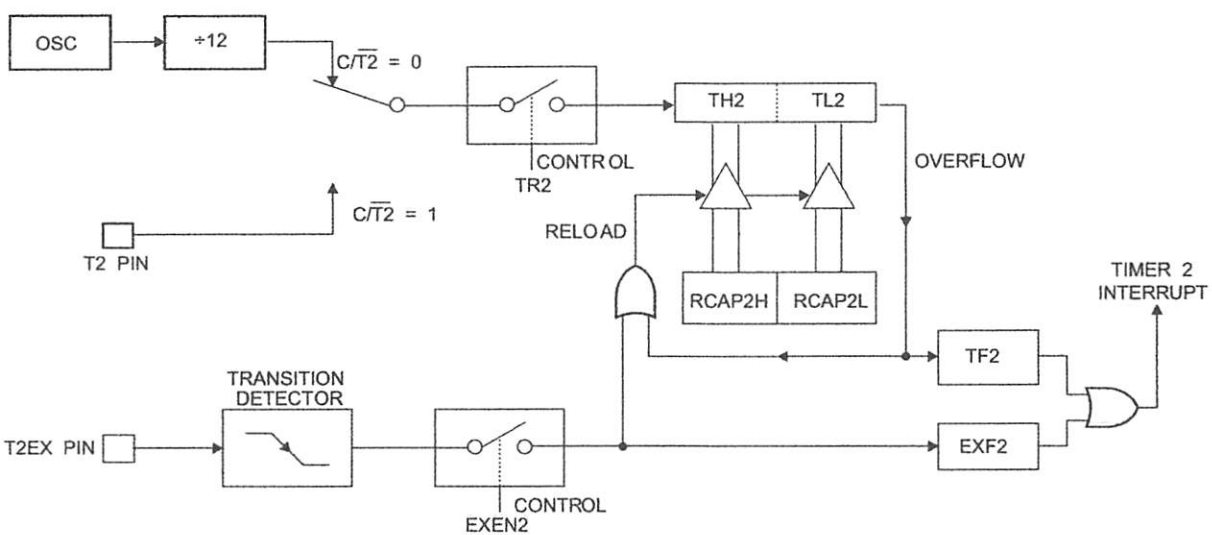
Timer 2 can be programmed to count up or down when configured in its 16-bit auto-reload mode. This feature is invoked by the DCEN (Down Counter Enable) bit located in the SFR T2MOD (see Table 4). Upon reset, the DCEN bit is set to 0 so that timer 2 will default to count up. When DCEN is set, Timer 2 can count up or down, depending on the value of the T2EX pin.

the direction of the count. A logic 1 at T2EX makes Timer 2 count up. The timer will overflow at FFFFH and set the TF2 bit. This overflow also causes the 16-bit value in RCAP2H and RCAP2L to be reloaded into the timer registers, TH2 and TL2, respectively.

A logic 0 at T2EX makes Timer 2 count down. The timer underflows when TH2 and TL2 equal the values stored in RCAP2H and RCAP2L. The underflow sets the TF2 bit and causes FFFFH to be reloaded into the timer registers.

The EXF2 bit toggles whenever Timer 2 overflows or underflows and can be used as a 17th bit of resolution. In this operating mode, EXF2 does not flag an interrupt.

## 6. Timer 2 Auto Reload Mode (DCEN = 0)



## 4. T2MOD – Timer 2 Mode Control Register

T2MOD Address = 0C9H Reset Value = XXXX XX00B

Not Bit Addressable

Bit	-	-	-	-	-	-	T2OE	DCEN
Bit	7	6	5	4	3	2	1	0

Symbol	Function
	Not implemented, reserved for future
	Timer 2 Output Enable bit
N	When set, this bit allows Timer 2 to be configured as an up/down counter

Figure 7. Timer 2 Auto Reload Mode (DCEN = 1)

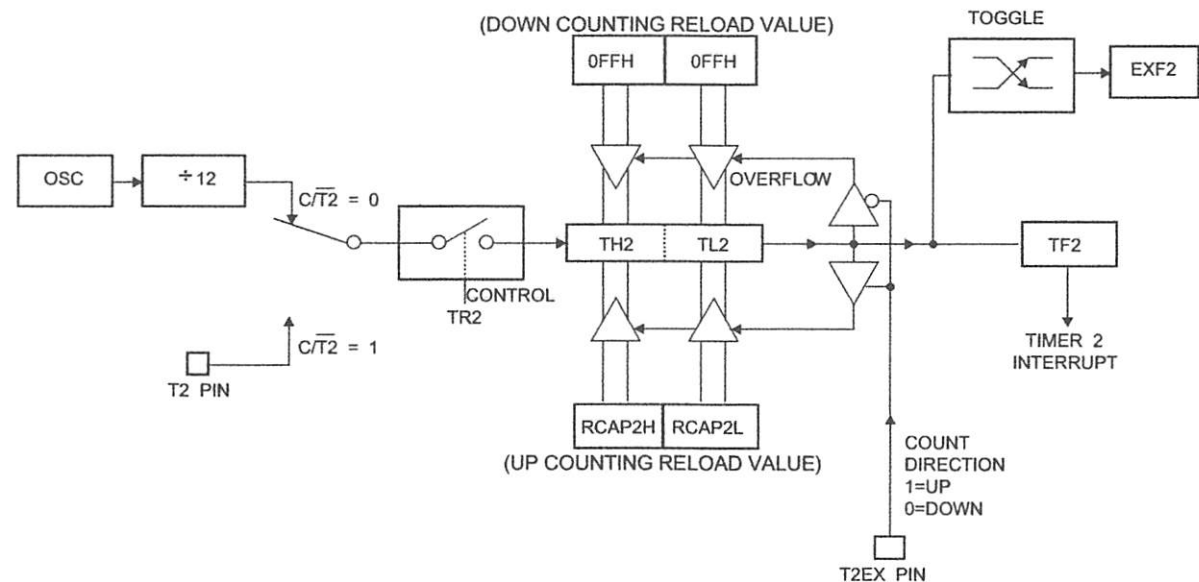
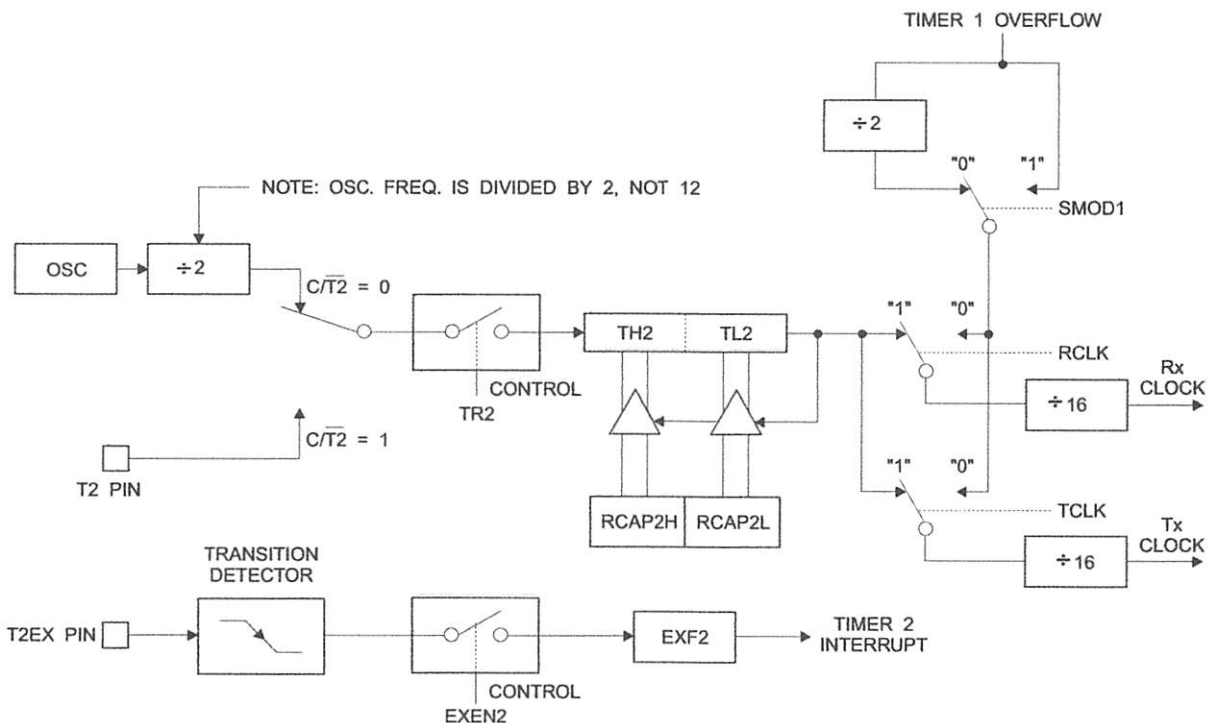


Figure 8. Timer 2 in Baud Rate Generator Mode



## Baud Rate Generator

Timer 2 is selected as the baud rate generator by setting T2CON<sub>7</sub> and/or RCLK in T2CON (Table 2). Note that the states for transmit and receive can be different if Timer 2 is used for the receiver or transmitter and Timer 1 is used for the other function. Setting RCLK and/or TCLK puts Timer 2 into its baud rate generator mode, as shown in Figure 8.

The baud rate generator mode is similar to the auto-reload mode in that a rollover in TH2 causes the Timer 2 registers to be reloaded with the 16-bit value in registers RCAP2H and RCAP2L, which are preset by software.

The baud rates in Modes 1 and 3 are determined by Timer 2 overflow rate according to the following equation.

$$\text{Baud Rates 1 and 3} = \frac{\text{Timer 2 Overflow Rate}}{16}$$

Timer 2 can be configured for either timer or counter operation. In most applications, it is configured for timer operation ( $\text{CP}/\overline{T2} = 0$ ). The timer operation is different for Timer 2 when it is used as a baud rate generator. Normally, as a timer, it increments every machine cycle (at 1/12 the oscillator frequency). As a baud rate generator, however, it

increments every state time (at 1/2 the oscillator frequency). The baud rate formula is given below.

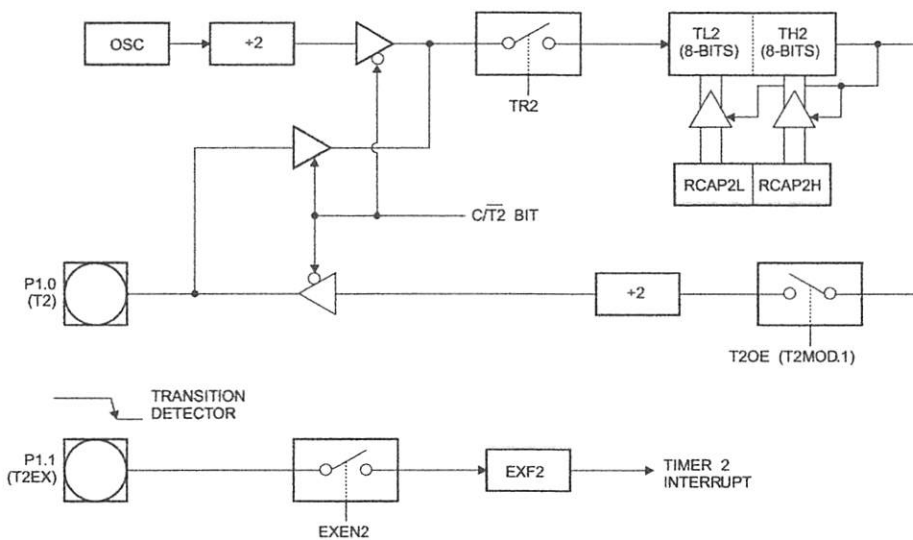
$$\text{Modes 1 and 3} = \frac{\text{Oscillator Frequency}}{\text{Baud Rate}} = \frac{32 \times [65536 - \text{RCAP2H}, \text{RCAP2L}]}{[65536 - \text{RCAP2H}, \text{RCAP2L}]} \quad (1)$$

where (RCAP2H, RCAP2L) is the content of RCAP2H and RCAP2L taken as a 16-bit unsigned integer.

Timer 2 as a baud rate generator is shown in Figure 8. This figure is valid only if RCLK or TCLK = 1 in T2CON. Note that a rollover in TH2 does not set TF2 and will not generate an interrupt. Note too, that if EXEN2 is set, a 1-to-0 transition in T2EX will set EXF2 but will not cause a reload from (RCAP2H, RCAP2L) to (TH2, TL2). Thus, when Timer 2 is in use as a baud rate generator, T2EX can be used as an extra external interrupt.

Note that when Timer 2 is running ( $\text{TR2} = 1$ ) as a timer in the baud rate generator mode, TH2 or TL2 should not be read from or written to. Under these conditions, the Timer is incremented every state time, and the results of a read or write may not be accurate. The RCAP2 registers may be read but should not be written to, because a write might overlap a reload and cause write and/or reload errors. The timer should be turned off (clear TR2) before accessing the Timer 2 or RCAP2 registers.

Figure 9. Timer 2 in Clock-Out Mode



## Programmable Clock Out

A duty cycle clock can be programmed to come out on pin T2OUT as shown in Figure 9. This pin, besides being a regular output pin, has two alternate functions. It can be programmed to input the external clock for Timer/Counter 2 or it can put a 50% duty cycle clock ranging from 61 Hz to 4 KHz at a 16 MHz operating frequency.

To configure the Timer/Counter 2 as a clock generator, bit T2CON.1 must be cleared and bit T2OE (T2MOD.1) must be set. Bit TR2 (T2CON.2) starts and stops the timer.

The clock-out frequency depends on the oscillator frequency and the reload value of Timer 2 capture registers (RCAP2H, RCAP2L), as shown in the following equation.

$$\text{Clock-Out Frequency} = \frac{\text{Oscillator Frequency}}{4 \times [65536 - (\text{RCAP2H}, \text{RCAP2L})]}$$

In clock-out mode, Timer 2 roll-overs will not generate an interrupt. This behavior is similar to when Timer 2 is used as a baud-rate generator. It is possible to use Timer 2 as a baud-rate generator and a clock generator simultaneously. Note, however, that the baud-rate and clock-out frequencies cannot be determined independently from one another since they both use RCAP2H and RCAP2L.

## Interrupts

The AT89S52 has a total of six interrupt vectors: two external interrupts (INT0 and INT1), three timer interrupts (Timer 0, 1, and 2), and the serial port interrupt. These interrupt vectors are all shown in Figure 10.

None of these interrupt sources can be individually enabled or disabled by setting or clearing a bit in Special Function Register IE. IE also contains a global disable bit, EA, which disables all interrupts at once.

Note that Table 5 shows that bit position IE.6 is unimplemented. In the AT89S52, bit position IE.5 is also unimplemented. User software should not write 1s to these bit positions, since they may be used in future AT89 products.

The Timer 2 interrupt is generated by the logical OR of bits TF2 and EXF2 in register T2CON. Neither of these flags is cleared by hardware when the service routine is vectored. In fact, the service routine may have to determine whether it was TF2 or EXF2 that generated the interrupt, since this bit will have to be cleared in software.

The Timer 0 and Timer 1 flags, TF0 and TF1, are set at the end of the cycle in which the timers overflow. The values are then polled by the circuitry in the next cycle. However, the Timer 2 flag, TF2, is set at S2P2 and is polled in the same cycle in which the timer overflows.

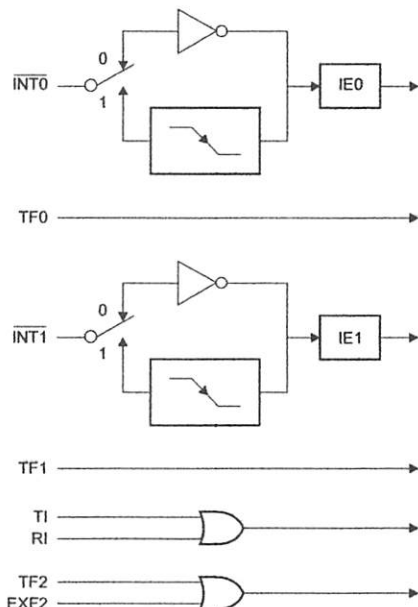
**Table 5. Interrupt Enable (IE) Register**

(MSB)								(LSB)	
EA	-	ET2	ES	ET1	EX1	ET0	EX0		
Enable Bit = 1 enables the interrupt.									
Enable Bit = 0 disables the interrupt.									

Symbol	Position	Function
EA	IE.7	Disables all interrupts. If EA = 0, no interrupt is acknowledged. If EA = 1, each interrupt source is individually enabled or disabled by setting or clearing its enable bit.
-	IE.6	Reserved.
ET2	IE.5	Timer 2 interrupt enable bit.
ES	IE.4	Serial Port interrupt enable bit.
ET1	IE.3	Timer 1 interrupt enable bit.
EX1	IE.2	External interrupt 1 enable bit.
ET0	IE.1	Timer 0 interrupt enable bit.
EX0	IE.0	External interrupt 0 enable bit.

User software should never write 1s to unimplemented bits, because they may be used in future AT89 products.

**Figure 10. Interrupt Sources**



## Oscillator Characteristics

XTAL1 and XTAL2 are the input and output, respectively, of an inverting amplifier that can be configured for use as an on-chip oscillator, as shown in Figure 11. Either a quartz crystal or ceramic resonator may be used. To drive the oscillator from an external clock source, XTAL2 should be left unconnected while XTAL1 is driven, as shown in Figure 12. There are no requirements on the duty cycle of the external clock signal, since the input to the internal clocking circuitry passes through a divide-by-two flip-flop, but minimum and maximum voltage high and low time specifications must be observed.

## Idle Mode

In Idle mode, the CPU puts itself to sleep while all the on-chip peripherals remain active. The mode is invoked by software. The content of the on-chip RAM and all the special function registers remain unchanged during this mode.

The idle mode can be terminated by any enabled interrupt or by a hardware reset.

Note that when idle mode is terminated by a hardware reset, the device normally resumes program execution where it left off, up to two machine cycles before the initial reset algorithm takes control. On-chip hardware has access to internal RAM in this event, but access to port pins is not inhibited. To eliminate the possibility of an unexpected write to a port pin when idle mode is terminated by a reset, the instruction following the one that exits idle mode should not write to a port pin or to external memory.

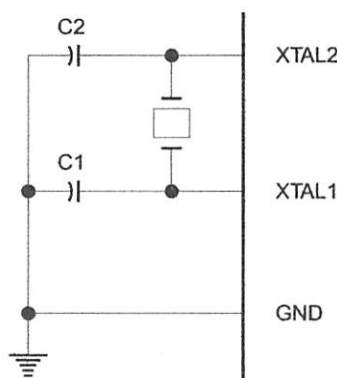
## Power-down Mode

In Power-down mode, the oscillator is stopped, and the instruction that invokes Power-down is the last instruction executed. The on-chip RAM and Special Function Registers retain their values until the Power-down mode is terminated.

Exit from Power-down mode can be initiated either by a hardware reset or by an enabled external interrupt. This redefines the SFRs but does not change the on-chip RAM. The reset should not be activated before V<sub>CC</sub> is returned to its normal operating level and must be held

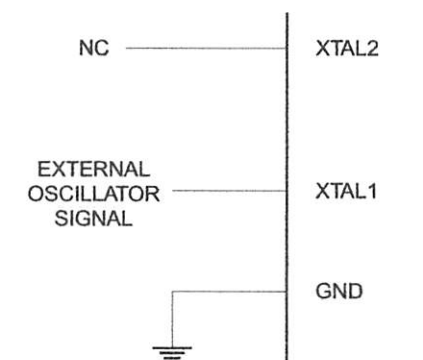
active long enough to allow the oscillator to restart and stabilize.

Figure 11. Oscillator Connections



Note: C1, C2 = 30 pF ± 10 pF for Crystals  
= 40 pF ± 10 pF for Ceramic Resonators

Figure 12. External Clock Drive Configuration



## 6. Status of External Pins During Idle and Power-down Modes

	Program Memory	ALE	PSEN	PORT0	PORT1	PORT2	PORT3
	Internal	1	1	Data	Data	Data	Data
	External	1	1	Float	Data	Address	Data
Power-down	Internal	0	0	Data	Data	Data	Data
Power-down	External	0	0	Float	Data	Data	Data



## Program Memory Lock Bits

The AT89S52 has three lock bits that can be left unprogrammed (U) or can be programmed (P) to obtain the additional features listed in the following table.

### 7. Lock Bit Protection Modes

Program Lock Bits			Protection Type
LB1	LB2	LB3	
U	U	U	No program lock features
P	U	U	MOVC instructions executed from external program memory are disabled from fetching code bytes from internal memory. EA is sampled and latched on reset, and further programming of the Flash memory is disabled
P	P	U	Same as mode 2, but verify is also disabled
P	P	P	Same as mode 3, but external execution is also disabled

If lock bit 1 is programmed, the logic level at the EA pin is sampled and latched during reset. If the device is powered without a reset, the latch initializes to a random value and holds that value until reset is activated. The EA value must agree with the current logic level of the pin in order for the device to function properly.

## Programming the Flash – Parallel Mode

The AT89S52 is shipped with the on-chip Flash memory ready to be programmed. The programming interface is a high-voltage (12-volt) program enable signal and is incompatible with conventional third-party Flash or ROM programmers.

The AT89S52 code memory array is programmed byte-by-

**Programming Algorithm:** Before programming the AT89S52, the address, data, and control signals should be connected according to the Flash programming mode table and Figures 13 and 14. To program the AT89S52, take the following steps:

1. Set the desired memory location on the address lines.

2. Set the appropriate data byte on the data lines.

3. Activate the correct combination of control signals.

4. Raise EA/V<sub>PP</sub> to 12V.

5. Use ALE/PROG once to program a byte in the Flash array or the lock bits. The byte-write cycle is self-timed and typically takes no more than 50 µs.

Repeat steps 1 through 5, changing the address and data for the entire array or until the end of the object file is reached.

**Data Polling:** The AT89S52 features Data Polling to indicate the end of a byte write cycle. During a write cycle, an attempted read of the last byte written will result in the complement of the written data on P0.7. Once the write cycle has been completed, true data is valid on all outputs, and the next cycle may begin. Data Polling may begin any time after a write cycle has been initiated.

**Ready/Busy:** The progress of byte programming can also be monitored by the RDY/BSY output signal. P3.0 is pulled low after ALE goes high during programming to indicate BUSY. P3.0 is pulled high again when programming is done to indicate READY.

**Program Verify:** If lock bits LB1 and LB2 have not been programmed, the programmed code data can be read back via the address and data lines for verification. The status of the individual lock bits can be verified directly by reading them back.

**Reading the Signature Bytes:** The signature bytes are read by the same procedure as a normal verification of locations 000H, 100H, and 200H, except that P3.6 and P3.7 must be pulled to a logic low. The values returned are as follows.

(000H) = 1EH indicates manufactured by Atmel

(100H) = 52H indicates 89S52

(200H) = 06H

**Chip Erase:** In the parallel programming mode, a chip erase operation is initiated by using the proper combination of control signals and by pulsing ALE/PROG low for a duration of 200 ns - 500 ns.

In the serial programming mode, a chip erase operation is initiated by issuing the Chip Erase instruction. In this mode, chip erase is self-timed and takes about 500 ms.

During chip erase, a serial read from any address location will return 00H at the data output.

## Programming the Flash – Serial Mode

The Code memory array can be programmed using the serial ISP interface while RST is pulled to V<sub>CC</sub>. The serial interface consists of pins SCK, MOSI (input) and MISO (output). After RST is set high, the Programming Enable instruction needs to be executed first before other operations can be executed. Before a reprogramming sequence can occur, a Chip Erase operation is required.

The Chip Erase operation turns the content of every memory location in the Code array into FFH.

Either an external system clock can be supplied at pin XTAL1 or a crystal needs to be connected across pins XTAL1 and XTAL2. The maximum serial clock (SCK)

ency should be less than 1/16 of the crystal frequency. With a 33 MHz oscillator clock, the maximum SCK frequency is 2 MHz.

## Serial Programming Algorithm

To program and verify the AT89S52 in the serial programming mode, the following sequence is recommended:

Power-up sequence:

Supply power between VCC and GND pins.

Set RST pin to "H".

If a crystal is not connected across pins XTAL1 and XTAL2, apply a 3 MHz to 33 MHz clock to XTAL1 pin and wait for at least 10 milliseconds.

Enable serial programming by sending the Programming Enable serial instruction to pin MISO/P1.5. The frequency of the shift clock supplied at pin SCK/P1.7 needs to be less than the PU clock at XTAL1 divided by 16.

The Code array is programmed one byte at a time supplying the address and data together with the

appropriate Write instruction. The write cycle is self-timed and typically takes less than 1 ms at 5V.

4. Any memory location can be verified by using the Read instruction which returns the content at the selected address at serial output MISO/P1.6.
5. At the end of a programming session, RST can be set low to commence normal device operation.

Power-off sequence (if needed):

Set XTAL1 to "L" (if a crystal is not used).

Set RST to "L".

Turn V<sub>CC</sub> power off.

**Data Polling:** The Data Polling feature is also available in the serial mode. In this mode, during a write cycle an attempted read of the last byte written will result in the complement of the MSB of the serial output byte on MISO.

## Serial Programming Instruction Set

The Instruction Set for Serial Programming follows a 4-byte protocol and is shown in Table 10.



## Programming Interface – Parallel Mode

Each code byte in the Flash array can be programmed by the appropriate combination of control signals. The operation cycle is self-timed and once initiated, will automatically time itself to completion.

All major programming vendors offer worldwide support for the Atmel microcontroller series. Please contact your local programming vendor for the appropriate software revision.

### 8. Flash Programming Modes

	<b>V<sub>CC</sub></b>	<b>RST</b>	<b>PSEN</b>	<b>ALE/PROG</b>	<b>EA/V<sub>PP</sub></b>	<b>P2.6</b>	<b>P2.7</b>	<b>P3.3</b>	<b>P3.6</b>	<b>P3.7</b>	<b>P0.7-0 Data</b>	<b>P2.4-0</b>	<b>P1.7-0</b>
	<b>Address</b>												
Code Data	5V	H	L	(2)	12V	L	H	H	H	H	D <sub>IN</sub>	A12-8	A7-0
Code Data	5V	H	L	H	H	L	L	L	H	H	D <sub>OUT</sub>	A12-8	A7-0
Lock Bit 1	5V	H	L	(3)	12V	H	H	H	H	H	X	X	X
Lock Bit 2	5V	H	L	(3)	12V	H	H	H	L	L	X	X	X
Lock Bit 3	5V	H	L	(3)	12V	H	L	H	H	L	X	X	X
Lock Bits	5V	H	L	H	H	H	H	L	H	L	P0.2, P0.3, P0.4	X	X
Erase	5V	H	L	(1)	12V	H	L	H	L	L	X	X	X
Atmel ID	5V	H	L	H	H	L	L	L	L	L	1EH	X 0000	00H
Device ID	5V	H	L	H	H	L	L	L	L	L	52H	X 0001	00H
Device ID	5V	H	L	H	H	L	L	L	L	L	06H	X 0010	00H

1. Each PROG pulse is 200 ns - 500 ns for Chip Erase.
2. Each PROG pulse is 200 ns - 500 ns for Write Code Data.
3. Each PROG pulse is 200 ns - 500 ns for Write Lock Bits.
4. RDY/BSY signal is output on P3.0 during programming.
5. X = don't care.

### 13. Programming the Flash Memory (Parallel Mode)

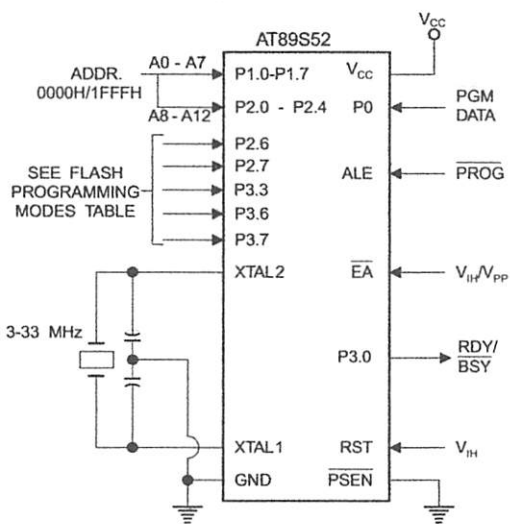
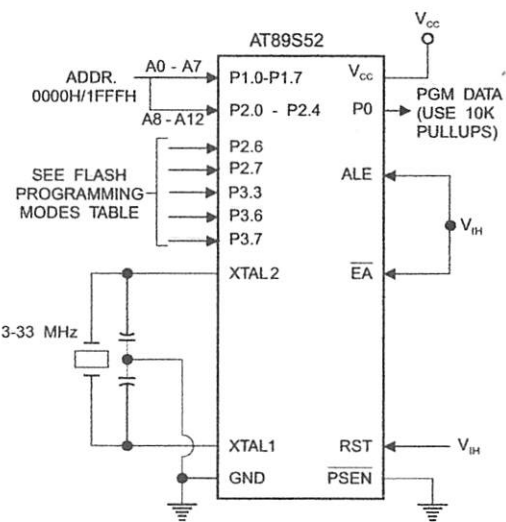


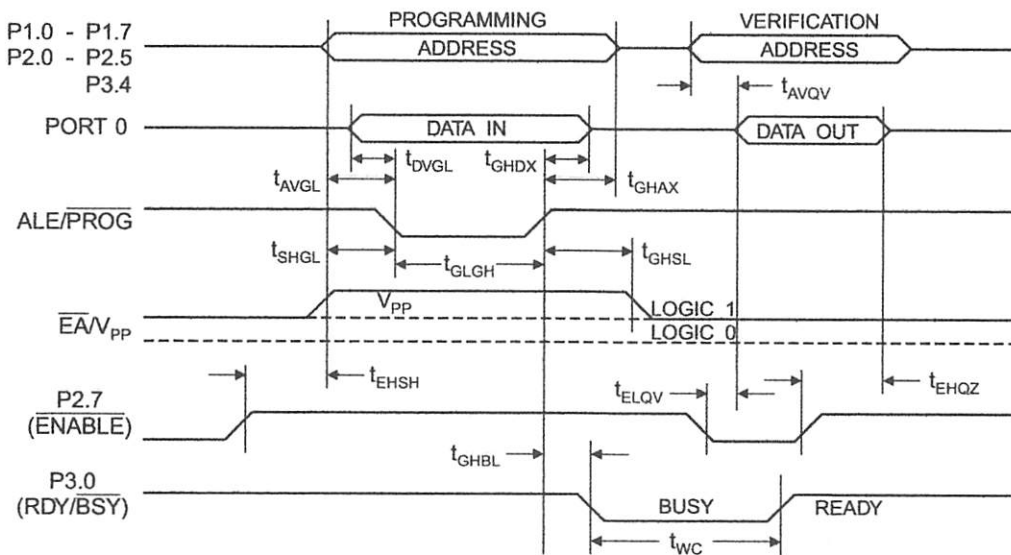
Figure 14. Verifying the Flash Memory (Parallel Mode)



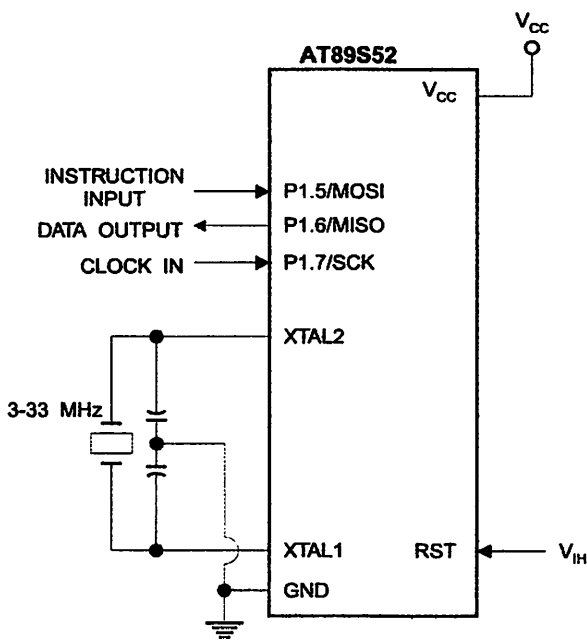
**AT89S52**

**Programming and Verification Characteristics (Parallel Mode)**0°C to 30°C, V<sub>CC</sub> = 4.5 to 5.5V

Parameter	Min	Max	Units
Programming Supply Voltage	11.5	12.5	V
Programming Supply Current		10	mA
V <sub>CC</sub> Supply Current		30	mA
Oscillator Frequency	3	33	MHz
Address Setup to PROG Low	48t <sub>CLCL</sub>		
Address Hold After PROG	48t <sub>CLCL</sub>		
Data Setup to PROG Low	48t <sub>CLCL</sub>		
Data Hold After PROG	48t <sub>CLCL</sub>		
P2.7 (ENABLE) High to V <sub>PP</sub>	48t <sub>CLCL</sub>		
V <sub>PP</sub> Setup to PROG Low	10		μs
V <sub>PP</sub> Hold After PROG	10		μs
PROG Width	0.2	1	μs
Address to Data Valid		48t <sub>CLCL</sub>	
ENABLE Low to Data Valid		48t <sub>CLCL</sub>	
Data Float After ENABLE	0	48t <sub>CLCL</sub>	
PROG High to BUSY Low		1.0	μs
Byte Write Cycle Time		50	μs

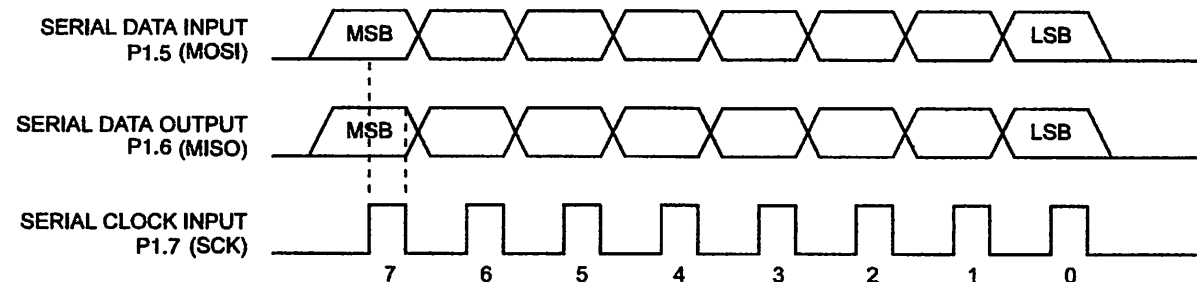
**15. Flash Programming and Verification Waveforms – Parallel Mode**

## 16. Flash Memory Serial Downloading



## Programming and Verification Waveforms – Serial Mode

### 17. Serial Programming Waveforms



**AT89S52**

## 9. Serial Programming Instruction Set

Instruction	Instruction Format		Byte 3	Byte 4	Operation
	Byte 1	Byte 2			
Programming Enable	1010 1100	0101 0011	xxxx xxxx	xxxx xxxx 0110 1001 (Output)	Enable Serial Programming while RST is high
Erase	1010 1100	100x xxxx	xxxx xxxx	xxxx xxxx	Chip Erase Flash memory array
Program Memory Mode)	0010 0000	xxx A12 A11 A10 A9 A8	A7 A6 A5 A4 A3 A2 A1 A0	D7 D6 D5 D4 D3 D2 D1 D0	Read data from Program memory in the byte mode
Program Memory Mode)	0100 0000	xxx A12 A11 A10 A9 A8	A7 A6 A5 A4 A3 A2 A1 A0	D7 D6 D5 D4 D3 D2 D1 D0	Write data to Program memory in the byte mode
Lock Bits <sup>(2)</sup>	1010 1100	1110 00 B1 B2	xxxx xxxx	xxxx xxxx	Write Lock bits. See Note (2).
Lock Bits	0010 0100	xxxx xxxx	xxxx xxxx	xx <sub>B0</sub> xx <sub>B1</sub> xx	Read back current status of the lock bits (a programmed lock bit reads back as a '1')
Signature Bytes <sup>(1)</sup>	0010 1000	xxx A5 A4 A3 A2 A1 A0	xxx xxxx	Signature Byte	Read Signature Byte
Program Memory Mode)	0011 0000	xxx A12 A11 A10 A9 A8	Byte 0	Byte 1... Byte 255	Read data from Program memory in the Page Mode (256 bytes)
Program Memory Mode)	0101 0000	xxx A12 A11 A10 A9 A8	Byte 0	Byte 1... Byte 255	Write data to Program memory in the Page Mode (256 bytes)

1. The signature bytes are not readable in Lock Bit Modes 3 and 4.

2. B1 = 0, B2 = 0 ---> Mode 1, no lock protection

B1 = 0, B2 = 1 ---> Mode 2, lock bit 1 activated

B1 = 1, B2 = 0 ---> Mode 3, lock bit 2 activated

B1 = 1, B2 = 1 ---> Mode 4, lock bit 3 activated

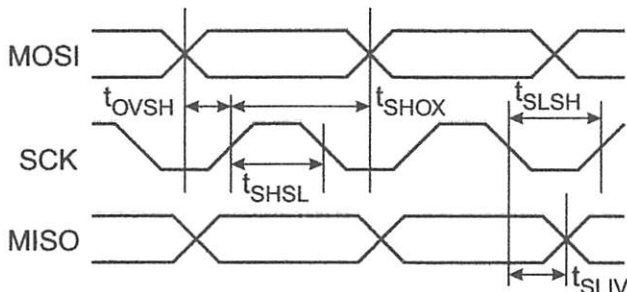
  
Each of the lock bits needs to be activated sequentially before Mode 4 can be executed.

Reset signal is high, SCK should be low for at least 64 clock cycles before it goes high to clock in the enable bytes. No pulsing of Reset signal is necessary. SCK should be no faster than 1/16 of the system clock at 1.

For Page Read/Write, the data always starts from byte 0 to 255. After the command byte and upper address byte are latched, each byte thereafter is treated as data until all 256 bytes are shifted in/out. Then the next instruction will be ready to be decoded.

## I Programming Characteristics

### 18. Serial Programming Timing



### 10. Serial Programming Characteristics, $T_A = -40^\circ C$ to $85^\circ C$ , $V_{CC} = 4.0 - 5.5V$ (Unless otherwise noted)

Symbol	Parameter	Min	Typ	Max	Units
L	Oscillator Frequency	0		33	MHz
	Oscillator Period	30			ns
	SCK Pulse Width High	$2 t_{CLCL}$			ns
	SCK Pulse Width Low	$2 t_{CLCL}$			ns
	MOSI Setup to SCK High	$t_{CLCL}$			ns
	MOSI Hold after SCK High	$2 t_{CLCL}$			ns
E	SCK Low to MISO Valid	10	16	32	ns
E	Chip Erase Instruction Cycle Time			500	ms
	Serial Byte Write Cycle Time			$64 t_{CLCL} + 400$	$\mu s$

**Absolute Maximum Ratings\***

Operating Temperature.....	-55°C to +125°C
Storage Temperature .....	-65°C to +150°C
Voltage on Any Pin Respect to Ground .....	-1.0V to +7.0V
Maximum Operating Voltage .....	6.6V
Output Current.....	15.0 mA

\*NOTICE: Stresses beyond those listed under "Absolute Maximum Ratings" may cause permanent damage to the device. This is a stress rating only and functional operation of the device at these or any other conditions beyond those indicated in the operational sections of this specification is not implied. Exposure to absolute maximum rating conditions for extended periods may affect device reliability.

**Characteristics**

Values shown in this table are valid for  $T_A = -40^\circ\text{C}$  to  $85^\circ\text{C}$  and  $V_{CC} = 4.0\text{V}$  to  $5.5\text{V}$ , unless otherwise noted.

Parameter	Condition	Min	Max	Units
Input Low Voltage	(Except $\overline{\text{EA}}$ )	-0.5	$0.2 V_{CC} - 0.1$	V
Input Low Voltage ( $\overline{\text{EA}}$ )		-0.5	$0.2 V_{CC} - 0.3$	V
Input High Voltage	(Except XTAL1, RST)	$0.2 V_{CC} + 0.9$	$V_{CC} + 0.5$	V
Input High Voltage	(XTAL1, RST)	$0.7 V_{CC}$	$V_{CC} + 0.5$	V
Output Low Voltage <sup>(1)</sup> (Ports 1,2,3)	$I_{OL} = 1.6 \text{ mA}$		0.45	V
Output Low Voltage <sup>(1)</sup> (Port 0, ALE, PSEN)	$I_{OL} = 3.2 \text{ mA}$		0.45	V
Output High Voltage (Ports 1,2,3, ALE, PSEN)	$I_{OH} = -60 \mu\text{A}, V_{CC} = 5\text{V} \pm 10\%$	2.4		V
	$I_{OH} = -25 \mu\text{A}$	$0.75 V_{CC}$		V
	$I_{OH} = -10 \mu\text{A}$	$0.9 V_{CC}$		V
Output High Voltage (Port 0 in External Bus Mode)	$I_{OH} = -800 \mu\text{A}, V_{CC} = 5\text{V} \pm 10\%$	2.4		V
	$I_{OH} = -300 \mu\text{A}$	$0.75 V_{CC}$		V
	$I_{OH} = -80 \mu\text{A}$	$0.9 V_{CC}$		V
Logical 0 Input Current (Ports 1,2,3)	$V_{IN} = 0.45\text{V}$		-50	$\mu\text{A}$
Logical 1 to 0 Transition Current (Ports 1,2,3)	$V_{IN} = 2\text{V}, V_{CC} = 5\text{V} \pm 10\%$		-650	$\mu\text{A}$
Input Leakage Current (Port 0, $\overline{\text{EA}}$ )	$0.45 < V_{IN} < V_{CC}$		$\pm 10$	$\mu\text{A}$
Reset Pulldown Resistor		10	30	$\text{k}\Omega$
Pin Capacitance	Test Freq. = 1 MHz, $T_A = 25^\circ\text{C}$		10	pF
Power Supply Current	Active Mode, 12 MHz		25	mA
	Idle Mode, 12 MHz		6.5	mA
Power-down Mode <sup>(1)</sup>	$V_{CC} = 5.5\text{V}$		50	$\mu\text{A}$

- Under steady state (non-transient) conditions,  $I_{OL}$  must be externally limited as follows:

Maximum  $I_{OL}$  per port pin: 10 mA

Maximum  $I_{OL}$  per 8-bit port:

Port 0: 26 mA      Ports 1, 2, 3: 15 mA

Maximum total  $I_{OL}$  for all output pins: 71 mA

If  $I_{OL}$  exceeds the test condition,  $V_{OL}$  may exceed the related specification. Pins are not guaranteed to sink current greater than the listed test conditions.

- Minimum  $V_{CC}$  for Power-down is 2V.





## Characteristics

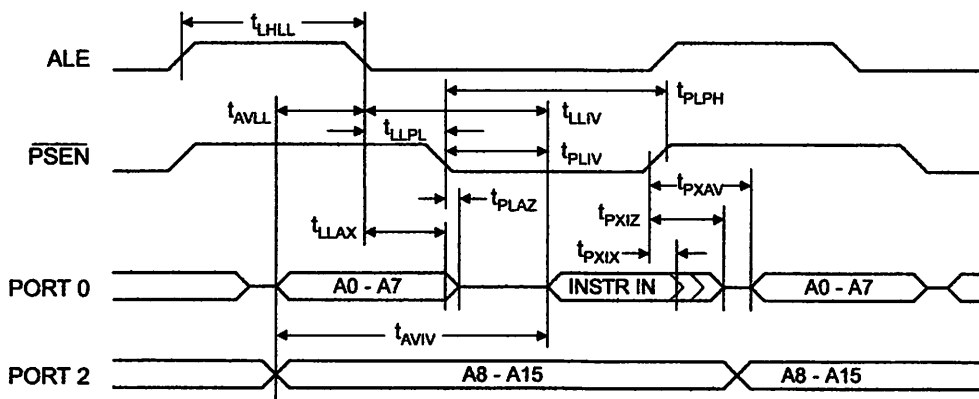
operating conditions, load capacitance for Port 0, ALE/PROG, and PSEN = 100 pF; load capacitance for all other pins = 80 pF.

### Internal Program and Data Memory Characteristics

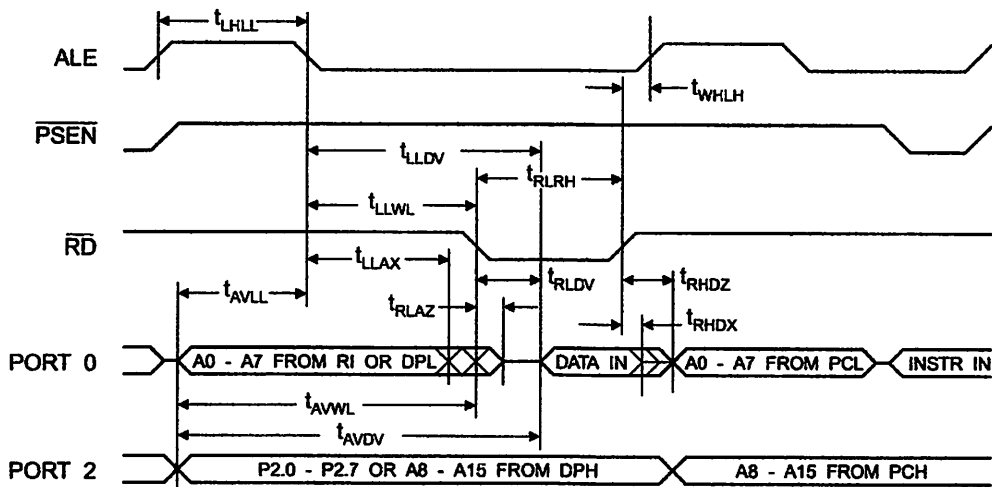
Parameter	12 MHz Oscillator		Variable Oscillator		Units
	Min	Max	Min	Max	
Oscillator Frequency			0	33	MHz
ALE Pulse Width	127		$2t_{CLCL}-40$		ns
Address Valid to ALE Low	43		$t_{CLCL}-25$		ns
Address Hold After ALE Low	48		$t_{CLCL}-25$		ns
ALE Low to Valid Instruction In		233		$4t_{CLCL}-65$	ns
ALE Low to PSEN Low	43		$t_{CLCL}-25$		ns
PSEN Pulse Width	205		$3t_{CLCL}-45$		ns
PSEN Low to Valid Instruction In		145		$3t_{CLCL}-60$	ns
Input Instruction Hold After PSEN	0		0		ns
Input Instruction Float After PSEN		59		$t_{CLCL}-25$	ns
PSEN to Address Valid	75		$t_{CLCL}-8$		ns
Address to Valid Instruction In		312		$5t_{CLCL}-80$	ns
PSEN Low to Address Float		10		10	ns
RD Pulse Width	400		$6t_{CLCL}-100$		ns
WR Pulse Width	400		$6t_{CLCL}-100$		ns
RD Low to Valid Data In		252		$5t_{CLCL}-90$	ns
Data Hold After RD	0		0		ns
Data Float After RD		97		$2t_{CLCL}-28$	ns
ALE Low to Valid Data In		517		$8t_{CLCL}-150$	ns
Address to Valid Data In		585		$9t_{CLCL}-165$	ns
ALE Low to RD or WR Low	200	300	$3t_{CLCL}-50$	$3t_{CLCL}+50$	ns
Address to RD or WR Low	203		$4t_{CLCL}-75$		ns
Data Valid to WR Transition	23		$t_{CLCL}-30$		ns
Data Valid to WR High	433		$7t_{CLCL}-130$		ns
Data Hold After WR	33		$t_{CLCL}-25$		ns
RD Low to Address Float		0		0	ns
RD or WR High to ALE High	43	123	$t_{CLCL}-25$	$t_{CLCL}+25$	ns

AT89S52

## Internal Program Memory Read Cycle

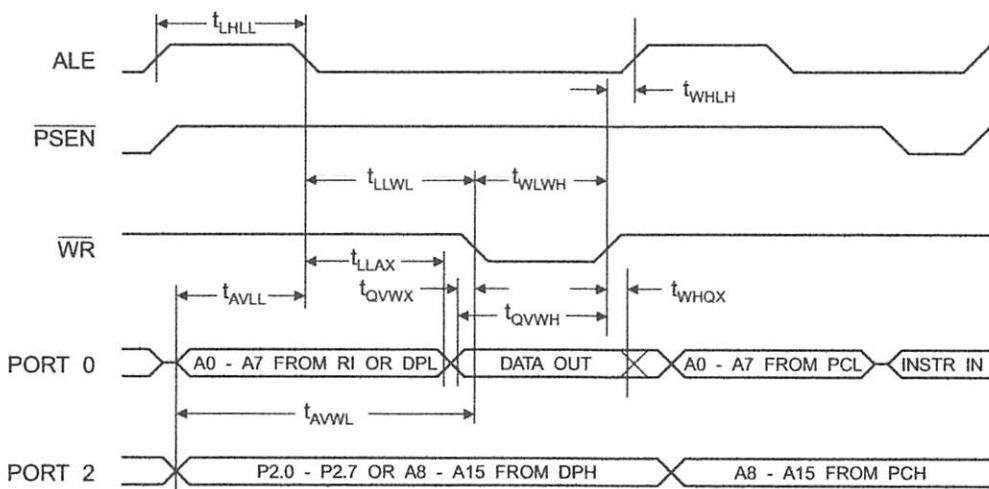


## Internal Data Memory Read Cycle

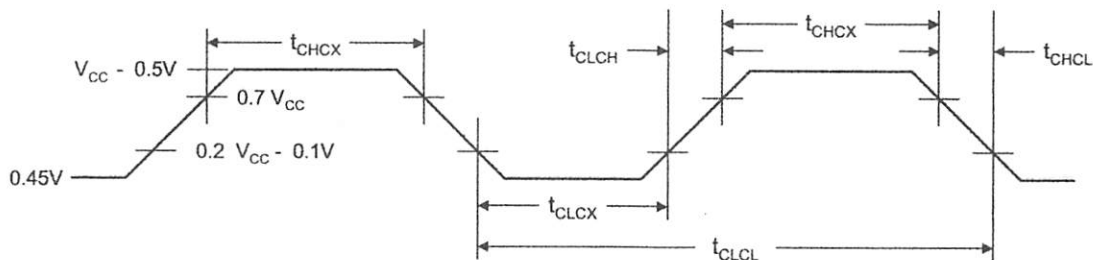


**ATMEL**

## Internal Data Memory Write Cycle



## Internal Clock Drive Waveforms



## Internal Clock Drive

Parameter	Min	Max	Units
Oscillator Frequency	0	33	MHz
Clock Period	30		ns
High Time	12		ns
Low Time	12		ns
Rise Time		5	ns
Fall Time		5	ns

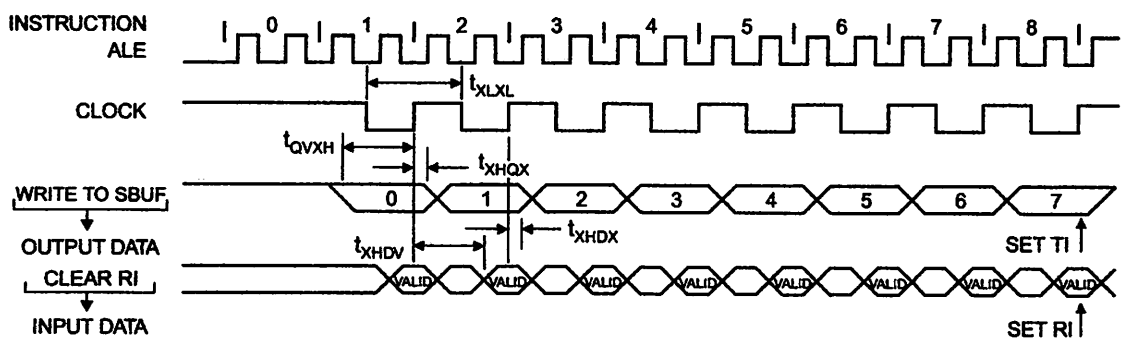
**AT89S52**

## Serial Port Timing: Shift Register Mode Test Conditions

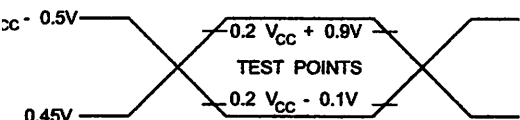
Values in this table are valid for  $V_{CC} = 4.0V$  to  $5.5V$  and Load Capacitance =  $80\text{ pF}$ .

Parameter	12 MHz Osc		Variable Oscillator		Units
	Min	Max	Min	Max	
Serial Port Clock Cycle Time	1.0		$12t_{CLCL}$		μs
Output Data Setup to Clock Rising Edge	700		$10t_{CLCL}-133$		ns
Output Data Hold After Clock Rising Edge	50		$2t_{CLCL}-80$		ns
Input Data Hold After Clock Rising Edge	0		0		ns
Clock Rising Edge to Input Data Valid		700		$10t_{CLCL}-133$	ns

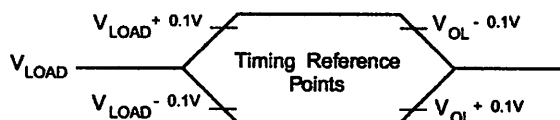
## Register Mode Timing Waveforms



## Testing Input/Output Waveforms<sup>(1)</sup>



## Float Waveforms<sup>(1)</sup>



- AC Inputs during testing are driven at  $V_{CC} - 0.5V$  for a logic 1 and  $0.45V$  for a logic 0. Timing measurements are made at  $V_{IH}$  min. for a logic 1 and  $V_{IL}$  max. for a logic 0.

- Note:
- For timing purposes, a port pin is no longer floating when a 100 mV change from load voltage occurs. A port pin begins to float when a 100 mV change from the loaded  $V_{OH}/V_{OL}$  level occurs.



## Ordering Information

Speed (Hz)	Power Supply	Ordering Code	Package	Operation Range
4	4.0V to 5.5V	AT89S52-24AC	44A	Commercial (0° C to 70° C)
		AT89S52-24JC	44J	
		AT89S52-24PC	40P6	
	4.5V to 5.5V	AT89S52-24AI	44A	Industrial (-40° C to 85° C)
		AT89S52-24JI	44J	
		AT89S52-24PI	40P6	
3	4.5V to 5.5V	AT89S52-33AC	44A	Commercial (0° C to 70° C)
		AT89S52-33JC	44J	
		AT89S52-33PC	40P6	

= Preliminary Availability

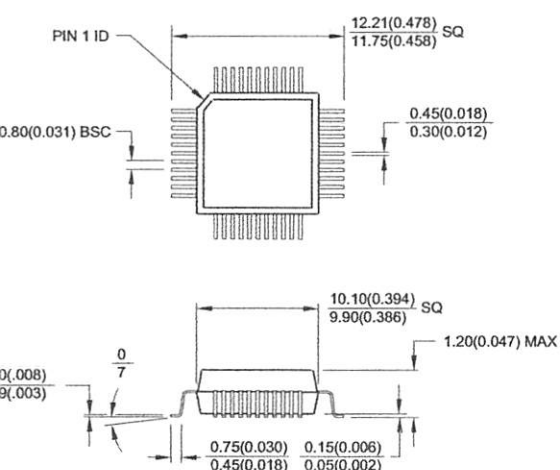
### Package Type

44-lead, Thin Plastic Gull Wing Quad Flatpack (TQFP)
44-lead, Plastic J-leaded Chip Carrier (PLCC)
40-pin, 0.600" Wide, Plastic Dual Inline Package (PDIP)

# AT89S52

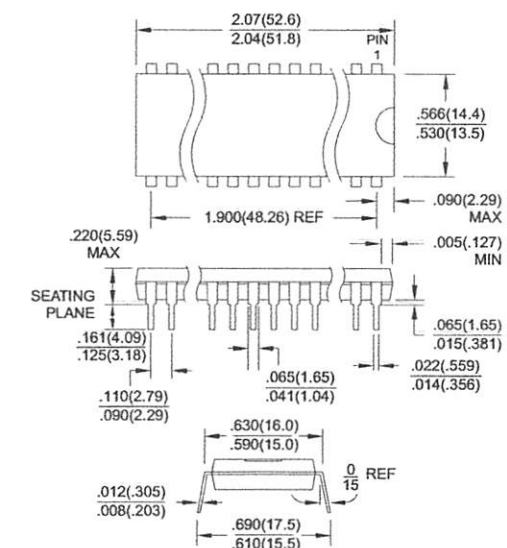
## Packaging Information

**A**, 44-lead, Thin (1.0 mm) Plastic Gull Wing Quad  
at Package (TQFP)  
Dimensions in Millimeters and (Inches)\*

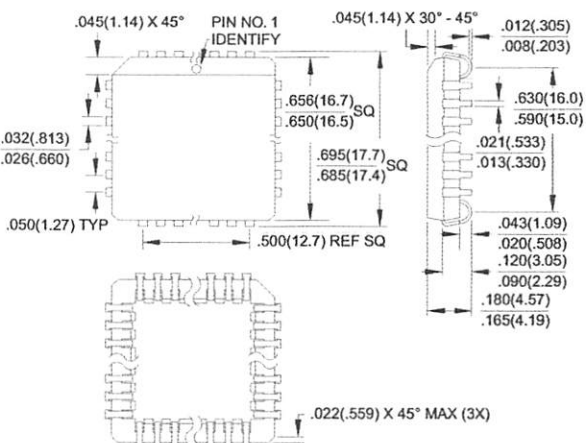


Controlling dimension: millimeters

**P6**, 40-pin, 0.600" Wide, Plastic Dual Inline  
Package (PDIP)  
Dimensions in Inches and (Millimeters)  
DEC STANDARD MS-011 AC



**44J**, 44-lead, Plastic J-leaded Chip Carrier (PLCC)  
Dimensions in Inches and (Millimeters)





## el Headquarters

**porate Headquarters**  
5 Orchard Parkway  
n Jose, CA 95131  
(408) 441-0311  
(408) 487-2600

**ne**  
tel Sarl  
ute des Arsenaux 41  
a Postale 80  
-1705 Fribourg  
itzerland  
(41) 26-426-5555  
(41) 26-426-5500

**tel Asia, Ltd.**  
om 1219  
nachem Golden Plaza  
Mody Road Tsimhatsui  
t Kowloon  
ng Kong  
(852) 2721-9778  
(852) 2722-1369

**tel Japan K.K.**  
Tonetsu Shinkawa Bldg.  
4-8 Shinkawa  
o-ku, Tokyo 104-0033  
an  
(81) 3-3523-3551  
(81) 3-3523-7581

## Atmel Product Operations

**Atmel Colorado Springs**  
1150 E. Cheyenne Mtn. Blvd.  
Colorado Springs, CO 80906  
TEL (719) 576-3300  
FAX (719) 540-1759

**Atmel Grenoble**  
Avenue de Rochepleine  
BP 123  
38521 Saint-Egreve Cedex, France  
TEL (33) 4-7658-3000  
FAX (33) 4-7658-3480

**Atmel Heilbronn**  
Theresienstrasse 2  
POB 3535  
D-74025 Heilbronn, Germany  
TEL (49) 71 31 67 25 94  
FAX (49) 71 31 67 24 23

**Atmel Nantes**  
La Chantrerie  
BP 70602  
44306 Nantes Cedex 3, France  
TEL (33) 0 2 40 18 18 18  
FAX (33) 0 2 40 18 19 60

**Atmel Rousset**  
Zone Industrielle  
13106 Rousset Cedex, France  
TEL (33) 4-4253-6000  
FAX (33) 4-4253-6001

**Atmel Smart Card ICs**  
Scottish Enterprise Technology Park  
East Kilbride, Scotland G75 0QR  
TEL (44) 1355-357-000  
FAX (44) 1355-242-743

**Fax-on-Demand**  
North America:  
1-(800) 292-8635  
International:  
1-(408) 441-0732

**e-mail**  
[literature@atmel.com](mailto:literature@atmel.com)

**Web Site**  
<http://www.atmel.com>

**BBS**  
1-(408) 436-4309

## I Corporation 2001.

orporation makes no warranty for the use of its products, other than those expressly contained in the Company's standard warranty detailed in Atmel's Terms and Conditions located on the Company's web site. The Company assumes no responsibility for any errors may appear in this document, reserves the right to change devices or specifications detailed herein at any time without notice, and does e any commitment to update the information contained herein. No licenses to patents or other intellectual property of Atmel are granted company in connection with the sale of Atmel products, expressly or by implication. Atmel's products are not authorized for use as critical ents in life support devices or systems.

' is the registered trademark of Atmel.

® is the registered trademark of Intel Corporation. Terms and product names in this document may be rks of others.



Printed on recycled paper.

## tures

- Read Access Time - 150 ns
- Byte Write - 200  $\mu$ s or 1 ms
- Timed Byte Write Cycle
- Internal Address and Data Latches
- Internal Control Timer
- Automatic Clear Before Write
- Microprocessor Control
- DATA POLLING**
- Power
  - 30 mA Active Current
  - 100  $\mu$ A CMOS Standby Current
- Reliability
  - Endurance:  $10^4$  or  $10^5$  Cycles
  - Data Retention: 10 Years
  - 10% Supply
- I<sub>S</sub>S & TTL Compatible Inputs and Outputs
- EC Approved Byte Wide Pinout
- Commercial and Industrial Temperature Ranges

## Description

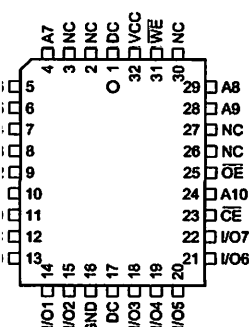
AT28C16 is a low-power, high-performance Electrically Erasable and Program-Read Only Memory with easy to use features. The AT28C16 is a 16K memory organized as 2,048 words by 8 bits. The device is manufactured with Atmel's reliable volatile CMOS technology.

(continued)

## Configurations

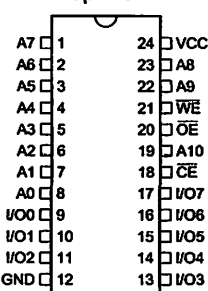
Name	Function
A10	Addresses
	Chip Enable
	Output Enable
	Write Enable
I/O7	Data Inputs/Outputs
	No Connect
	Don't Connect

PLCC  
Top View



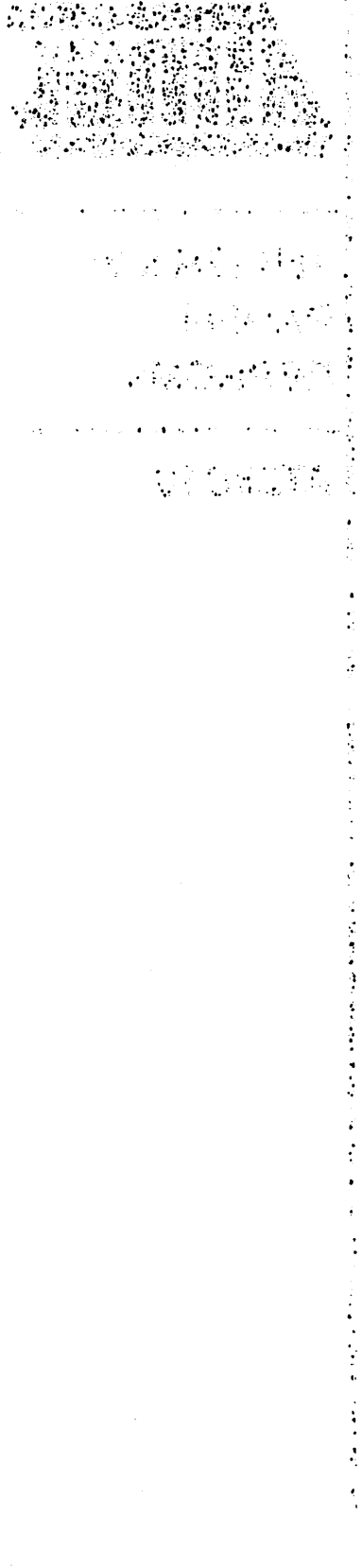
PLCC package pins 1 and 17  
DO NOT CONNECT.

PDIP, SOIC  
Top View



Rev. 0540B-10/98





1939

1940

1941

1942

1943

1944

1945

1946

1947

1948

1949

1950

1951

1952

1953

1954

1955

1956

1957

1958

1959

1960

1961

1962

1963

1964

1965

1966

1967

1968

1969

1970

1971

1972

1973

1974

1975

1976

1977

1978

1979

1980

1981

1982

1983

1984

1985

1986

1987

1988

1989

1990

1991

1992

1993

1994

1995

1996

1997

1998

1999

2000

2001

2002

2003

2004

2005

2006

2007

2008

2009

2010

2011

2012

2013

2014

2015

2016

2017

2018

2019

2020

2021

2022

2023

2024

2025

2026

2027

2028

2029

2030

2031

2032

2033

2034

2035

2036

2037

2038

2039

2040

2041

2042

2043

2044

2045

2046

2047

2048

2049

2050

2051

2052

2053

2054

2055

2056

2057

2058

2059

2060

2061

2062

2063

2064

2065

2066

2067

2068

2069

2070

2071

2072

2073

2074

2075

2076

2077

2078

2079

2080

2081

2082

2083

2084

2085

2086

2087

2088

2089

2090

2091

2092

2093

2094

2095

2096

2097

2098

2099

20100

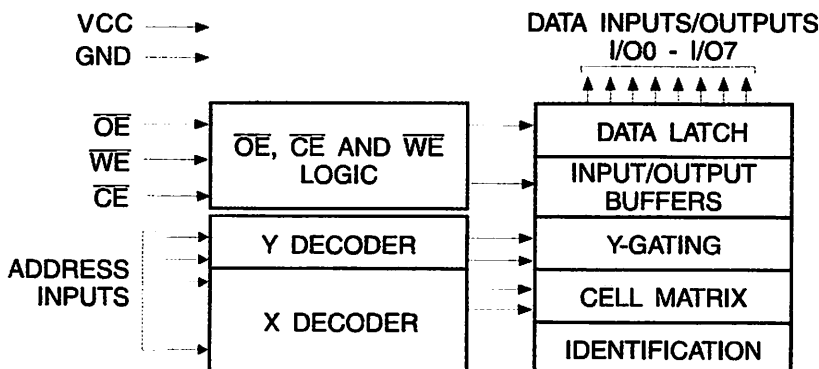


AT28C16 is accessed like a static RAM for the read or cycles without the need of external components. During byte write, the address and data are latched interfacing the microprocessor address and data bus for operations. Following the initiation of a write cycle, device will go to a busy state and automatically clear write the latched data using an internal control timer. End of a write cycle can be determined by DATA ING of I/O<sub>7</sub>. Once the end of a write cycle has been led, a new access for a read or a write can begin.

The CMOS technology offers fast access times of 150 ns at low power dissipation. When the chip is deselected the standby current is less than 100 µA.

Atmel's 28C16 has additional features to ensure high quality and manufacturability. The device utilizes error correction internally for extended endurance and for improved data retention characteristics. An extra 32 bytes of EEPROM are available for device identification or tracking.

## Block Diagram



## Absolute Maximum Ratings\*

Temperature Under Bias .....	-55°C to +125°C
Storage Temperature .....	-65°C to +150°C
Input Voltages (including NC Pins) Respect to Ground .....	-0.6V to +6.25V
Output Voltages Respect to Ground .....	-0.6V to V <sub>CC</sub> + 0.6V
Voltage on OE and A9 Respect to Ground .....	-0.6V to +13.5V

\*NOTICE: Stresses beyond those listed under "Absolute Maximum Ratings" may cause permanent damage to the device. This is a stress rating only and functional operation of the device at these or any other conditions beyond those indicated in the operational sections of this specification is not implied. Exposure to absolute maximum rating conditions for extended periods may affect device reliability.

**AT28C16**

## Device Operation

**D: The AT28C16 is accessed like a Static RAM.**  $\overline{CE}$  and  $\overline{OE}$  are low and  $\overline{WE}$  is high, the data stored in memory location determined by the address pins is read on the outputs. The outputs are put in a high impedance state whenever  $\overline{CE}$  or  $\overline{OE}$  is high. This dual line output gives designers increased flexibility in preventing contention.

**WRITE:** Writing data into the AT28C16 is similar to writing into a Static RAM. A low pulse on the  $\overline{WE}$  or  $\overline{CE}$  with  $\overline{OE}$  high and  $\overline{CE}$  or  $\overline{WE}$  low (respectively) initiates a byte write. The address location is latched on the falling edge of  $\overline{WE}$  (or  $\overline{CE}$ ); the new data is latched on the first rising edge. Internally, the device performs a self-timing before write. Once a byte write has been started, it automatically times itself to completion. Once a programming operation has been initiated and for the duration of the write cycle, a read operation will effectively be a polling operation.

**BYTE WRITE:** The AT28C16E offers a byte write time of 200  $\mu$ s maximum. This feature allows the entire array to be rewritten in 0.4 seconds.

**POLLING:** The AT28C16 provides DATA POLLING until the completion of a write cycle. During a write

cycle, an attempted read of the data being written results in the complement of that data for I/O<sub>7</sub> (the other outputs are indeterminate). When the write cycle is finished, true data appears on all outputs.

**WRITE PROTECTION:** Inadvertent writes to the device are protected against in the following ways: (a)  $V_{CC}$  sense—if  $V_{CC}$  is below 3.8V (typical) the write function is inhibited; (b)  $V_{CC}$  power on delay—once  $V_{CC}$  has reached 3.8V the device will automatically time out 5 ms (typical) before allowing a byte write; and (c) write inhibit—holding any one of  $\overline{OE}$  low,  $\overline{CE}$  high or  $\overline{WE}$  high inhibits byte write cycles.

**CHIP CLEAR:** The contents of the entire memory of the AT28C16 may be set to the high state by the CHIP CLEAR operation. By setting  $\overline{CE}$  low and  $\overline{OE}$  to 12 volts, the chip is cleared when a 10 msec low pulse is applied to  $\overline{WE}$ .

**DEVICE IDENTIFICATION:** An extra 32 bytes of EEPROM memory are available to the user for device identification. By raising A9 to 12  $\pm$  0.5V and using address locations 7E0H to 7FFH the additional bytes may be written to or read from in the same manner as the regular memory array.



## and AC Operating Range

		AT28C16-15
Operating Temperature (Case)	Com.	0°C - 70°C
	Ind.	-40°C - 85°C
Power Supply		5V ± 10%

## Rating Modes

Mode	$\overline{CE}$	$\overline{OE}$	$\overline{WE}$	I/O
Read	$V_{IL}$	$V_{IL}$	$V_{IH}$	$D_{OUT}$
(2) Write	$V_{IL}$	$V_{IH}$	$V_{IL}$	$D_{IN}$
Standby/Write Inhibit	$V_{IH}$	X <sup>(1)</sup>	X	High Z
Write Inhibit	X	X	$V_{IH}$	
Read Inhibit	X	$V_{IL}$	X	
Output Disable	X	$V_{IH}$	X	High Z
Erase	$V_{IL}$	$V_H^{(3)}$	$V_{IL}$	High Z

1. X can be  $V_{IL}$  or  $V_{IH}$ .

2. Refer to AC Programming Waveforms.

3.  $V_H = 12.0V \pm 0.5V$

## Characteristics

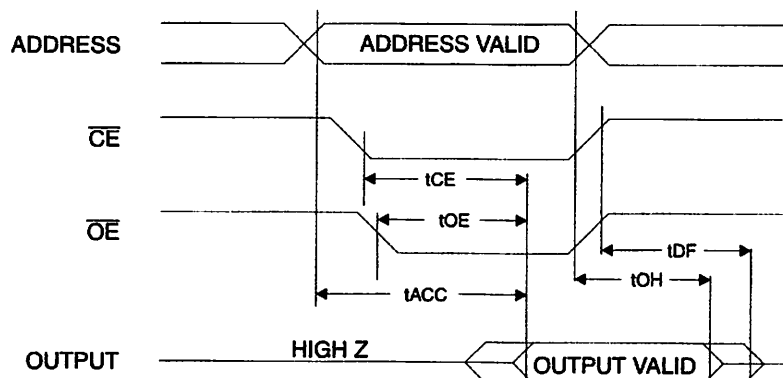
Symbol	Parameter	Condition	Min	Max	Units
	Input Load Current	$V_{IN} = 0V$ to $V_{CC} + 1V$		10	$\mu A$
	Output Leakage Current	$V_{IO} = 0V$ to $V_{CC}$		10	$\mu A$
	$V_{CC}$ Standby Current CMOS	$\overline{CE} = V_{CC} - 0.3V$ to $V_{CC} + 1.0V$		100	$\mu A$
	$V_{CC}$ Standby Current TTL	$\overline{CE} = 2.0V$ to $V_{CC} + 1.0V$	Com.	2	mA
			Ind.	3	mA
	$V_{CC}$ Active Current AC	$f = 5$ MHz; $I_{OUT} = 0$ mA $\overline{CE} = V_{IL}$	Com.	30	mA
			Ind.	45	mA
	Input Low Voltage			0.8	V
	Input High Voltage		2.0		V
	Output Low Voltage	$I_{OL} = 2.1$ mA		.4	V
	Output High Voltage	$I_{OH} = -400$ $\mu A$	2.4		V

**AT28C16**

## Read Characteristics

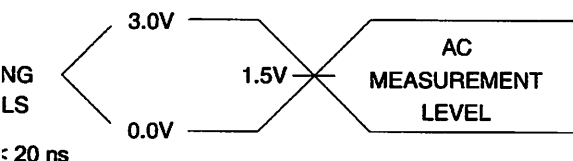
Parameter	AT28C16-15		Units
	Min	Max	
Address to Output Delay		150	ns
$\overline{CE}$ to Output Delay		150	ns
$\overline{OE}$ to Output Delay	10	70	ns
<sup>4)</sup> $\overline{CE}$ or $\overline{OE}$ High to Output Float	0	50	ns
Output Hold from $\overline{OE}$ , $\overline{CE}$ or Address, whichever occurred first	0		ns

## Read Waveforms<sup>(1)(2)(3)(4)</sup>

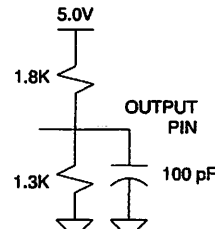


1.  $\overline{CE}$  may be delayed up to  $t_{ACC} - t_{CE}$  after the address transition without impact on  $t_{ACC}$ .
2.  $\overline{OE}$  may be delayed up to  $t_{CE} - t_{OE}$  after the falling edge of  $\overline{CE}$  without impact on  $t_{CE}$  or by  $t_{ACC} - t_{OE}$  after an address change without impact on  $t_{ACC}$ .
3.  $t_{DF}$  is specified from  $\overline{OE}$  or  $\overline{CE}$  whichever occurs first ( $C_L = 5 \text{ pF}$ ).
4. This parameter is characterized and is not 100% tested.

## Output Test Waveforms and Measurement Level



## Output Test Load



## Capacitance

1Hz, T = 25°C<sup>(1)</sup>

Parameter	Typ	Max	Units	Conditions
	4	6	pF	$V_{IN} = 0V$
	8	12	pF	$V_{OUT} = 0V$

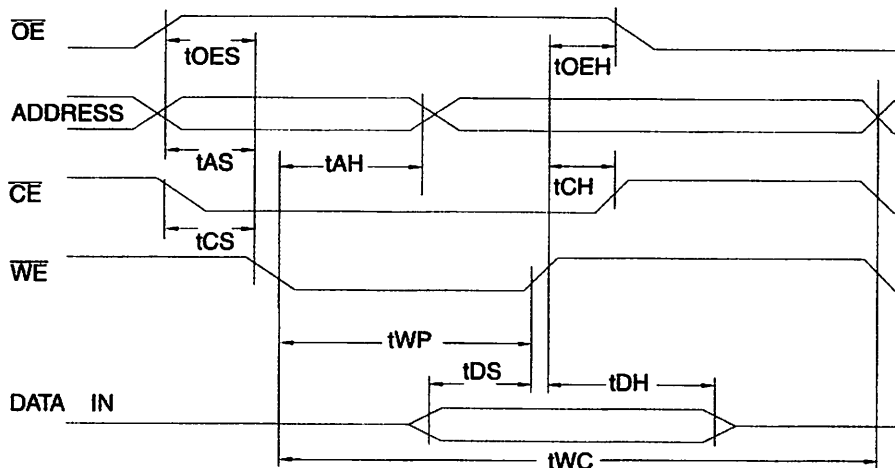
1. This parameter is characterized and is not 100% tested.

## Write Characteristics

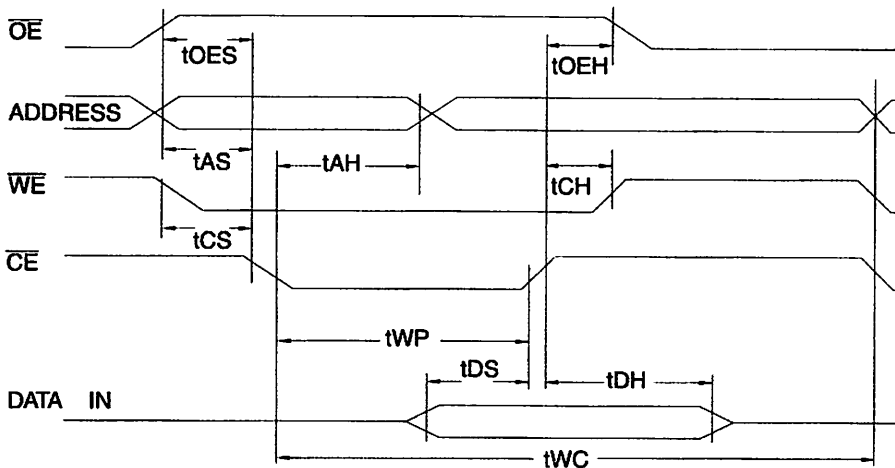
Parameter	Min	Typ	Max	Units
t <sub>OES</sub> Address, $\overline{OE}$ Set-up Time	10			ns
t <sub>AH</sub> Address Hold Time	50			ns
t <sub>WP</sub> Write Pulse Width ( $\overline{WE}$ or $\overline{CE}$ )	100		1000	ns
t <sub>DS</sub> Data Set-up Time	50			ns
t <sub>DEH</sub> Data, $\overline{OE}$ Hold Time	10			ns
t <sub>CH</sub> $\overline{CE}$ to $\overline{WE}$ and $\overline{WE}$ to $\overline{CE}$ Set-up and Hold Time	0			ns
Write Cycle Time	AT28C16	0.5	1.0	ms
	AT28C16E	100	200	$\mu$ s

## Write Waveforms

### Controlled



### Uncontrolled

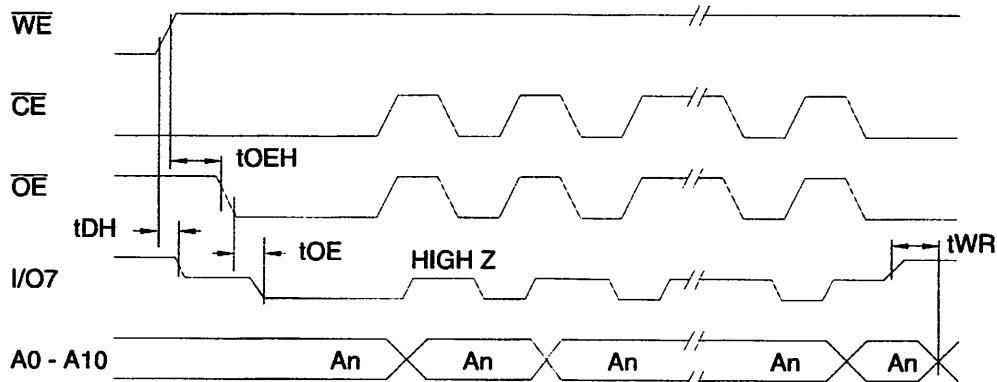
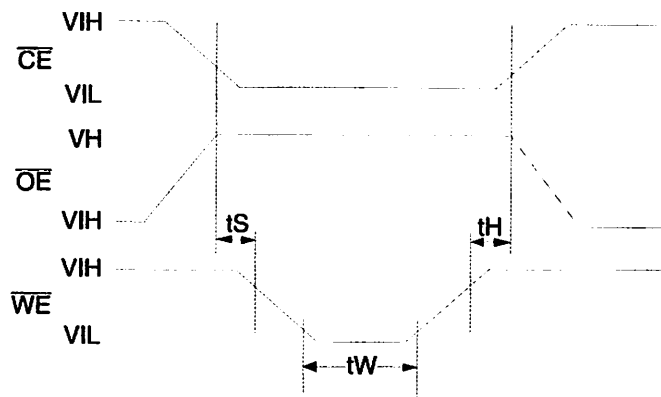


**Polling Characteristics<sup>(1)</sup>**

Parameter	Min	Typ	Max	Units
Data Hold Time	10			ns
$\overline{OE}$ Hold Time	10			ns
$\overline{OE}$ to Output Delay <sup>(2)</sup>				ns
Write Recovery Time	0			ns

1. These parameters are characterized and not 100% tested.

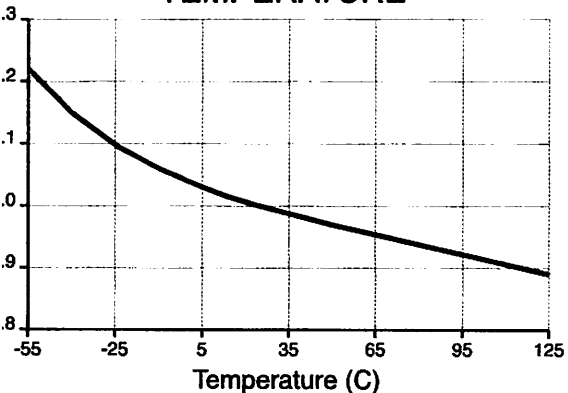
2. See AC Characteristics.

**Polling Waveforms****Erase Waveforms**= 1  $\mu$ sec (min.)

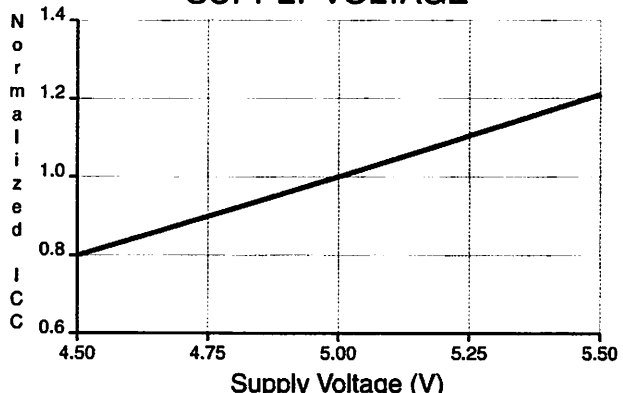
msec (min.)

2.0V  $\pm$  0.5V

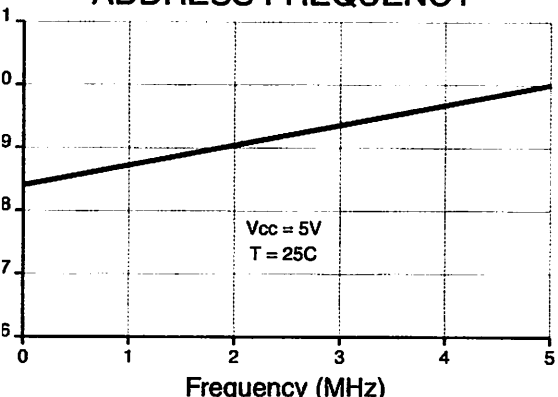
**NORMALIZED SUPPLY CURRENT vs.  
TEMPERATURE**



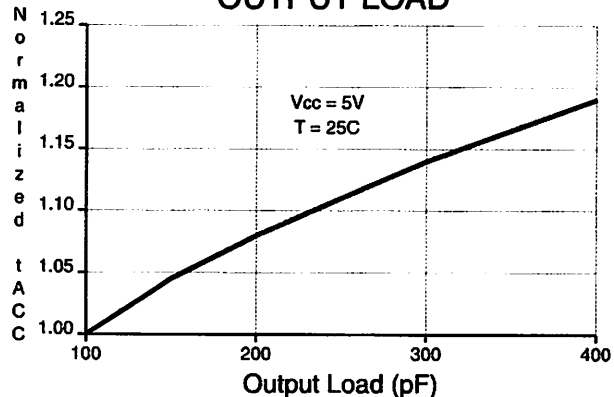
**NORMALIZED SUPPLY CURRENT vs.  
SUPPLY VOLTAGE**



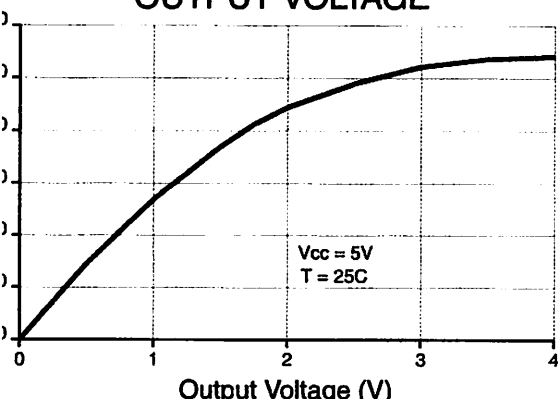
**NORMALIZED SUPPLY CURRENT vs.  
ADDRESS FREQUENCY**



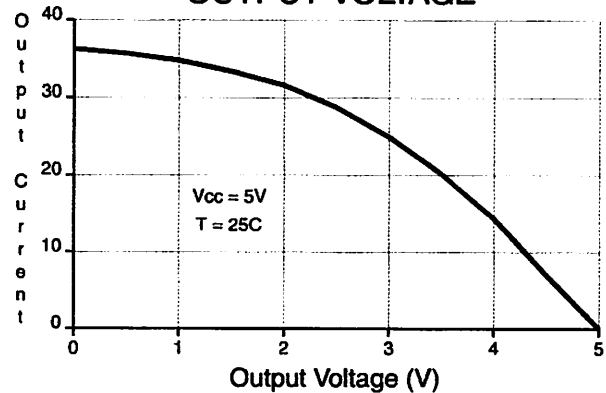
**NORMALIZED ACCESS TIME vs.  
OUTPUT LOAD**



**OUTPUT SINK CURRENT vs.  
OUTPUT VOLTAGE**



**OUTPUT SOURCE CURRENT vs.  
OUTPUT VOLTAGE**



# AT28C16

## Offering Information<sup>(1)</sup>

I <sub>CC</sub> (mA) s)	I <sub>CC</sub> (mA)		Ordering Code	Package	Operation Range
	Active	Standby			
50	30	0.1	AT28C16(E)-15JC	32J	Commercial (0°C to 70°C)
			AT28C16(E)-15PC	24P6	
			AT28C16(E)-15SC	24S	
45	45	0.1	AT28C16(E)-15JI	32J	Industrial (-40°C to 85°C)
			AT28C16(E)-15PI	24P6	
			AT28C16(E)-15SI	24S	

1. See Valid Part Numbers table below.
2. The 28C16 200 ns and 250 ns speed selections have been removed from valid selections table and are replaced by the faster 150 ns T<sub>AA</sub> offering.
3. The 28C16 ceramic package offerings have been removed. New designs should utilize the 28C256 ceramic offerings.

## Part Numbers

Following table lists standard Atmel products that can be ordered.

Part Numbers	Speed	Package and Temperature Combinations
C16	15	JC, JI, PC, PI, SC, SI
C16E	15	JC, JI, PC, PI, SC, SI
C16	-	W

## Products

Reference Section: Parallel EEPROM Die Products

### Package Type

32 Lead, Plastic J-Leaded Chip Carrier (PLCC)
24 Lead, 0.600" Wide, Plastic Dual Inline Package (PDIP)
24 Lead, 0.300" Wide, Plastic Gull Wing Small Outline (SOIC)
Die

### Options

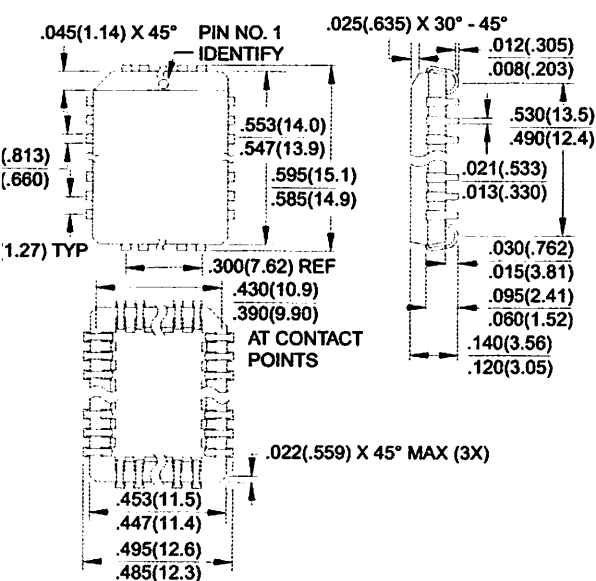
Standard Device: Endurance = 10K Write Cycles; Write Time = 1 ms
High Endurance Option: Endurance = 100K Write Cycles; Write Time = 200 µs



## Packaging Information

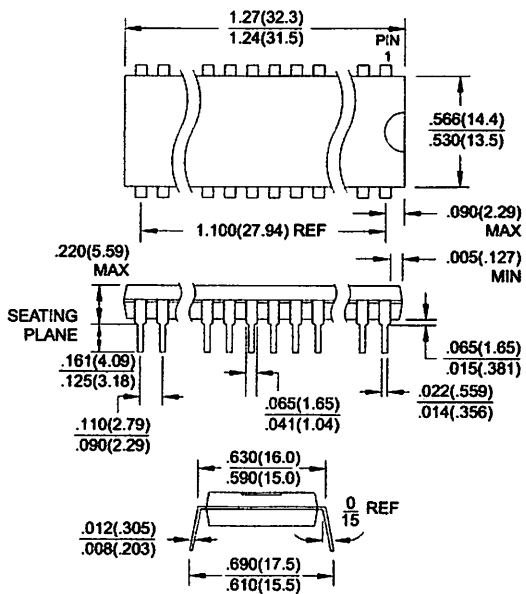
### 2J, 32-Lead, Plastic J-Leaded Chip Carrier (PLCC) Dimensions in Inches and (Millimeters)

JEDEC STANDARD MS-018 AA

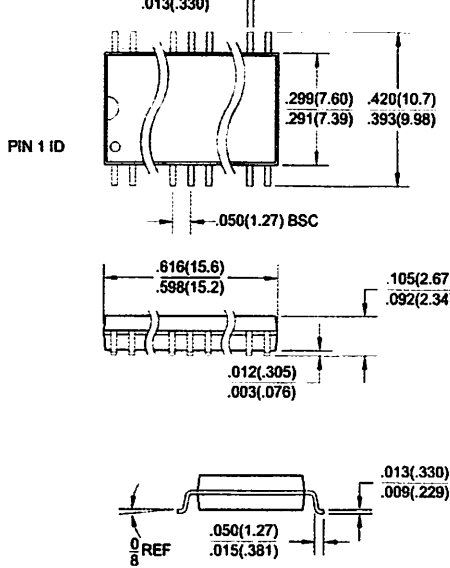


### 24P6, 24-Lead, 0.600" Wide, Plastic Dual Inline Package (PDIP) Dimensions in Inches and (Millimeters)

JEDEC STANDARD MS-011 AA



### 1S, 24-Lead, 0.300" Wide, Plastic Gull Wing Small Outline (SOIC) Dimensions in Inches and (Millimeters)



**AT28C16**





## Atmel Headquarters

**Corporate Headquarters**  
25 Orchard Parkway  
San Jose, CA 95131  
TEL (408) 441-0311  
X (408) 487-2600

**Europe**  
Atmel U.K., Ltd.  
Bissem Business Centre  
Berside Way  
Bamberley, Surrey GU15 3YL  
England  
TEL (44) 1276-686677  
X (44) 1276-686697

**Atmel Asia, Ltd.**  
Room 1219  
Inachem Golden Plaza  
Mody Road  
Kwun Tong  
Hong Kong  
TEL (852) 27219778  
X (852) 27221369

**Japan**  
Atmel Japan K.K.  
Netsu Shinkawa Bldg., 9F  
24-8 Shinkawa  
Chuo-ku, Tokyo 104-0033  
Japan  
TEL (81) 3-3523-3551  
X (81) 3-3523-7581

## Atmel Operations

**Atmel Colorado Springs**  
1150 E. Cheyenne Mtn. Blvd.  
Colorado Springs, CO 80906  
TEL (719) 576-3300  
FAX (719) 540-1759

**Atmel Rousset**  
Zone Industrielle  
13106 Rousset Cedex, France  
TEL (33) 4 42 53 60 00  
FAX (33) 4 42 53 60 01

### Fax-on-Demand

North America:  
1-(800) 292-8635

International:  
1-(408) 441-0732

**e-mail**  
[literature@atmel.com](mailto:literature@atmel.com)

**Web Site**  
<http://www.atmel.com>

**BBS**  
1-(408) 436-4309

### Atmel Corporation 1998.

Atmel Corporation makes no warranty for the use of its products, other than those expressly contained in the Company's standard warranty which is detailed in Atmel's Terms and Conditions located on the Company's website. The Company assumes no responsibility for errors which may appear in this document, reserves the right to change devices or specifications detailed herein at any time without notice and does not make any commitment to update the information contained herein. No licenses to patents or other intellectual properties held by Atmel are granted by the Company in connection with the sale of Atmel products, expressly or by implication. Atmel's products are not authorized for use as critical components in life support devices or systems.

Atmel® and/or ™ are registered trademarks and trademarks of Atmel Corporation.

Product names in this document may be trademarks of others.